

بِنَمْ خَدا



مرکز دانلود رایگان  
محلبسوی مطالب اورژی و مواد

---

[www.Iran-mavad.com](http://www.Iran-mavad.com)



**بِسْمِ اللَّهِ الرَّحْمَنِ الرَّحِيمِ**

۴۸ ~۷

[www.iran-mavad.com](http://www.iran-mavad.com)

مراجع دانشجویان و مهندسین مواد



پژوهشگاه مواد و انرژی

# بررسی پارامترهای موثر بر سنتز مولیبدن دی سیلیساید ( $\text{MoSi}_2$ ) به روش SHS

پایان نامه برای دریافت درجه کارشناسی ارشد

در رشته مهندسی مواد - سرامیک

مرکز اطلاعات ملک عجمی ایران

تمیمه ملک

سیدعلی طبی فرد

۱۳۸۲ / ۸ / ۴۰

استاد راهنما: دکتر رحیم یزدانی راد

استاد مشاور: دکتر مسعود درودیان

بهمن ۱۳۷۷

تقدیم به پدر و مادر عزیزم شه  
تمام رهاییم صرہون زحمات و  
دعا بر خیر آنهاست.

## سپاسنامه

اینک شاهد به ثمر نشستن تلاشی هستیم که اگر عنایات الهی و همراهی اساتید و دوستان گرامی نبود، بی شک این حرکت در اولین گامهای خود متوقف می شد. می دانم قلم ناتوان تراز آنست که پاسخگوی این همه محبت و بزرگواری باشد و لیکن چاره چیست، بارگران و ماناتوان.

در ابتدا بر خود لازم می دانم از آفای دکتر رحیم یزدانی را که از اولین گامهای این پروژه مشوق و راهنمای بندۀ بودند و همواره از دیدگاههای ارزشمند ایشان بهره می جستم، کمال تشکر را داشته باشم. آفای دکتر مسعود درودیان با دانش و تجربیات ذی قیمت خود موانع متعدد پیشروی این پروژه را یکی پس از دیگری مرتفع می ساختند، از ایشان بسیار سپاسگزارم.

استاد گرامی آفای دکتر فتح الله مضطربزاده همواره با راهنماییها و مساعدتهای مشفقانه خویش مسیری روشن در جهت اجرای تحقیقات پویا فراروی ما قرار می دادند، کمال امتنان را از ایشان دارم.

اساتید گرامی آقایان دکتر رحیم نانی، کاووس فلامکی، امیرعلی یوزبائی، حمید احمد محرابی، علیرضا آقایی، مهران صولتی هشجین و بیژن افتخاری یکتا سوالهای متعدد پیش روی ما را پاسخگو بودند، بدین وسیله مراتب سپاس خود را اعلام می دارم.

آقایان دکتر احمد نصیر احمدی و مهندس علی اکبر خشکچی با مساعدتهای خویش نیازهای اولیه انجام این پروژه را فراهم ساخته از ایشان متشکرم.

از اطلاعات و دانش فنی آقایان مهندس هوشنگ عزیزی و مهندس محمد حسین صرافی همواره بهره مند بودیم از این عزیزان سپاسگزارم.

کارشناسان محترم، آقایان مهندس سیامک سورایی، و سید بهزاد طباطبائی و خانمها مهندس پریسا نیکخواه، بیتا جمالی نیک و فروزان ارکیان آنالیزهای متعدد مورد نیاز ما را با دقت و حوصله فراوان اجرا می کردند، از زحمات بیدریغ این گرامیان بسیار متشکرم.

آقایان سید حسین بهراد و محمدرضا حسن زاده تکنسین های محترم بخش رشد بلور، پایاپایی ما در پیشرفت این پروژه گام بر می داشتند، ضمن آرزوی توفیق بیشتر از ایشان بسیار سپاسگزارم.

آقایان ظفر خانی و حسین میرزایی با تلاش بی وقفه خویش همواره محیطی مطلوب جهت تحقیق و آزمایش برای ما فراهم می ساختند، از این عزیزان کمال تشکر را دارم.

آقایان عبدالرضا سلیمانی، آرش کاویانی نیا و طاهر دین محمدپور با تلاش پی گیر خود ما را به هدف نزدیکتر می ساختند، از این دوستان مشکرم.

آقایان محمد دولابی و آرش رضایی از بد و ورود به پژوهشگاه تا آخرین مراحل فراغت از تحصیل بار عظیم تحصیلی ما را عهده دار بودند از این عزیزان کمال تشکر و سپاس را دارم.

آقای مجید مصطفایی و خانم سوسن یوسفی نژاد مسئولیت هماهنگی برنامه های ما با معاونت اداری و مالی و پژوهشی را عهده دار بودند، از توجه ایشان مشکرم.

آقای دکتر افشاری، خانمها دولت سامیا کلاتری (مسئول محترم کتابخانه پژوهشگاه)، مریم ایزدیار و فاطمه تندروان مرادی همواره در حداقل زمان مراجع مطالعاتی مورد نظر را در اختیار ما قرار می دادند از تلاش بی وقفه و دقت نظر ایشان سپاسگزارم.

خانها فرحناز زندی و مریم دهقان با دقت و حوصله فراوان مسئولیت نگارش و صفحه آرایی این پایان نامه را به عهده داشتند، حسن سلیقه و نوشتار هنرمندانه ایشان شایسته قدردانی و سپاسگزاری است.

آقایان علی آیتی و غلامرضا سلیمانی با تلاش بی وقفه خویش در جهت تکثیر و تجلید این پایان نامه ما را یاری کردند از این عزیزان مشکر و سپاسگزارم.

در نهایت از دیگر دوستان که در این فرصت مجالی برای نامبردن از ایشان نبود (نظیر عوامل خدماتی و پشتیبانی) نهایت تشکر و قدردانی را دارم.

سید علی طیبی فرد

بهمن ۷۷

## فهرست مطالب

صفحه	فهرست مطالب
یک .....	فهرست جدولها
پنج .....	فهرست شکلها
شش .....	چکیده
نه .....	
۱ .....	فصل اول: مقدمه
۵ .....	فصل دوم: مروری بر منابع مطالعاتی
۵ .....	۱-۲ مقدمه
۵ .....	۲-۲ مولیبدن دی سیلیساید ( $\text{MoSi}_2$ )

۱-۲-۲ دیاگرام فاز Mo-Si .....	۸
۲-۲-۲ روش‌های سنتز .....	۹
۳-۲-۲ مقاومت در برابر اکسیداسیون و خوردگی ( $\text{MoSi}_2$ ) .....	۱۲
۴-۲-۲ خواص مکانیکی .....	۱۴
۵-۲-۲ کاربردها .....	۱۵
۶-۲-۲ روش‌های ساخت قطعات .....	۱۸
۳-۲ بررسی روش SHS یا سنتز دما بالای خود پیشرو .....	۲۱
۱-۳-۲ مروری بر تاریخچه کاربردها و توسعه روش SHS .....	۲۱
۱-۱-۳-۲ تاریخچه کشف SHS .....	۲۱
۲-۲-۳-۲ شرح تاریخی پیشرفت و توسعه SHS .....	۲۳
۳-۱-۳-۲ اصول SHS .....	۲۵
۴-۱-۳-۲ سنتزهای شیمیایی، تکنولوژی پودرهای SHS .....	۲۶
۵-۱-۳-۲ پوشش بوسیله SHS .....	۲۷
۶-۱-۳-۲ تولید و کاربرد محصولات SHS در مقیاس نیمه صنعتی .....	۲۷
۷-۱-۳-۲ آخرین پیشرفتها در زمینه SHS .....	۲۹
۲-۳-۲ ویژگیها و خواص روش SHS .....	۳۱
۱-۲-۳-۲ مطالعات ترمودینامیکی واکنش .....	۳۱
۲-۲-۳-۲ سرعت انتشار موج احتراق .....	۳۴
۳-۲-۳-۲ شیوه‌های (مدهای) احتراق و افروزش .....	۳۷
۴-۲-۳-۲ مکانیزم واکنشهای احتراقی .....	۴۰
فصل سوم: فعالیتهای تجربی .....	۴۵
۱-۳ مقدمه .....	۴۵
۲-۳ طراحی و آماده‌سازی راکتور احتراق .....	۴۵
۱-۲-۳ سیستم کنترل اتمسفر .....	۴۶

۲-۲-۳ سیستم پیشگرمایش (Preheating) ..... ۴۷	۴۷
۳-۲-۳ سیستم افروزش (Ignition) ..... ۴۷	۴۷
۴-۲-۳ سیستم ثبت دما و سرعت احتراق ..... ۴۸	۴۸
۵-۲-۳ محفظه احتراق ..... ۴۸	
 ۳-۳ شرح فرآیند ..... ۵۱	۵۱
۱-۳-۳ مواد اولیه مصرفی ..... ۵۳	۵۳
۲-۳-۳ توزین استوکیومتری مواد اولیه ..... ۵۳	۵۳
۳-۳-۳ مخلوط کردن ..... ۵۴	۵۴
۴-۳-۳ خشک کردن ..... ۵۴	۵۴
۵-۳-۳ پرس پودر مخلوط ..... ۵۵	۵۵
۶-۳-۳ آماده سازی نمونه ها جهت فرستادن به راکتور احتراق ..... ۵۵	۵۵
۷-۳-۳ کنترل اتمسفر ..... ۵۶	۵۶
۸-۳-۳ پیشگرمایش ..... ۵۶	۵۶
۹-۳-۳ افروزش و سنتز نمونه ..... ۵۶	۵۶
۱۰-۳-۳ آماده سازی پودر محصول ..... ۵۷	۵۷
 فصل چهارم: بحث و نتایج ..... ۵۸	۵۸
۱-۴ مقدمه ..... ۵۸	
۲-۴ بحث و بررسی پارامترهای پیش از احتراق ..... ۵۹	۵۹
۱-۲-۴ بررسی مواد اولیه ..... ۵۹	۵۹
۲-۲-۴ بررسی پودر مخلوط ..... ۶۰	۶۰
۳-۲-۴ بررسی پرس پودر مخلوط ..... ۶۳	۶۳
۴-۲-۴ بررسی پیشگرمایش (Preheating) ..... ۷۴	۷۴

۳-۴ بحث و بررسی پارامترهای هنگام احتراق .....	۸۲
۱-۳-۴ بررسی اتمسفر محفظه احتراق .....	۸۲
۲-۳-۴ بررسی افروزش (Ignition) .....	۸۸
۳-۳-۴ بررسی مکانیزم پیشرفت واکنش .....	۸۸
۴-۴ بحث و بررسی پارامترهای پس از احتراق .....	۹۰
۱-۳-۴ خردایش، آسیاب دانه‌بندی .....	۹۰
۵-۴ محاسبه پارامترهای شبکه، حجم و دانسیته سلول واحد اولیه .....	۹۱
۶-۴ اندازه‌گیری درصد مواد اولیه واکنش نکرده در محصول .....	۹۵
۷-۴ محاسبه انرژی اکتیواسیون (E) واکنش .....	۹۹
۸-۴ بررسی شکل نهایی محصول .....	۹۹
۱۰۱ ..... فصل پنجم: نتیجه‌گیری	
۱۰۵ ..... فصل ششم: پیشنهادات .....	
۱۰۷ ..... فصل هفتم: فهرست منابع .....	

## فهرست جدولها

صفحه	شماره
.....	۱-۱
معرفی سیلیسایدها، طبقه‌بندی شده بر اساس عناصر جدول تناوبی .....	۲ ..
خواص فیزیکی سیلیسایدهای نسوز .....	۱-۲
.....	۶ ..
انتالپی تشکیل مولیبدن دی‌سیلیساید .....	۲-۲
.....	۷ ..
پارامترهای فرآوری ستز احتراقی $\text{MoSi}_2$ بوسیله اعمال میدان الکترومغناطیسی و همراهی فشار مکانیکی .....	۳-۲
.....	۳۰ ..
تاثیر اندازه ذرات پودرهای Si و Mo بر شروع و انتشار خودبخودی مخلوط $\text{Mo}+2\text{Si}$ .	۴-۲
اطلاعات عددی طیف پراش اشعه X از شکل (۵-۴) .....	۱-۴
.....	۶۵ ..
دماهای آدیاباتیک فازهای سیستم Mo-Si .....	۲-۴
.....	۷۵ ..
تاثیر پیشگرمایش بر اندازه دانه نمونه‌ها .....	۳-۴
.....	۸۰ ..
اطلاعات عددی حاصله از آنالیز XRD روی نمونه ۱ و ۲ .....	۴-۴
.....	۹۳ ..
مقایسه بین ارقام محاسباتی (پارامترهای شبکه و دانسیته سلول واحد) و اندازه‌گیری شده برای نمونه استاندارد و محصول .....	۵-۴
.....	۹۵ ..
محاسبه درصد مواد واکنش نکرده (درصد مواد واکنش کرده بطور غیرمستقیم) از نمونه‌های ۱ و ۲ .....	۶-۴
.....	۹۷ ..
مقایسه آنالیز شیمیایی مواد اولیه و محصول .....	۷-۴
.....	۹۸ ..

## فهرست شکلها

صفحه	شماره
۹ .....	۱-۲
شماتیکی از مراحل تشکیل $MoSi_2$ بوسیله آلیاژسازی مکانیکی .. ۱۰ ..	۲-۲
شماتیکی از فرآیند پوشش دهی توسط پلاسمای اسپری ..... ۱۱ ..	۳-۲
تاریخچه کشف SHS ..... ۲۲ ..	۴-۲
شرح تاریخی SHS در سطح بین المللی ..... ۲۳ ..	۵-۲
شرح تاریخی SHS در اتحاد شوروی سابق ..... ۲۴ ..	۶-۲
گسترده‌گی جغرافیایی مراکز تحقیقاتی در سراسر جهان ..... ۲۸ ..	۷-۲
شماتیکی از ابزار آلات جهت سنتز احتراقی همزمان با افزایش دانسیته که توسط اعمال میدان الکتریکی و همراهی فشار مکانیکی (FAPA) صورت گرفته است ..... ۳۰ ..	۸-۲
نمایش ۵ مرحله FAPA در سنتز احتراقی همزمان با افزایش دانسیته ..... ۳۱ ..	۹-۲
نمایش محاسبه دمای آدیاباتیک ( $T_{ad}$ ) به کمک دیاگرام ..... ۳۳ ..	۱۰-۲
نسبت گرمای تشکیل محصول به ظرفیت گرمایی آن در K ۲۹۸ در برابر دمای آدیاباتیک (برای مواردیکه $T_{ad} < T_{mp}$ ) ..... ۳۴ ..	۱۱-۲

۱۲-۲	نیازمند سرعت امواج انتشار و پروفیل دمایی در طول واکنش ستز احتراقی ..... ۳۶
۱۳-۲	ارتباط بین نسبت سرعت غیرآدیاباتیک به سرعت آدیاباتیک ( $V/V_a$ ) و پارامتراتلاف حرارت، $h$ ..... $(T_{ad} < T_{mp})$ ۳۶
۱۴-۲	نمایش شماتیکی از مدل‌های مختلف انتشار احتراق (الف) حالت تعادلی، (ب) تناوبی، (ج) و (د) اسپینی ..... ۳۸
۱۵-۲	تصاویر ثبت شده از مدل‌های مختلف انتشار احتراق : (الف) احتراق تعادلی، (ب) احتراق اسپینی، (ج) احتراق تناوبی، (د) احتراق تکرار شونده و (ه) احتراق تداخلی ..... ۴۰
۱۶-۲	شماتیکی از مکانیزم انتشار خودبخودی با زمینه مثبت (سرعت گرمایش به قدر کافی است) ..... ۴۲
۱۷-۲	تأثیر پارامترهای مختلف روی واکنشهای جامد - مایع ..... ۴۳
۱۸-۲	تصویر انتشار موج احتراق در نمونه در حال ستز با مد تعادلی ..... ۴۴
۱-۳	نمای کلی از راکتور احتراق ..... ۴۹
۲-۳	تصویر راکتور مورد استفاده در این پژوهش ..... ۵۰
۳-۳	فلوچارت عملیات ستز ..... ۵۱ و ۵۲
۱-۴	توزیع اندازه ذرات پودر فلز Si و Mo ..... ۵۹ و ۶۰
۲-۴	توزیع اندازه ذرات پودر مخلوط (Mo+2Si) ..... ۶۱
۳-۴	تصویر SEM تهیه شده از پودر مخلوط ..... ۶۲
۴-۴	آنالیز EDS از دانه‌های Si و Mo ..... ۶۲ و ۶۳
۵-۴	الگوی پراش اشعه X از نمونه خام ..... ۶۴
۶-۴	تصویر SEM از نمونه خام پرس شده ..... ۶۵
۷-۴	تأثیر فشار پرس بر دانسته نمونه‌های خام ..... ۶۶
۸-۴	تأثیر فشار پرس بر دمای افزایش با دمای ای پیش‌گرمایش مختلف ..... ۶۷
۹-۴	تأثیر فشار پرس بر دما و سرعت احتراق در اتمسفر آرگن و خلاء ..... ۶۸
۱۰-۴	تأثیر فشار پرس بر منحنی احتراق نمونه‌ها ..... ۶۸
۱۱-۴	تأثیر افزایش دانسته نسبی خام نمونه‌ها بر دمای احتراق به ترتیب در اتمسفر خلاء و آرگن با دمای پیش‌گرمایش مختلف ..... ۷۰ و ۶۹
۱۲-۴	تأثیر افزایش دانسته نسبی خام نمونه‌ها بر سرعت احتراق بترتیب در اتمسفر خلاء و آرگن با

۱۳-۴	دمای پیشگرمایش ایش مختلف ..... ۷۱ و ۷۰
۱۴-۴	الگوهای پراش اشعه از نمونه‌های سنتزی در خلاء بدون پیشگرمایش با فشار مختلف پرس ۷۲
۱۴-۴	تصویر SEM تهیه شده از نمونه‌های سنتزی در خلاء با فشار پرس مختلف ..... ۷۳
۱۵-۴	تأثیر پیشگرمایش نمونه‌ها بر منحنیهای احتراق سنتزی برتریب در خلاء و آرگن ..... ۷۶
۱۶-۴	وابستگی دماهای احتراق به دماهای پیشگرمایش نمونه‌ها در ۳ حالت‌الف- محاسباتی، ب- اتمسفر آرگن و ج- اتمسفر خلاء ..... ۷۷
۱۷-۴	ارتباط بین سرعت موج احتراق و دماهای پیشگرمایش نمونه‌ها در اتمسفر خلاء و آرگن ..... ۷۸
۱۸-۴	الگوی XRD از نمونه‌های سنتزی با فشار پرس یکسان در دو حالت با پیشگرمایش و بدون پیشگرمایش ..... ۷۹
۱۹-۴	تصویر SEM از نمونه‌های پرس شده با فشار ۱۵۰ MPa سنتزی در خلاء و بادمایی پیشگرمایش مختلف ..... ۸۱
۲۰-۴	تأثیر افزایش دماهای پیشگرمایش نمونه‌ها بر افزایش حجم محصول سنتزی در اتمسفر آرگن و خلاء ..... ۸۲
۲۱-۴	منحنی‌های احتراق در اتمسفر خلاء و آرگن و منحنی افروزش نمونه‌ها در این شرایط ..... ۸۳
۲۲-۴	الگوی XRD حاصل از نمونه‌های سنتزی در خلاء و آرگن ..... ۸۵
۲۳-۴	الگوی XRD حاصل از نمونه‌های سنتزی در خلاء با میزان متفاوت (درجه خلاء) ..... ۸۶
۲۴-۴	تصویر SEM از نمونه‌های سنتزی به برتریب در اتمسفر خلاء و آرگن ..... ۸۷
۲۵-۴	تصویر SEM از نمونه‌های خام و سنتزی ..... ۸۹
۲۶-۴	توزیع اندازه ذرات پودر محصول ..... ۹۰
۲۷-۴	تصویر SEM تهیه شده از پودر محصول ..... ۹۱
۲۸-۴	ساختار سلول واحد MoSi <sub>2</sub> تراگونال (C <sub>11b</sub> -type) ..... ۹۲
۲۹-۴	الگوی XRD نمونه‌های ۱ و ۲ ..... ۹۴
۳۰-۴	فلوچارت محاسبه درصد مواد واکنش نکرده در محصول ..... ۹۶
۳۱-۴	وابستگی دماهای احتراق به سرعت موج در سنتز MoSi <sub>2</sub> ..... ۹۹
۳۲-۴	مقایسه سطح مقطع نمونه خام پرس شده و نمونه سنتزی ..... ۱۰۰
۳۳-۴	مقایسه شکل ظاهری نمونه خام پرس شده و نمونه سنتزی ..... ۱۰۰

در این پژوهه تغییر پارامترهایی چون، فشار پرس، دمای پیشگرمايش و اتمسفر محیط احتراق نمونه‌های خام، بر خواص محصول سنتزی مولیبدنی سیلیساید ( $\text{MoSi}_2$ ) به روش SHS مورد مطالعه قرار گرفت.

مواد اولیه شامل پودرهای فلزی مولیبدن و سیلیکون با خلوص بالای ۹۹٪ به نسبت استوکیومتری با هم مخلوط شده و پرس می‌شود. بعد از کنترل اتمسفر و پیشگرمايش نمونه‌ها، مرحله افزایش و احتراق آغاز می‌شد و بدین ترتیب نمونه‌ها در مدت چند ثانیه سنتز می‌شدند.

تغییر پارامترهای فوق چنین نتایجی را در برداشتند:

- افزایش فشار پرس (دانسیته نمونه‌های خام) در ابتدا موجب افزایش و سپس کاهش دمای احتراق نمونه‌ها می‌شود.

- افزایش فشار پرس (دانسیته نمونه‌های خام) باعث افزایش سرعت احتراق می‌شود.

آنالیز XRD نمونه‌های پرس شده با فشار پایین (۴۵ MPa) معرف درصدی اگرچه کم از فازهای ناخواسته است.

طبق بررسیهای ریزساختاری SEM، افزایش فشار پرس، افزایش اتصال بین دانه‌ها، یکنواختی ریزساختار و کاهش تخلخلها را به همراه خواهد داشت.

- اتمسفر خلاء طبق آنالیز XRD منجر به محصولات تکفاز  $\text{MoSi}_2$  (تتراگونال) می‌شود. آنالیزهای تکمیلی XRF و ICP معرف خلوص به مرتب بالاتر محصول سنتزی نسبت به مواد اولیه می‌باشد.

- اتمسفر آرگن نسبت به خلاء موجب افزایش دمای احتراق (ارائه دمای نزدیک به دمای تئوریک آدیاباتیک) و سرعت احتراق می‌شود.

- افزایش دمای پیشگرمايش موجب افزایش دما و سرعت احتراق نمونه‌ها می‌شود. بررسی ریزساختاری توسط SEM از نمونه‌های با دمای پیشگرمايش بالا حاکی از رشد و افزایش و اتصال (زینترینگ موضعی) بین دانه‌ای و کاهش تخلخل محصول خواهد بود.

برای رسیدن به نمونه‌های متخلخل  $\text{MoSi}_2$  به روش SHS که قابلیت بالایی جهت تبدیل شدن به پودری میکرونیزه (متوجه اندازه ذرات زیر ۷ میکرون و با توزیع نرمال) و با خلوص بالا (۹۹/۹٪) را دارد باشد پارامترهای فوق به ترتیب زیر بهینه شدند.

- اعمال فشار پرس  $150-250 \text{ MPa}$

- ایجاد اتمسفر خلاء (کمتر از  $10^{-4} \text{ torr}$ )

- دمای پیشگرمايش حدود  $200^\circ\text{C}$

## فصل اول

### مقدمه

از میان ترکیبات سیلیکون (Si) سیلیسایدها (Silicides) بدلیل کاربردهای متعددشان در صنعت متالورژی و صنایع الکترونیک دارای اهمیت فوق العاده‌ای می‌باشند. این ترکیبات برای اولین مرتبه بطور منظم در اوایل قرن بیست و سی Moissan [۱۱] مورد مطالعه قرار گرفت اما پیشرفت در این زمینه تا دو سه دهه اخیر و پیدایش وسائل مدرن آزمایشگاهی بسیار کند بود.

تحقیقاتی که در اواخر دهه ۱۹۲۰ و نیز بعد از جنگ جهانی دوم روی این ترکیبات انجام گرفت باعث شد که بسیاری از خواص سیلیسایدها برای محققین روشن شود بطوریکه امروزه دیاگرام فاز اکثر سیلیسایدها کاملاً شناخته شده است.

سیلیساید‌های فلزات گروه ۴ و ۵ و ۶ جدول تناوبی تاکنون بیش از سایر سیلیسایدها مورد توجه بوده‌اند، معهذا دیاگرام فاز سایر سیلیسایدها تعیین شده است، بطوریکه امروزه بین تحقیق در مورد ترکیبات دوتایی سیلیکون با فلزات مختلف توافق کلی وجود دارد (جدول (۱-۱)).

از بین سیلیساید‌های جدول (۱-۱) سیلیساید‌های فلزات انتقالی خواص ویژه‌ای از خود بروز می‌دهند و این امر باعث شده که سیلیساید‌های این فلزات مورد توجه بیشتری باشد. خواصی که باعث اهمیت سیلیساید‌های فلزات انتقالی شده عبارتست از:

پایداری در درجه حرارت بالا، مقاومت در محیط‌های شیمیایی، هدایت حرارتی و الکتریکی خوب و

سختی زیاد سیلیساید های فلزات انتقالی مقاومت قابل توجهی در برابر اکسیداسیون در هوا و در محیط اکسیژن از خود نشان می دهند. این امر بعلت تشکیل یک لایه نازک، اکسید محافظ بر روی سیلیساید بوده و از اکسیداسیون بیشتر توده زیرین جلوگیری می کند.

بعنوان مثال  $\text{MoSi}_2$  بخوبی در برابر اکسیداسیون در اتمسفر معمولی در درجات حرارت بالا (حدود  $1700^{\circ}\text{C}$ ) مقاوم است. یک چنین مقاومت خوبی همراه با هدایت الکتریکی مناسبی که این ترکیب دارد، آنرا یک ماده ایده آل برای کاربرد بعنوان المان الکتریکی در کوره های با درجه حرارت زیاد می نماید.

جدول (۱-۱) - معرفی سیلیسایدها، طبقه بندی شده بر اساس عناصر جدول تناوبی

1	2	3	4	5	6	7	8	9	10
$\text{H}_4\text{Si}$									
$\text{Li}_{1.5}\text{Si}_4$ $\text{Li}_2\text{Si}$									
$\text{NaSi}$	$\text{Mg}_2\text{Si}$								
$\text{KSi}$ $\text{KSi}_6$	$\text{Ca}_2\text{Si}$ $\text{CaSi}$ $\text{CaSi}_2$	$\text{Sc}_4\text{Si}_3$ $\text{ScSi}_2$	$\text{Ti}_{1.5}\text{Si}_3$ $\text{TiSi}_2$	$\text{V}_3\text{Si}$ $\text{V}_5\text{Si}_3$ $\text{VSi}_2$	$\text{Cr}_3\text{Si}$ $\text{Cr}_5\text{Si}_2$ $\text{CrSi}_2$	$\text{Mn}_3\text{Si}$ $\text{Mn}_5\text{Si}_3$ $\text{MnSi}_2$	$\text{Fe}_3\text{Si}$ $\text{Fe}_5\text{Si}_3$ $\text{FeSi}$ $\text{FeSi}_2$	$\text{Co}_3\text{Si}$ $\text{Co}_2\text{Si}$ $\text{CoSi}$ $\text{CoSi}_2$	$\text{Ni}_3\text{Si}$ $\text{Ni}_2\text{Si}$ $\text{Ni}_5\text{Si}_2$ $\text{Ni}_3\text{Si}_2$ $\text{NiSi}$ $\text{NiSi}_2$
$\text{RbSi}$ $\text{RbSi}_6$	$\text{SrSi}$ $\text{SrSi}_2$	$\text{Y}_3\text{Si}_4$ $\text{Y}_3\text{Si}_3$ $\text{YSi}$ $\text{YSi}_2$	$\text{Zr}_4\text{Si}$ $\text{Zr}_2\text{Si}$ $\text{Zr}_5\text{Si}_2$ $\text{Zr}_4\text{Si}_3$ $\text{ZrSi}$ $\text{ZrSi}_2$	$\text{Nb}_4\text{Si}$ $\text{Nb}_5\text{Si}_3$ $\text{NbSi}_2$	$\text{Mo}_3\text{Si}$ $\text{Mo}_5\text{Si}_3$ $\text{MoSi}_2$		$\text{Ru}_2\text{Si}$ $\text{RuSi}$ $\text{RuSi}_2$	$\text{Rh}_2\text{Si}$ $\text{Rh}_5\text{Si}_3$ $\text{Rh}_3\text{Si}_2$ $\text{RhSi}$ $\text{Rh}_2\text{Si}_3$	$\text{Pd}_2\text{Si}$ $\text{Pd}_5\text{Si}$ $\text{PdSi}$
$\text{CsSi}$ $\text{CsSi}_8$	$\text{BaSi}$ $\text{BaSi}_2$	$\text{LaSi}_2$	$\text{Hf}_2\text{Si}$ $\text{Hf}_5\text{Si}_3$ $\text{Hf}_3\text{Si}_2$ $\text{HfSi}$ $\text{HfSi}_2$	$\text{Ta}_4\text{Si}$ $\text{Ta}_2\text{Si}$ $\text{Ta}_5\text{Si}_3$ $\text{TaSi}_2$	$\text{W}_5\text{Si}_3$ $\text{WSi}_2$	$\text{Re}_3\text{Si}$ $\text{Re}_5\text{Si}_3$ $\text{ReSi}_2$	$\text{OsSi}$ $\text{OsSi}_2$ $\text{OsSi}_3$	$\text{Ir}_3\text{Si}$ $\text{Ir}_2\text{Si}$ $\text{Ir}_5\text{Si}_2$ $\text{IrSi}$ $\text{IrSi}_2$ $\text{IrSi}_3$	$\text{Pt}_3\text{Si}$ $\text{Pt}_2\text{Si}$ $\text{PtSi}$

این ترکیبات مقاومت بسیار خوبی در برابر تغییر فرم پلاستیک در درجه حرارت بالا از خود بروز می دهند اما هنوز اطلاعات دقیقی در مورد مکانیزم تغییر فرم آنها در دست نیست تقریباً تمام سیلیسایدها دارای سختی

بسیار بالا همراه با شکنندگی هستند، که البته شکننده بودن آنها یکی از عوامل محدود کننده در کاربردهای صنعتی این ترکیبات می‌باشد. بر طبق اطلاعاتی که تاکنون گردآوری شده اکثر سیلیسایدها در درجه حرارت محیط، دارای اهمیت الکتریکی قابل مقایسه با فلزات هستند (Metallic Conductors) مقاومت الکتریکی آنها بین  $\mu\text{Ohm.cm}$  6-200 تغییر می‌کند. این حد تغییرات همانطور که ملاحظه می‌شود با مقاومت الکتریکی فلزات ( $\mu\text{Ohm.cm}$ ) 0.5 برای نقره تا  $\mu\text{Ohm.cm}$  107 برای بیسموت) قابل مقایسه است.

در بین سیلیسایدها،  $\text{MoSi}_2$  از اهمیت و کاربرد بیشتری برخوردار است دلیل این امر رامی توان در عوامل زیر:

۱- مقاومت بخوردگی بسیار خوب در دمای بالا

۲- اکسیداسیون خیلی کم در دمای بالا

۳- ضربه‌پذیری در دمای بالا (حوالی  $1000^{\circ}\text{C}$ ) [۱]

۴- مقاومت در برابر اسیدها و بازها (بطوریکه اسیدهای معدنی به تنهایی قادر به حل کردن  $\text{MoSi}_2$  نسیئند تا جائیکه اسید هیدروفلوریک و تیزاب سلطانی نیز روی آن تاثیری ندارند) [۱۱]، جستجو کرد.

بدلیل این خواص منحصر به فرد،  $\text{MoSi}_2$  کاربردهای فراوانی نظری:

۱- پوشش فلزات

۲- تولید المنتهای حرارتی کوره‌ها

۳- تولید نسوزهای ویژه

۴- ساخت مشعلهای غروطه ور

۵- استفاده در برخی قطعات و تجهیزات سفینه‌های فضایی به صورت خالص و یا کامبوزیت و ... را پیدا کرده است.

با توضیحات بالا بوضوح نیاز به استفاده از این ترکیب ( $\text{MoSi}_2$ ) احساس می‌شود. اما چون دی‌سیلیسایدمولیبدن در طبیعت به صورت آزاد یافت نمی‌شود، لذا  $\text{MoSi}_2$  را می‌بایست بطور مصنوعی سنتز کرد. روش‌های سنتز  $\text{MoSi}_2$  به شرح زیر است: [۲]

الف - تکنیک با استفاده از پرس

ب - زیترینگ واکنشی

ج - آلیاژسازی مکانیکی

۱- تکنیک‌های متالورژی پودر

۲- (Self-Propagating High-temperature Synthesis) SHS یا ستز دما بالای خود پیشرو

۳- پروسه پلاسمای اسپری

۴- واکنشهای جابجاساز (Displacement) حالت جامد

۵- تکنیک XD (Exothermic Dispersion)

از میان روش‌های ستزی  $\text{MoSi}_2$  که در بالا ذکر شد روش SHS دارای مزایای خاصی چون [۳] :

۱- صرفه‌جویی در انرژی

۲- سادگی پروسه

۳- خلوص بالای نسبی محصول

۴- امکان همزمان ستز و چگالش.

۵- امکان ستز محلولهای جامد، کامپوزیتها و فازهای متاستیبل، خواهد بود.

در این پژوهه ابتدا مخلوط مناسبی از فلز Mo و فلز Si آماده شده و این مخلوط پرس می‌شود، سپس به

روش SHS در راکتوری مخصوص ترکیب  $\text{MoSi}_2$  ستز شده و در این راستا پارامترهای موثر بر ستز

$\text{MoSi}_2$  بررسی می‌شود.

میرزا طلاقعات مارک عجمی‌رین  
تمییز مارک

## جدول (۱-۲) - خواص فیزیکی سیلیساید های نسوز

نوع سیلیساید	دانسیته gr/cm <sup>3</sup>	نقطه ذوب °C	Knoop بار ۱۰۰ گرم	مقاومت ویژه الکتریکی در دمای اتاق $\times 10^{-5} \Omega \text{cm}$
TiSi <sub>۷</sub>	۴/۲۹	۱۵۴۰	۸۷۰	۱۲/۳-۱۸
ZrSi <sub>۷</sub>	۴/۹۰	۱۷۰۰	۱۰۳۰	۱۶/۱
VSi <sub>۷</sub>	۴/۷۱	۱۶۵۰	۱۰۹۰	۰/۹۵-۱/۳
NbSi <sub>۷</sub>	۵/۴۵	۱۹۵۰	۱۰۵۰	۰/۶۳
TaSi <sub>۷</sub>	۹/۱۴	۲۴۰۰	۱۵۶۰	۰/۸۵
CrSi <sub>۷</sub>	۴/۱۴	۱۵۷۰	۱۱۵۰	۲۵-۶۶۷
MoSi <sub>۷</sub>	۶/۲۷	۲۰۳۰	۱۲۹۰	۲/۲*
WSi <sub>۷</sub>	۹/۳۰	۲۱۵۰	۱۰۹۰	۳/۲۴
$1600^{\circ}\text{C} \text{ در } ۸ \times 10^{-5} \Omega \cdot \text{cm}^*$				

دیرزمانی است که MoSi<sub>2</sub> شناخته شده و بدلیل مقاومت عالی در برابر اکسیداسیون دمای بالا، مورد مطالعه قرار گرفته است. در طبیعت به صورت آزاد یافت نمی شود لذا آنرا بطور مصنوعی تهیه می کنند. دانسیته آن برابر  $6/27 \text{ gr/cm}^3$  است که تقریباً ۲۵٪ از دانسیته ابر آلیاژها (Super alloys) پایین تر است.

مولیبدن با سیلیسیم چندین ترکیب تشکیل می دهد که از بین آنها مولیبدن دی سیلیساید (MoSi<sub>2</sub>) بیشترین اهمیت را دارد. آنتالپی تشکیل مولیبدن دی سیلیساید در جدول (۲-۲) ارائه شده است.

## جدول (۲-۲) آنتالپی تشکیل مولیبدن دی سیلیساید

فاز	Kcal/mole (a)	Kcal/mole (b)	Kcal/mole (c)	Kcal/mole (d)
$\frac{1}{4} \text{ MoSi}_2$	-15/7	-6/2-15/5	-11/5	-13/6±4

(a) اندازه‌گیری مستقیم

(b) مقادیر محاسبه شده از احیاء سیلیساید

(c) محاسبه شده از روی فشار بخار

(d) انتخاب از بین اطلاعات مختلف

محصول تجاری تقریباً شاما ۶۰ درصد مولیبدن، ۳۱ درصد سیلیسیم، ۸ درصد آهن و مقدار کمی از عناصر کربن (C)، گوگرد (S)، وانادیم (V)، فسفر (P) و (Cu) است.

مقاومت عالی در برابر اکسیداسیون در هوا و در دماهایی حدود  $1700^{\circ}\text{C}$  را برای کاربردهای دما بالا مفید ساخته است. مولیبدن دی سیلیساید تجاری به صورت پودر بسیار خالص نیز در دانه بندیهای مختلف تا ۳۲۵- مش عرضه می‌شود. سختی آن بر اساس HRC برابر  $80-87$  و دمای ذوب آن حدود  $2020^{\circ}\text{C}$  است که در دمای ذوب مقداری تجزیه شده و مقدار قابل ملاحظه‌ای سیلیسیم از دست می‌دهد.

ساختار کریستالی مولیبدن دی سیلیساید چهار وجهی (Tetragonal) با ابعاد  $a = 3/2047^{\text{A}}$  و  $c = 7/8849^{\text{A}}$  است [۱۳]. مقاومت ویژه الکتریکی آن در دمای اتاق بسته به نوع ساخت  $\Omega\text{cm}$   $21-27\mu$  و ضریب انبساط حرارتی آن  $10^{-4} \times 18$  است. ولی هر چند مقاومت مکانیکی فشاری آن بالاست، مقاومت آن در برابر ضربه بسیار پایین است.

مدلول الاستیتیه شکست عرضی آن در محدوده  $10^3 \times 10^3 \text{ Psi}$  ( $40-60$ ) و مقاومت فشاری آن تا شکست،  $100\text{ hr}$  در  $100^{\circ}\text{C}$ ، برابر  $13500\text{ Psi}$  است.

برای تعیین مقادیر ثابت‌های الاستیکی مولیبدن دی‌سیلیساید از روش Pulse echo که مستلزم اندازه‌گیری سرعت امواج الاستیکی (ارتجاعی) در جهات مختلف تک کریستال - دی‌سیلیساید مولیبدن است استفاده شده است. از روی اطلاعات حاصل و با استفاده از روش‌های تقریب Reuss, Voight و Hill تابع زیر تعیین شده است:

$$K(\text{Bulk modulus}) = 209/\nu \text{ GPa}$$

$$E(\text{Young's modulus}) = 439/\nu \text{ GPa}$$

$$G(\text{Shear modulus}) = 191/\nu \text{ GPa}$$

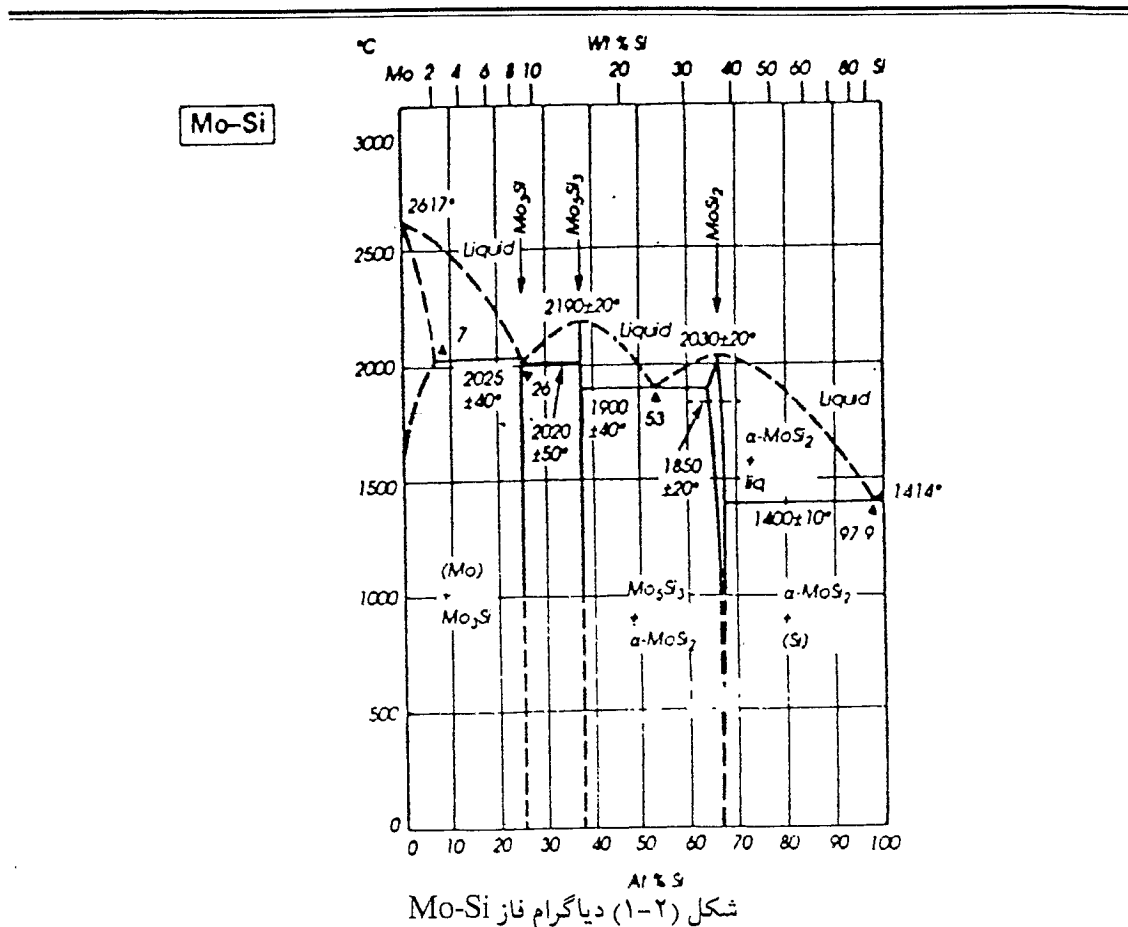
$$V(\text{Poisson's Ratio}) = 0.151$$

مولیبدن دی‌سیلیساید را می‌توان به روش متالورژی پودر، یعنی پرس گرم یا پرس سرد و سپس سینتر کردن شکل داد. آن را می‌توان ریخته‌گری کرد ولی بدلیل تجزیه در دمای ذوب، این روش بسیار پیچیده است. شمش‌های آن متخلخل بوده و دانه‌های آن درشت است. پودر آن را می‌توان به شکل دلخواه به روش ریخته‌گری دوغابی و سپس سینتر کردن شکل داد. مقاومت در برابر اکسیداسیون و مقاومت مکانیکی عالی، مولیبدن دی‌سیلیساید را در موقعی که نیاز به مقاومت ضربه‌ای نباشد، برای دمای بالا مناسب ساخته است.

## ۱-۲-۲ - دیاگرام فاز Mo-Si

دیاگرام فاز Mo-Si توسط محققین مختلف مورد مطالعه قرار گرفته است. شکل (۱-۲) این دیاگرام را نشان می‌دهد. تحقیقات انجام شده سه فاز  $\text{MoSi}_2$ ,  $\text{Mo}_3\text{Si}$ ,  $\text{Mo}_5\text{Si}_3$  را مشخص نموده است. ترکیب مولیبدن دی‌سیلیساید ( $\text{MoSi}_2$ ) از نظر خواص الکتریکی تشابه زیادی به فلزات دارد. مطالعات انجام شده نشان میدهد که  $\text{MoSi}_2$  در دمای بالا در محیط‌های اکسیدکننده از قبیل هوا و حتی اکسیژن دارای مقاومت بسیار خوبی است. مطالعات انجام شده بر روی تاثیرات فلزات مذاب بر  $\text{MoSi}_2$  نشان میدهد که مذاب قلع (Sn), سرب (Pb), سدیم (Na) و بیسموت (Bi) بر آن اثری ندارد.

مذاب روی (Zn) در حدود  $800^\circ\text{C}$  مقدار کمی (تقریباً ۱ درصد) از سیلیسیم موجود در مولیبدن دی‌سیلیساید را در خود حل می‌کند.



ساختمان فاز سیلیساید های با فرمول  $M_5Si_3$  (M شامل وانادیم، نیویم، تاتالیم، کرم، مولبیدن یا تنگستن) با افزایش ناخالصیها از تراگونال به هگزاگونال تغییر می کند. کربن، برم، نیتروژن و اکسیژن به پایداری ساختمان هگزاگونال کمک می کند در این رابطه برای  $W_5Si_3$ ,  $Cr_5Si_3$ ,  $Mo_5Si_3$ ,  $Cr_5Si_3$  نیاز است.

## [۲] MoSi<sub>2</sub>-روشهای سنتز

پروسه شامل پرس گرم (HP)، پرس ایزوفاستاتیک گرم (HIP) و اکسیترود گرم می‌شود. بکارگیری فشار و دمای بالا در روش‌های فوق موجب افزایش دانستیه قابل توجه پودرهای اولیه به همراه سنتز این پودرهای در

دمای بالا می‌شود. پرس گرم (HP) معمولترین روش بکار رفته از این گروه است.

(2-۲-۱-۲-۲-۲) - زیترینگ واکنشی (Reaction sintering) - تکنیکی است شامل واکنش درجا (In situ)

بین پودر اجزاء واکنش دهنده (که معمولاً به صورت پرس شده آماده شده‌اند) به همراه زیترینگ بین دانه‌ای

بکارگیری این تکنیک بدنه کامپوزیتی از اجزای اولیه را به دست می‌دهد.

(2-۲-۳-۱-۲-۲-۲) - آلیاژسازی مکانیکی (Mechanicall alloying) - با علامت اختصاری MA، روشی

است شامل اتصال و شکست پی‌درپی ذرات پودر و (عنصر یا آلیاژ) اجزاء واکنش دهنده با هم با اعمال انرژی

زیاد توسط عملیات آسیاب تحت یک اتمسفر کنترل شده مطابق شکل (۲-۲) این پروسه می‌تواند به چهار

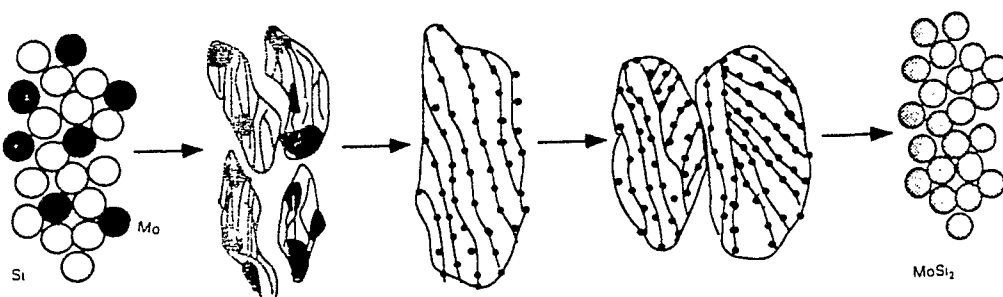
مرحله زیر تقسیم شود:

(۱) مرحله اول: پریود اتصال شدید ذرات

(۲) مرحله میانی: پریود شکست سریع اتصالات، تشکیل یک ساختار معیوب

(۳) مرحله نهایی: پریود اتصال متعادل سرد ذرات، تشکیل یک ساختار ریز معیوب و استحاله یافته

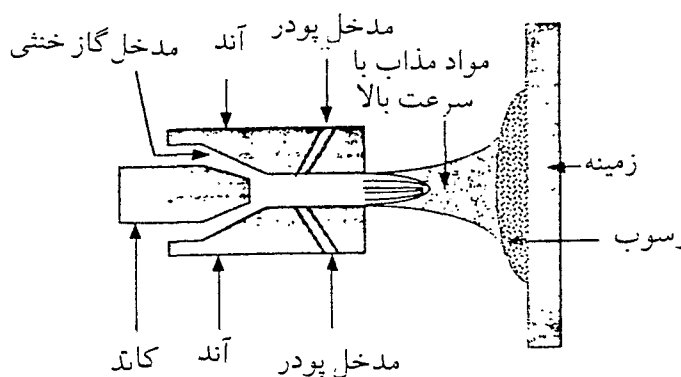
(۴) مرحله تکمیلی: پریود تشکیل محصول تعادلی



شکل (۲-۲) - شماتیکی از مراحل تشکیل  $\text{MoSi}_2$  بوسیله آلیاژسازی مکانیکی

۲-۲-۲-۲- فرآوری به کمک پلاسما اسپری (Plasma-Spray processing) - به کمک این تکنیک  $\text{MoSi}_2$  به صورت بی‌شکل و کامپوزیت (با  $\text{Ta}$ ,  $\text{TiB}_2$  و  $\text{SiC}$ ) با چقرومگی تقویت شده بدست می‌آید.

(شکل ۳-۲)



شکل (۳-۲) - شماتیکی از فرآیند پوشش‌دهی توسط پلاسما اسپری

۲-۲-۲-۳- واکنشهای حالت جامد جابجاساز (Solid-State Displacement Reactions) - این روش شامل استحاله‌های فازی دیفوژیونی است. در این واکنشها دو یا سه عنصر (ترکیب) برای تشکیل یک ترکیب جدید پایدار ترمودینامیکی شرکت می‌کنند. به کمک این واکنشها می‌توان کامپوزیتهای مثل  $\text{MoSi}_2\text{-SiC}$  (به همراه سنتز) تهیه کرد. برای مثال واکنش  $\text{Mo}_2\text{C} + 5\text{Si} \longrightarrow 2\text{MoSi}_2 + \text{SiC}$  و چنین  $\text{Mo}_2\text{C}$  و  $\text{Si}$  چنین واکنش دیده می‌شود.

۲-۲-۴- تکنیک توزیع (پراکندگی) گرمایی (XD) یا (Exothermic Dispersion Technique) در این فرآیند، پودرهای عنصری از یک فاز دما بالا، X و Y (مثلًا "Ti" و "B") در حضور فاز سوم فلزی Z (مثل "Al") بعنوان ماتریس آلیاژ گرم می‌شود. ماتریس فلزی Z، مثل یک حلal عمل کرده و معمولاً در دمایی خیلی پائین تراز تشکیل فاز سرامیکی تعادلی XY (مثلًا "TiB<sub>2</sub>") ذوب می‌شود. اجزاء عنصری X و Y سپس واکنش اگزوترمیک می‌دهند و ذرات میکرونیزه XY در ماتریس حلal تشکیل می‌شود.

۲-۲-۵- روش سنتز احتراقی SHS یا (Self-Propagating High-temperature Synthesis)

انتخاب شده است، لذا در آینده به تفصیل از جوانب مختلف مورد نقد و بررسی قرار می‌گیرد. عواملی چون صرفه‌جویی در انرژی، سادگی پروسه، خلوص بالاتر محصول نسبت به مواد اولیه، امکان همزمان ستز و چگالش و امکان سنتز محلولهای جامد، کامپوزیتها و فازهای متاستیبل را می‌توان مزیتهای این روش به روشهای قبل دانست.

### ۳-۲-۲- مقاومت در برابر اکسیداسیون و خوردگی ( $\text{MoSi}_2$ )

مهمنترین خاصیت مولیبدن دی‌سیلیساید، مقاومت آن در برابر اکسیداسیون بوده و از پایدارترین سیلیسایدها است، زیرا در دمایی بین  $1600^{\circ}\text{C}$ - $1000^{\circ}\text{C}$  در حین اکسیداسیون لایه‌ای از سیلیس آمورف بر سطح آن تشکیل می‌شود این لایه در کلیه دماها چسبندگی بسیار خوبی به مولیبدن دی‌سیلیساید داشته و خاصیت خود التیامی دارد. این لایه در سطح مشترک  $\text{SiO}_2\text{-MoSi}_2$  با اکسیداسیون انتخابی سیلیسیم رشد می‌کند. رشد این لایه با نفوذ گاز اکسیژن مولکولی از داخل آن کنترل می‌شود. این نفوذ بسیار آهسته است. انرژی اکتیواسیون برای اکسیداسیون مولیبدن دی‌سیلیساید، در محدوده دمایی  $1400^{\circ}\text{C}$ - $1000^{\circ}\text{C}$  برابر  $124\text{KJ/mol}$  است و در دماهای بالاتر به  $340\text{KJ/mol}$  افزایش می‌یابد، دلیل آن افزایش ضخامت لایه شیشه‌ای است. در دماهای بالاتر از  $1700^{\circ}\text{C}$  سرعت اکسیداسیون افزایش می‌یابد. زیرا لایه محافظ شیشه‌ای ذوب شده و به شکل قطرات ریز در می‌آید. بر خلاف لایه‌های شیشه‌ای، که بر روی سیلیسیم کارباید ( $\text{SiC}$ ) و سیلیسیم نیتراید ( $\text{Si}_3\text{N}_4$ ) تشکیل می‌شود، لایه شیشه‌ای بر سطح مولیبدن دی‌سیلیساید حتی پس از چند ساعت عملیات حرارتی تمایل به کریستالیزه شدن (تبور) ندارد.

وقتی ناخالصیهای (آهن - بور - آلومینیم) وجود داشته باشد ضخامت لایه سیلیس (پس از یکصد ساعت در  $1400^{\circ}\text{C}$  برابر  $1\mu\text{m}$  است) به شدت افزایش می‌یابد. زیرا این عناصر به داخل لایه سطحی نفوذ می‌کند و ترکیب لایه شیشه‌ای را بهبود بخشیده و باعث افزایش سرعت نفوذ اکسیژن می‌شود و نتیجتاً سرعت اکسیداسیون افزایش می‌یابد. لایه سیلیسی در دمای پایین‌تر از  $600^{\circ}\text{C}$  تشکیل نمی‌شود. نتیجتاً اگر ماده بدون پیش‌گرم کردن تademای بالا، در پایین تراز این دما استفاده شود مقاومت آن در برابر اکسیداسیون پایین است

پیش گرم کردن تادمای بالا، در پایین تر از این دما استفاده شود مقاومت آن در برابر اکسیداسیون پایین است ولی به محض اینکه لایه تشکیل شد تا دمای  $1700^{\circ}\text{C}$  پایدار است لذا در دماهای پایین ( $600^{\circ}\text{C}-800^{\circ}\text{C}$ ) مقاومت مولیبدن دی سیلیساید در برابر اکسیداسیون کم است و واکنشی که اصطلاحاً به آفت مولیبدن دی سیلیساید معروف است ( $\text{MoSi}_2\text{-pest}$ ) در آن اتفاق می‌افتد و ماده را ظرف چند ساعت نابود می‌کند. این نوع اکسیداسیون تخریبی فقط در نمونه‌هایی اتفاق می‌افتد که در دماهای بالاتر اکسید نشده باشند. در آفت مولیبدن دی سیلیساید، کریستالهای منفردی که اغلب اکسید مولیبدن است، بر روی سطوح حفره‌های داخل ماده تشکیل می‌شود و به صورت ویسکر شد و نتیجتاً در ماده سیتر شده ترک ایجاد می‌کند. قطعه‌های مولیبدن دی سیلیساید که تخلخل نداشته باشد، یا سطح آنها صیقل شده باشد و یا اینکه دارای لایه شیشه‌ای (مثل  $\text{GeO}_2\text{-SiO}_2$ ) با دمای ذوب پایین باشد رفتار اکسیداسیون تخریبی را از خود نشان نمی‌دهد.

لازم به ذکر است که در دیگر نسوزهای سیلیسایدی سرعت اکسیداسیون بالاتر از سرعت اکسیداسیون در مولیبدن دی سیلیساید است. فقط مقاومت در برابر اکسیداسیون دی سیلیساید تنگستن ( $\text{WSi}_2$ ) برابر سرعت اکسیداسیون مولیبدن دی سیلیساید است و دارای همان مکانیسم است، ولی وزن ویژه آن بالاست. مولیبدن دی سیلیساید، در برابر غالب اسیدهای معدنی مقاوم است اما مخلوطی از اسیدفلوئیدریک ( $\text{HF}$ ) و اسید نیتریک ( $\text{HNO}_3$ ) بر آن اثر می‌کند. محلولهای قلیایی آبی بر آن بی‌اثرند ولی در مذابهای قلیایی به سهولت حل می‌شود.

مولیبدن دی سیلیساید در برابر مذاب اغلب فلزات مقاوم است، یک مورد استثناء وجود دارد که آن مذاب آلومنیم است این مذاب بر مولیبدن دی سیلیساید اثر کرده و  $\text{MoAl}_2$  تولید می‌کند. با سرب، جیوه یا نقره واکنش نمی‌دهد. واکنش آن با قلع، روی و بیسموت کم است. ولی آهن، مس، کروم و پلاتین در آن خوردنگی ایجاد می‌کند. مقاومت خوردنگی گرم آن، در دماهای بالاتر اهمیت زیادی برخوردار است. تحقیقات نشان میدهد که رفتار این ماده در اتمسفر اکسیدی مشابه رفتار آن در هواست. خوردنگی آن در برخی گازها مانند دی اکسید کربن ( $\text{CO}_2$ )، بخار آب، دی اکسید گوگرد ( $\text{SO}_2$ )، سولفور هیدروژن ( $\text{H}_2\text{S}$ ) و دی اکسید نیتروژن

(NO<sub>2</sub>)، اسید کلریدریک (HCl) و هیدروکربنها مخلوط با هوا کمی بیشتر است. مقاومت در برابر خوردگی آن در آرگن و نیتروژن کم است، زیرا لایه محافظ سیلیس (SiO<sub>2</sub>) نمی‌تواند تشکیل شود. گازکلر، حتی اگر لایه محافظ سیلیس تشکیل شده باشد، بر مولیبدن دی‌سیلیساید اثر می‌کند. مولیبدن دی‌سیلیساید که کاملاً با گازهای مشتعل گرم شود تحت واکنشهای NaF, NaCl یا مذاب V<sub>2</sub>O<sub>5</sub> قرار نمی‌گیرد. ولی مذابهای Na<sub>2</sub>SO<sub>3</sub> یا Na<sub>2</sub>CO<sub>3</sub> بر آن اثر می‌کنند. در کلیه موارد فوق، مولیبدن دی‌سیلیساید، در برابر خوردگی گرم یک مرتبه نمایی مقاومت از بهترین ابر آلیاژها (Super alloys) است.

اگر مولیبدن دی‌سیلیساید در خلاء و در دمای ۱۹۰۰°C خرارت داده شود تجزیه می‌گردد که نتیجتاً سیلیسیم تبخیر شده و Mo<sub>5</sub>Si<sub>3</sub> تشکیل می‌شود.

وقتی مولیبدن دی‌سیلیساید با فلزاتی نظیر مولیبدن تماس یابد، سیلیسیم به داخل فاز مذاب نفوذ می‌کند و در مرز تشکیل سیلیسایدهای غنی از فلز را می‌دهد. این لایه‌های فیماقیتی به صورت نمایی (Parabolic) رشد می‌کنند. عمری بیشتر از ۱۰۰۰ hr در ۱۲۰۰°C برای پوشش‌های دی‌سیلیساید مولیبدن با ضخامت ۲۰۰ μm ثبت شده است.

#### ۴-۲-۲- خواص مکانیکی

خواص مکانیکی مولیبدن دی‌سیلیساید عمدتاً به روش تولید آن بستگی دارد. اگر پودر بسیار نرم (دانه ریز) آن تا ۹۵ درصد دانستیه تثویری پرس گرم (HP) شود، در حدود ۱۰۰۰°C مقاومت مکانیکی قابل توجهی دارد برای مثال، تنش کششی آن ۴۲۰۰Psi و مقاومت خمشی آن ۳۰۰۰Psi است. مولیبدن دی‌سیلیساید در دمای اتاق شکننده است و دمای انتقال از حالت شکننده به حالت چکش خواری آن حدود ۱۰۰۰°C است. مقاومت فشاری آن در دمای اتاق برابر ۳۵۰۰۰Psi (۳۵۰۰۰Kg/cm<sup>2</sup>) و انبساط حرارتی (در محدوده ۱۰۰۰-۲۰۰۰°C) برابر ۸٪ درصد است. مقاومت کششی آن در این دما برابر ۴۲۵۰Psi (۴۲۵۰Kg/cm<sup>2</sup>) است. مقاومت مکانیکی گرم آن را به مدت کوتاه می‌توان با افزایش اندازه دانه‌ها و یا افزودن کربن که اکسیژن را

کاهش می‌دهد تا دو برابر افزایش داد.

احتمالاً خرزش عامل کننده خواص مکانیکی دمای بالای آن است. یکی از قطعات دی‌سیلیسایدمولیبدن که در  $1035^{\circ}\text{C}$  و  $12000\text{ Psi}$  مورد آزمایش قرار گرفته است، در مدت  $1000\text{ hr}$  افزایش طول آن با خرزش حدود ۱۰ درصد بوده است، در حالیکه در  $1095^{\circ}\text{C}$  و  $10000\text{ Psi}$  این مقدار در مدت ۵۰ ساعت اتفاق افتاده است.

مقاومت مولیبدن دی‌سیلیساید که پرس گرم شده باشد در برابر شوک حرارتی بسیار خوب است قطعاتی که دانسته آنها حداقل ۹۲ درصد دانسته ثوری باشد تحمل ۵۰ سیکل حرارتی را با حرارت دادن قطعه به مدت  $\frac{1}{2}$  دقیقه تا  $1370^{\circ}\text{C}$  و سپس سریع سرد کردن (Quench) آن در مدت ۱۵-۳۰ ثانیه در آب تا زیر دمای سرخ شدن، دارد. در حالیکه قطعاتی که دانسته آنها ۹۸٪ دانسته نظری باشد، تحمل بیشتر از ۲۵ سیکل حرارتی را ز  $1095^{\circ}\text{C}$  (در داخل جریانی از گاز داغ) و سپس سریع سرد کردن آن تا  $20^{\circ}\text{C}$  به مدت ۳۰ ثانیه دارد. مقاومت مولیبدن دی‌سیلیساید سیتر شده به ضربه (Impact) در دمای اتاق پائین است. نتیجتاً کوشش‌های فراوانی برای بهبود این خاصیت و نیز افزایش مقاومت به ضربه حرارتی، با مسلح کردن آن با فلزات صورت گرفته است.

#### ۲-۲-۵- کاربردهای مولیبدن دی‌سیلیساید

کاربرد تجاری سیلیسایدها محدود است. دی‌سیلیساید تنگستن ( $\text{WSi}_2$ ), دی‌سیلیساید تاتالیم ( $\text{TaSi}_2$ ) و دی‌سیلیساید کروم ( $\text{CrSi}_2$ ) به مقدار کم جهت آزمایشات مربوط به بهبود ضریب هدایت الکتریکی لایه‌های نازک در نیمه هادیها تولید می‌شود. فقط مولیبدن دی‌سیلیساید که کاربردهای فراوانی دارد، در حد تجاری تولید می‌شود. از جمله کاربردهای آن تولید:

- پره نازلهای توربین‌های گازی

- المنت حرارتی کوره‌الکتریکی

- تولید کامپوزیت  $\text{Al}_2\text{O}_3/\text{MoSi}_2$  برای استفاده در نسوزهای داخل کوره

- نازل دستگاه سند بلاست

- حدیده کشش سیم، (Wiredrawing dies)، قالب‌های پرس گرم

- ساخت مشعلهای جوش زیرآب (Submerged burners)

- پوشش محافظ آلیاژهای نسوز در موتورهای جت و پوشش فلز مولیبدن

- نازلهای موتور و راکت‌های فضایی

- ترموکوپلهای دمای بالا ( $1800-2000^{\circ}\text{C}$ ) مقاوم در برابر ترکیبات بر - کربن

- موتور اتمیبل و هوایپما

- تولید موتور توربین‌های گازی، که انتظار می‌رود دمای کاری آن تا  $1600^{\circ}\text{C}$  افزایش یابد

از کاربردهای مهم مولیبدن دی‌سیلیساید، استفاده از آن به صورت پوشش محافظ در برابر اکسیداسیون بر روی فلزات و غیرفلزات و نیز فلز مولیبدن یا دیگر آلیاژهای نسوز است. این پوشش فلز پایه را به مدت چندین ساعت در دمای  $1650^{\circ}\text{C}$  محافظت می‌کند، با افزایش دما تا بالاتر از  $1700^{\circ}\text{C}$ ، پوشش خاصیت خود را به آهستگی از دست می‌دهد، عمر پوشش در محدوده دمایی بین  $1700-2000^{\circ}\text{C}$  با افزودن کربن، کروم، زیرکونیم افزایش چشمگیری می‌یابد.

روش معمول برای ایجاد پوشش محافظ، رسوب از فاز بخار (Vapor deposition) در اتمسفر تراکلرید سیلیکون - هیدورژن و یا سماتاتاسیون می‌باشد.

ایجاد پوشش می‌تواند با ایجاد لایه‌ای از فلز  $\text{Mo}$  به روش تبخیر و رسوب در خلاء بر سطح ورق پایه و سپس تبدیل آن با ترکیبات گازی سیلیسیم به مولیبدن دی‌سیلیساید صورت گیرد. در این روش ضخامت لایه مولیبدن دی‌سیلیساید ایجاد شده با زمان واکنش رابطه نمایی (Parabolic) دارد. روش مشهور دیگر برای ایجاد پوشش روشنی به نام (Pack-Cementation) است که نوعی رسوب از فاز بخار می‌باشد. بطورکلی

پوشش‌های سیلیسایدی را می‌توان با روش‌های زیر ایجاد نمود:

- الکتروفورتیک (Electrophoretic)

- اسپری شعله (Flame Spray)

- اسپری شعله (Flame Spray)
- اسپری پلاسما (Plasma-Spray)
- غوطه‌وری گرم (Hot- Dipping)
- رسوب از فاز بخار با بستر سیال (Fluidized- bed Vapor deposition)

در کلیه روش‌های فوق، لایه مولیبدن دی‌سیلیساید با نفوذ اتمی (Diffusion) سیلیسیم به داخل فلز پایه تشکیل می‌شود. برای کاربردهای ویژه، پوشش مولیبدن دی‌سیلیساید خالص را می‌توان با افزودن کروم، برم، تیتانیوم، تانتالیم یا نایبیوم اصلاح نمود. عملکرد این مواد هنوز مشخص نیست.

یک دیگر از کاربردهای عمدۀ مولیبدن دی‌سیلیساید، استفاده از آن در ساخت المنت‌های حرارتی کوره‌های الکتریکی است.

مولیبدن دی‌سیلیساید خالص برای کاربردهای عملی (المنت حرارتی) بسیار شکننده است که نتیجتاً به صورت سرمت یا کامپوزیت استفاده می‌شود. دمای کاری این ترکیب که در دسته سرامیک‌های غیراکسیدی قرار دارد، در فشار  $13\text{ Pa}$  برابر  $1200^\circ\text{C}$  و در فشار  $130\text{ Pa}$  برابر  $1450^\circ\text{C}$  می‌باشد.

این المنت‌ها به روش اکسترود یا پرس کردن و سپس سیترینگ تولید می‌شود بدین‌منظور پودر مولیبدن دی‌سیلیساید با پلی وینیل الکل مخلوط شده و سپس اکسترود می‌شود شرکت Kanthal المنتی به نام Super Kanthal که با کاربرد تademای  $1800^\circ\text{C}$  ساخته است که در آن  $20^\circ\text{C}$  درصد حجمی آلومینوسیلیکات مصرف شده است.

مولیبدن دی‌سیلیساید در المنت حرارتی SiC نیر کاربرد دارد، که به دو دسته تقسیم می‌شود :

I. المنت‌هایی که از جنس SiC بوده و مولیبدن دی‌سیلیساید را به آن اضافه می‌کنند. این المنت‌ها به مدت کوتاه تا  $1600^\circ\text{C}$  و به طور دائم تا  $1500^\circ\text{C}$  کاربرد دارند. قسمت داغ این المنت‌ها خودجوش (Self-bonded) است ولی به قسمت سرد آن سیلیسیم اضافه می‌شود تا کنداکتیویته آن افزایش یابد.

II. المنت‌های SiC را می‌توان با مولیبدن دی‌سیلیساید تلقیح کرد (impergenation) و یا عنصر فلزی مولیبدن را با سیلیسیم واکنش داد، این المنت‌ها برای محیط‌های اکسیدی مناسبند ولی هیچکدام از المنت‌های

دو گروه فوق همتای المنت های حرارتی مولیبدن دی سیلیساید نمی باشند. زیرا شوک حرارتی بر این المنت ها اثری ندارد و با گذشت زمان مقاومت ویژه الکتریکی آنها تغییر نم کند و دمای کاری آنها  $100-200^{\circ}\text{C}$  بالاتر از دمای کاری المنت های SiC است.

## ۶-۲-۲ روش های ساخت قطعات

برای تولید قطعات مولیبدن دی سیلیساید روش های متعددی وجود دارد. خواص و تکرار پذیری قطعات تولیدی مستقیماً تحت تاثیر روش ساخت می باشد.

المنت های حرارتی الکتریکی به روش اکستروژن سرد تولید می شود. بدین منظور پودر مولیبدن دی سیلیساید با ماده خمیر کننده مناسب (پلی ونیل الکل) مخلوط شده و سپس اکستروود می شود تا به شکل میله درآید. برای این کار از قالب های فولادی (Steel dies) استفاده می شود. پس از اکستروژن قطعه، عمل سیترینگ (پخت) در خلاء، اتمسفر کنترل شده هوا و یا اتمسفر هیدروژن صورت می گیرد.

اگر قطعه ای از پودر نرم به قطر  $10\mu\text{m}$  با پرس ایزواستاتیکی سرد (CIP) تولید و در  $1700^{\circ}\text{C}$  در اتمسفر هیدروژن سیتر شود دانسیته حاصل  $99\%$  دانسیته نظری خواهد بود. برای جلوگیری از رشد دانه ها در حین سیترینگ به آن پودر آلومینا ( $\text{Al}_2\text{O}_3$ ) یا سیلیکون کارباید (SiC) اضافه می کنند که نتیجتاً قطعه مولیبدن دی سیلیساید سیتر شده و دارای مقاومت مکانیکی بالاتر خواهد بود.

اگر پودری با متوسط اندازه ذرات  $1\mu\text{m}$  به روش پرس گرم در قالب های گرافیتی و در دمای  $1700-1600^{\circ}\text{C}$  با فشاری در حدود  $50\text{ MPa}$  تولید شود پس از  $30$  دقیقه دانسیته آن به دانسیته ایده آل می رسد. انرژی اکتیواسیون برابر  $100\text{ KJ/mol}$  است.

دمای سیترینگ را می توان با سیتر فعال شده به طریق شیمیایی تا  $1200^{\circ}\text{C}$  کاهش داد. بدین منظور سیتر در اتمسفر سیلیکونی شامل فلوریدها صورت می گیرد.

مولیبدن دی سیلیساید در دیگر سرامیکها از جمله قطعات کربور سیلیسیم (SiC) مورد استفاده قرار می گیرد. که کربور سیلیسیم در این بدنه ها اسکلت اصلی را تشکیل می دهد. کربور سیلیسیم ترجیحاً باید

اهیمت زیادی ندارد. دانه‌ها باید زیر  $5\text{ mm}$  باشند. کربور سیلیسیم به همراه مواد پیوندی مناسب مخلوط می‌گردد و سپس به شکل دلخواه شکل دهی می‌شود. آنگاه خشک شده و در صورت لزوم بر روی آن عملیات حرارتی نیز صورت می‌گیرد تا مقاومت خام افزایش یافته و حمل و نقل آن به سهولت صورت پذیرد. در گامهای بعدی ساخت، مواد کربن دار به قطعه افزوده و سپس پیرولیز می‌شود آنگاه کربن درجا (In Situ) با سیلیسیم ترکیب و به SiC تبدیل می‌گردد. آزمایشات انجام شده نشان می‌دهد که استفاده از محلول آبی ساکارز، مخصوصاً شکر چغندر قند بسیار مناسب است که می‌تواند بین  $15/0$  تا  $3/0$  گرم کربن در هر سانتیمتر مکعب محلول ایجاد کند. وارد کردن مواد کربن دار با وارد کردن قطعه به داخل محلول آبی شکر چغندر انجام می‌گیرد. چنین محلولی در دمای اتاق معمولاً "دارای  $60$  درصد وزنی شکر و  $35$  درصد وزنی آب" است. حفره‌های موجود در قطعاتی که شکل داده شده‌اند با محلول شکر کاملاً "پر می‌شود و برای خارج شدن آب به آهستگی خشک می‌گردد. وقتی آب کاملاً از قطعه خارج شد آن را معمولاً در دمای  $400^{\circ}\text{C}$  در محفظه بسته حرارت می‌دهند تا شکر به آب و کربن تجزیه شود. در صورت لزوم این فرایند چندین بار تکرار می‌شود تا مقدار کربن در داخل حفره‌های قطعه افزایش یابد. بدین طریق حفره‌های قطعه تقریباً با  $1$  تا  $10$  درصد حجمی از کربن پر می‌شود که سپس در اتمسفر سیلیکون به SiC تبدیل می‌شود. به بدنه‌هایی که  $30$  درصد حجمی متخلف اند بهتر است حدود  $7$  تا  $9$  درصد حجمی کربن اضافه و سپس درجا به SiC تبدیل (Infiltration) گردد. تخلخل این بدنه‌های تکنیکی آنها فراوان است. با وارد کردن مولیبدن دی‌سیلیساید خواص این قطعات را در برابر اکسیداسیون بهبود می‌بخشدند. بدین منظور قطعه در داخل مخلوطی از  $40$  درصد وزنی پوردر مولیبدن دی‌سیلیساید و  $60$  درصد وزنی پوردر سیلیسیم قرار داده می‌شود و تا دمای  $2150^{\circ}\text{C}$  در اتمسفر آرگن حرارت داده می‌شود تا کلیه تخلخلها با وارد شدن مولیبدن دی‌سیلیساید پر شود. آنالیز قطعه نهایی  $50$  درصد سیلیسیم و  $50$  درصد مولیبدن دی‌سیلیساید را نشان می‌دهد دلیل کم شدن سیلیسیم تبخیر آن در دمای  $2150^{\circ}\text{C}$  است زیرا در این دما فشار بخار سیلیسیم از فشار بخار مولیبدن دی‌سیلیساید بیشتر است.

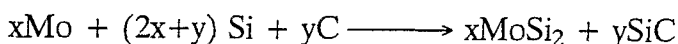
قطعات تولیدی خواص جالبی دارد که از آن جمله مقاومت آن در برابر اکسیداسیون در دمای  $1500^{\circ}\text{C}$  در

هواست که چهار برابر بهتر از قطعات SiC است. مقاومت خمثی آن در دمای اتاق حدود  $18-22 \text{ Kg/mm}^2$  که تا دمای  $1400^\circ\text{C}$  افزایش می‌یابد. همچنین مقاومت آن در برابر شوک حرارتی، با سیکل آزمایشی زیر بسیار بهتر از قطعه متخلخل SiC خالص است. در این سیکل آزمایش ابتدا قطعه تا  $1400^\circ\text{C}$  ۱۴۰۰ گرم و سپس در آب (quench) می‌شود و این عمل تا شکست قطعه تکرار می‌گردد.

از روش SHS برای سنتز پودر و یا کامپوزیتهای مولیبدن دی‌سیلیساید استفاده شده است. این فرایند امکان تولید کامپوزیتها را در یک مرحله فراهم می‌سازد در روش SHS دمای آدیباتیک (Adiabatic) عامل بسیار مهمی است که از آنتالپی واکنش  $\Delta H_T$  با استفاده از معادله ذیل به دست می‌آید.

$$\Delta H_T = \int_{T_0}^{T_{ad}} C_p dT \quad (1-2)$$

که  $T_0$  دمای اولیه،  $T_{ad}$  دمای آدیباتیک و  $C_p$  ادغام ظرفیت‌های حرارتی محصولات است. برای مثال تولید کامپوزیت  $\text{SiC/MoSi}_2$  طی واکنش ذیل صورت می‌گیرد.



محصولات نهایی در روش سنتز SHS به طور ذاتی از مواد اولیه چگالتراست لذا در قطعه متخلخلهای ذاتی تشکیل می‌شود. نتیجتاً اگر این روش نکار رود، برای حصول به قطعات کاملاً "چگال" و از بین رفتن تخلخلها مکانیسم دیگری مانند پرس گرم ضروری است.

### ۳-۲- بررسی روش SHS یا سنتز دما بالای خود پیشرو

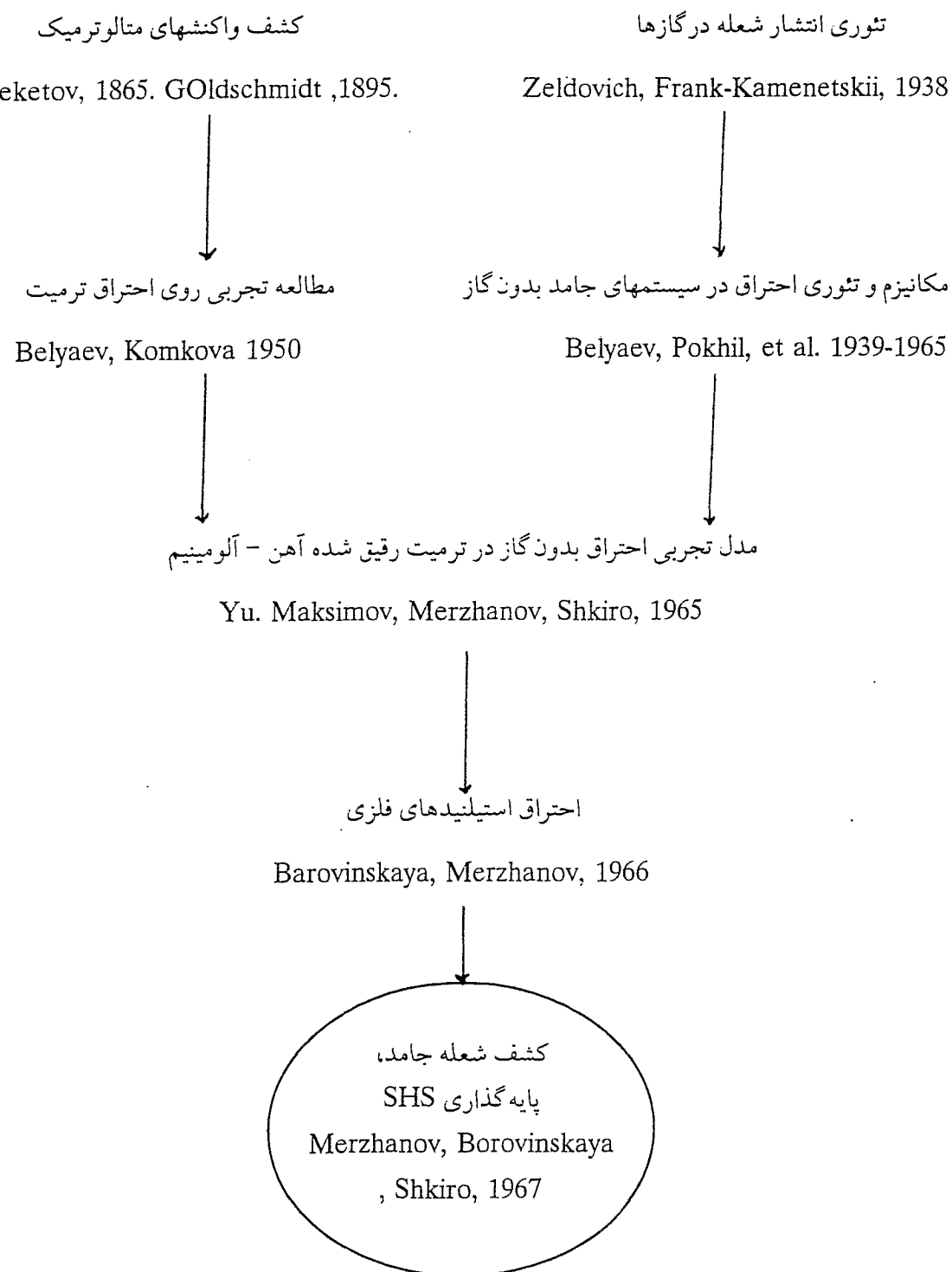
۱-۳-۲- مروری بر تاریخچه، کاربردها و توسعه روش SHS [۱۵]

#### ۱-۳-۱- تاریخچه کشف SHS (Self-Propagating High-temperature Synthesis)

تاریخچه SHS ارتباط نزدیکی با کشف پدیده شعله جامد دارد. دردهه ۶۰ مطالعات روی مکانیزم احتراق در سیستمهای جامد مولد گاز نظیر انفجارها در مرکز تحقیقات Chernogolovka شوروی سابق انجام شد. در همان زمان قانون gasification (تبدیل جامدات به گاز) در احتراق شدید ثابت شده بود. برای امتحان فرضیات، آلمینیوترمی آهن بدون حضور گاز و استفاده از آلومینا عنوان کنده (diluent) واکنش تدارک دیده شد. بعد از احتراق، محصول وزن اولیه اش را حفظ کرده بود چراکه واکنشگرهای اولیه و محصولات در حالت جامد در طول احتراق باقی می‌مانند.

تحقیق روی سیستمهای جدید بدون گاز منجر به کشفی قابل ملاحظه شد که بعداً به پدیده شعله جامد تامیده شد. شعله جامد یک احتراق در حالت جامد است، بطوریکه واکنشگرهای محصولات در حالت جامد باقی می‌مانند (حتی در دماهای احتراق بالا). پودرهای فعال کمیاب فلزی دیرگداز (نایوسیم، تتالیم، مولیبدن، تنگستن و غیره) و غیرفلزات (بروکرین و سیلیکون) به عنوان واکنشگر محصولات دیرگداز (برايدها، کاربردها و سیلیسایدها) را بدست می‌دهند. بزودی روشن شد که شعله جامد روش مناسبی برای بدست آوردن مواد دیرگداز است، شیوه‌ای که سنتز دما بالای خود پیشرو (SHS) نامیده شد.

تاریخچه SHS به طور خلاصه در شکل (۴-۲) مندرج است.



شکل (۴-۲) - تاریخچه کشف SHS

### ۲-۱-۳-۲- شرح تاریخی پیشرفت و توسعه SHS

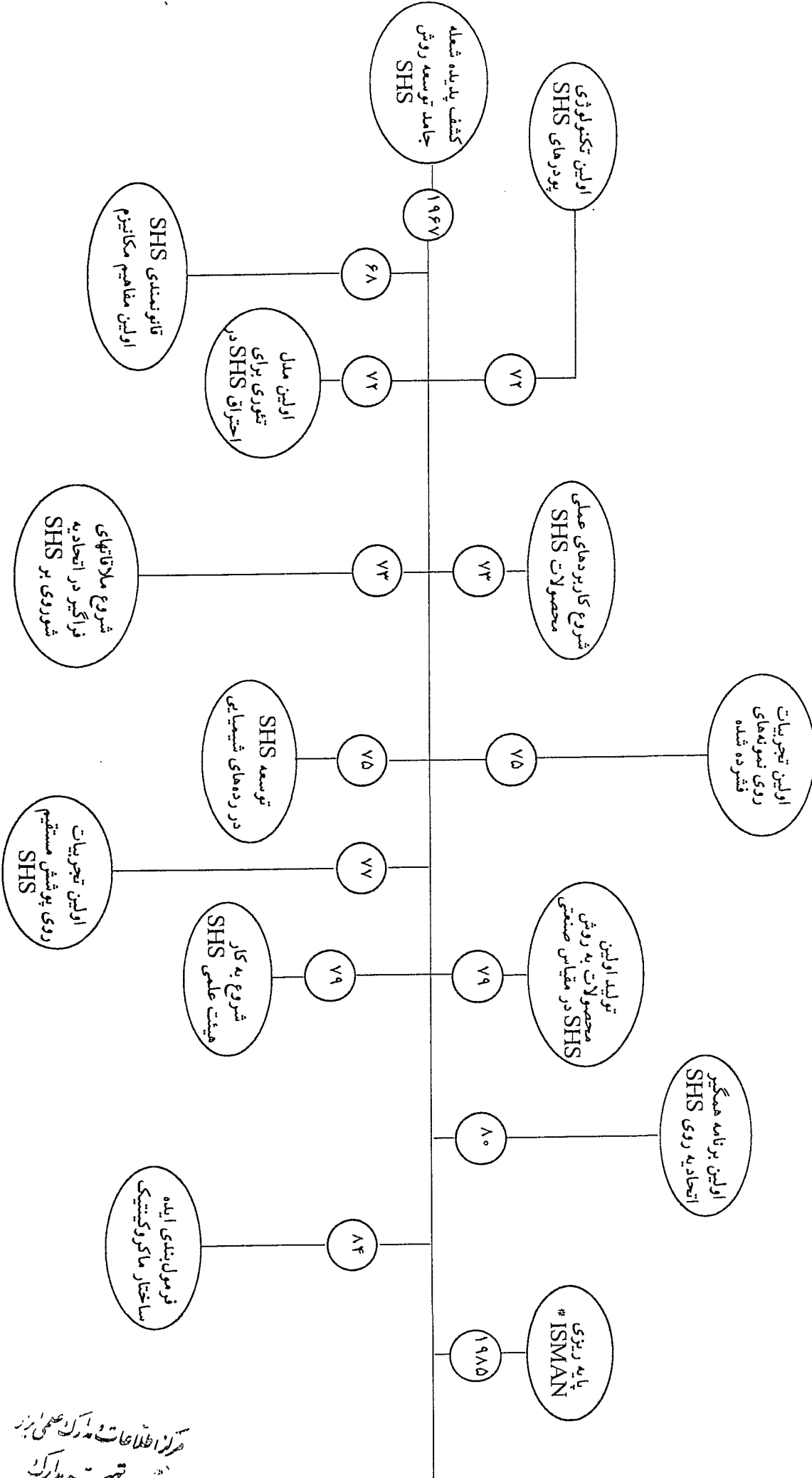
به سبب مکانیزم جالب و قابلیت تکنیکی، SHS به طور وسیعی مورد مطالعه قرار گرفت. شرح تاریخی تحقیق در مورد SHS در شوروی سابق در شکل (۶-۲) مندرج است. در این شکل تاریخهای اولین آزمایشات، تئوریها و مطالعات تکنولوژیکی که القاء‌گر تحقیقات بیشتری در عرصه‌های گوناگون SHS است، بعلاوه سطوح نهادهای فعال در این جهت دیده می‌شود.

جالب توجه اینکه، در طول ۱۲ سال اول، این مطالعات در شوروی سابق بدون حمایت مالی خاصی انجام شد و تنها طرفداران مجری تحقیق بر SHS در این زمینه پیشقدم بودند. SHS تنها از سال ۱۹۷۹ به بعد حمایت‌های دولتی را به خود جلب کرد.

مطالعات روی SHS خارج از روسیه در سال ۱۹۸۰ شروع شد، (چندین سال بعد از اولین تحقیقات انجام شده در این کشور) دلیل این تغییر را شاید بتوان به عدم اعتماد دانشمندان کشورهای دیگر به تواناییهای SHS دانست، (بدلیل غیرطبیعی بودن این واکنش) (شکل (۵-۲)).

۱۹۹۰-۱۹۹۴	کانادا، چین، هند، تایوان، اسپانیا، برباد،	۱۹۸۰	USA
	کره، فرانسه، انگلیس، فنلاند، ایتالیا و	۱۹۸۴	ژاپن
	هلند	۱۹۸۵	لهستان

شکل (۵-۲) - شرح تاریخی SHS: مبدأ بین‌المللی



کنفرانس اطلاعات مهندسی ایران  
تهران، ۱۳۹۰

## ۳-۱-۳-۲- اصول SHS

در بین سالهای ۱۹۶۸-۷۲ Merzhanov و دیگران مفاهیم اولیه مکانیزم احتراق در سیستمهای SHS را

بر مبنای اطلاعات تجربی تقسیم‌بندی کردند:

- احتراق بدون گاز در مخلوط‌های پودری فلزی با کربن، بُر و سیلیکون

- فیلتراسیون احتراقی نمونه‌های فلزی متخلخل در گاز نیتروژن

سپس، جهت‌های بعدی برای تحقیق روی SHS با موفقیت توسعه پیدا کرد:

- الگوهای جبهه انتشار، مدهای غیرتعادلی

- پروفیلهای دمایی در موجهای SHS

- تئوری احتراق در سیستمهای SHS

- مدل ریاضی SHS

- محاسبات ترمودینامیکی

- کیتیک واکنشهای دما بالا

- شبیه سازی مکانیکی SHS

با این تقسیم‌بندی‌ها ارتباط بین سرعت واکنشهای شیمیایی، ساختار، استحالة‌های فازی، گرما و تغییر جرم

بهتر شناخته شد و به عبارتی ساختار ماکروکیتیک این استحالة روش شد.

پیشرفت مطالعاتی SHS بسیار چشمگیر بود، بطوریکه تحقیق و بررسی روی این استحالة‌ها در ۳ سطح

مختلف قابل پیگیری شد:

سطح اول بر مبنای اصول تقریبی بنا نهاده شده (در این مرحله با مشاهده) الگوی انتشار جبهه احتراق و

آنالیز محصول نهایی نتیجه‌گیری شد.

این روش بسیار ساده بود و تقریب قابل قبولی را ارائه می‌داد. با این تقریب بهینه‌سازی اولیه SHS

می‌توانست بسادگی با استفاده از پارامترهای فرآیند فراهم آید.

سطح دوم توانائی تعیین ساختار منطقه‌ای جبهه احتراق و تغییر فرآیندهای دیگر را ارائه می‌داد. البته

فعالیت روی سطح دوم نیاز به مهارت‌های تجربی داشت (برای مثال آماده کردن ترموکوپلهایی با اتصالی به ضخامت  $3-5\mu\text{m}$ ).

سطح سوم یکی از بغيرنجه‌ترین مراحل بود. این مرحله نیاز به تکنیک‌های آزمایشی مشکل و پیچیده نظریر تشعشع همزمان (Synchrotron Radition)، آنالیز پراش اشعه X دینامیک و یا تکنیک سرماش سریع (Quenching Technique) داشت. در مقابل، محقق با این روش اطلاعاتی در مورد استحاله‌های شیمیایی فاز را مستقیماً دریافت می‌کرد. (اطلاعاتی از قبیل منحنی‌های سرعت و دمای ماکزیمم احتراق نسبت به پارامترهای مختلف و پروفیل غلظت فازهای محصول با استفاده از پیکهای XRD دینامیک که با زمان و پیش روی موج احتراق تغییر می‌کرد).

بنابراین مطالعه جزئیات سطح سوم اطلاعات کاملی در مورد SHS در سیستم‌های مختلف و خاص ارائه می‌داد.

#### ۴-۱-۳-۲- ستزهای شیمیایی، تکنولوژی پودرهای SHS

اولین سنترو آنالیز محصولات SHS بوسیله Borovinskaya و دیگران در بین سالهای ۱۹۶۹-۱۹۷۱ انجام شد. این مطالعات ارتباط بین ترکیب شیمیایی و فازی محصولات و ترکیب مخلوط خام و شرایط احتراق را به منظور بهینه‌سازی تشکیل محصولات تک فاز با حداقل ناخالصی را تا حدودی روشن ساخت و نیتریدها، برایدها و سیلیسایدها از فلزات انتقالی (Ta, Nb, Hf, Zr, Ti و ...) ستز شدند.

سپس طبقه‌بندی محصولات SHS بطور چشمگیری افزایش یافت. ترکیباتی که بوسیله محققین مختلفی

ستز شدند عبارتند از :

- ترکیبات غیرفلزی دیرگداز
- ایترمتالیکها
- هیدریدها
- اکسیدهای پیچیده
- فسفیدها

تولید در مقیاس پایلوت پودرهای SHS از سال ۱۹۷۲ شروع شد هنگامیکه یک راکتور SHS با حجم ۲۰ لیتر در Chernogolovka مسکو ساخته شد. آماده سازی و فرآوری محصولات نهایی بوسیله روش‌های معمول متالورژی پودر انجام می‌شد. توانایی تولید این تجهیزات در مقیاس آزمایشگاهی برای پودرهای (TiC, TiN, TiC-TiN, TiB<sub>2</sub>, AlN, Si<sub>3</sub>N<sub>4</sub>, MoSi<sub>2</sub>) ۱۵-۱۰ تن در سال بود. یکی از نتایج مهم بدست آمده این بود که SHS در حجمهای بزرگتر به مراتب بازده بیشتری نسبت به مقادیر کوچک آن دارد. بطوریکه کیفیت این محصولات بالاتر از محصولات ساخته شده آزمایشگاهی است.

به هر حال با تلاش محققین Chernogolovka راکتور و ابزار آلات جانبی SHS تکمیل شد و درحال حاضر تمرکز بر روی اتوМАسیون نسبت خط تولید پودرهای SHS است.

#### ۲-۳-۵ - پوشش بوسیله SHS

در انتهای دهه هفتاد، کار روی رسوب مستقیم پوششها بوسیله روش SHS آغاز شد.

در ابتدا روی دو روش :

- تشکیل مذابهای SHS روی سطح یک قطعه برای پوشش دهی (SHS سطحی)
- انتقال واکنشگرها از طریق فاز گازی روی سطح قطعه به حالت موج احتراقی (انتقال گازی پوششها SHS)

تحقیق شد، سپس روش‌های جدید زیر پیشنهاد شد :

#### ● SHS سطحی اجباری

- رسوب پوششها به حالت شعله‌های زنجیره‌ای (در دماهای پائین)

- تشکیل پوششها در کوره‌های شیمیایی

با بکارگیری این روشها برای رسوبگذاری مستقیم پوششها SHS می‌توانستند پوشش‌هایی در محدوده‌ها

زیر بدست آوردند :

SHS سطحی < پوشش اجباری SHS > واکنشهای انتقال گازی < شعله‌های زنجیره‌ای روش پوشش دهی >

( $< 100\text{ nm}$ )	( $10-100\text{ }\mu\text{m}$ )	( $0.1-1.0\text{ mm}$ )	(> $1\text{ mm}$ )
-----------------------	---------------------------------	-------------------------	--------------------

ضخامت پوشش

### ۶-۳-۲- تولید و کاربرد محصولات SHS در مقیاس صنعتی

تلاش‌های زیادی برای پیداکردن کاربردهای صنعتی محصولات SHS از زمانهای پیش صورت گرفته بود، تا اینکه در Chernogolovka این امر محقق شد.

اولین موفقیت در سال ۱۹۷۳ پدید آمد وقتیکه خواص ساینده‌گی پودر تولیدی SHS تیتانیم کاربید کشف شد. بطوریکه پودرهای آسیاب شده و خمیری بر مبنای آن تهیه می‌شد و بالاخره در مدت کوتاهی تولید آن در مقیاس صنعتی توسعه یافت. این ساینده‌ها تقریباً در ۱۵۰۰ ابزارآلات مختلف در شوروی سابق استفاده می‌شد. این کار از نظر اقتصادی بسیار سودمند بود و برای اولین بار کاربرد عملی عظیم SHS را به اثبات رساند.

کاربردهای بعدی در جهات گوناگونی توسعه یافت مثلاً "در مهندسی مکانیک، متالورژی، صنعت شیمی، مهندسی هوا و فضا، الکترونیک و حتی در برشکی. البته امروزه مسائلی چون، تجارتی کردن SHS، توسعه خطوط تولید جدید و بازاریابی برای محصولات جدید، پیشرفت SHS را تا حدودی کندکرده. در انتهای این مبحث گسترده‌گی جغرافیایی مراکز تحقیقاتی SHS در سراسر جهان به نمایش گذاشته می‌شود (شکل (۷-۲)).



شکل (۷-۲) - گسترده‌گی جغرافیایی مراکز تحقیقاتی SHS در سراسر جهان

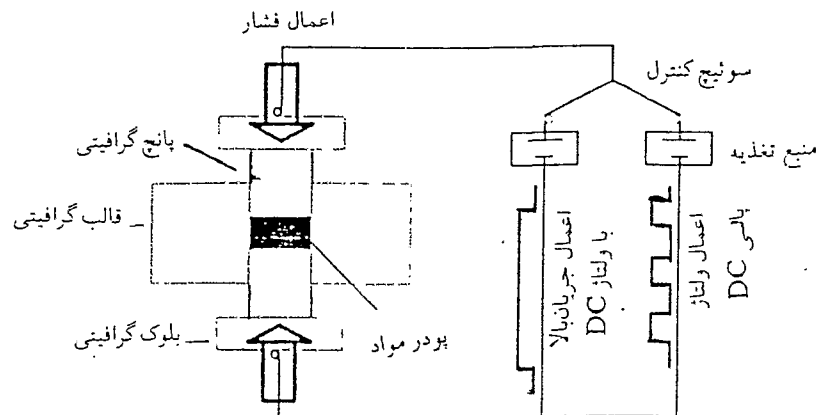
### ۷-۱-۳-۲- آخرین پیشرفت‌ها در زمینه SHS

بعد از کشف SHS، تلاش محققین برای ساده‌سازی و بهینه‌سازی این روش جهت تهیه قطعات دنس و با کیفیت بالا شروع شد.

روش مرسوم عبارت بود از پرس مخلوط خام، سنتز نمونه‌های پرس شده، خردایش و آسیاب نمونه‌های سنتزی و بالاخره پیگیری مراحل شکل‌دهی و زیترینگ پودر محصول برای رسیدن به قطعه موردنظر. البته اگر انتظار ما از این قطعه توده‌ای با دانسته نزدیک به دانسته ثوری بود نیاز به روش‌های تکمیلی نظیر پرس گرم (HP) داشت که باید به مراحل قبل اضافه می‌شد. ولیکن با تحقیقاتی که اخیراً صورت گرفته و در حال انجام است تا حدود زیادی مراحل اضافی قابل حذف است. به عبارتی محور این بررسی‌ها همزمانی سنتز و افزایش دانسته قطعات است.

به عنوان نمونه در یکی از این تلاشها [۱۶] عنوان شده می‌توان در حالیکه پودر مخلوط خام ( $Mo+2Si$ ) در قالب‌های گرافیتی تحت فشار مکانیکی قرار می‌گیرد. با اعمال جریان بالای الکتریکی پودر تحت فشار را تا حد افزایش گرم و در نهایت سنتز کرد. ادعا می‌شود با این روش می‌توان به دانسته ۹۹٪/۲٪ ثوریک رسید. اشکال (۶-۲) و (۷-۲) و جدول (۳-۲) اطلاعات بیشتری در مورد شماتیک ابزارآلات، ترتیب مراحل فرآیند و پارامترهای تکمیلی استفاده شده در این تحقیق را نشان می‌دهند.

البته این روشها در مقابل مزایایی چون کاهش مراحل تولید قطعات به روش SHS، افزایش دانسته فرآورده‌ها تا نزدیک دانسته ثوریک با محدودیتهاي چون ناتوانی ساخت قطعات با اشکال پیچیده و مشکل در تهیه جریان الکتریکی بالا، ابزارآلات متعدد و حجمی مورد نیاز روبرو هستند.

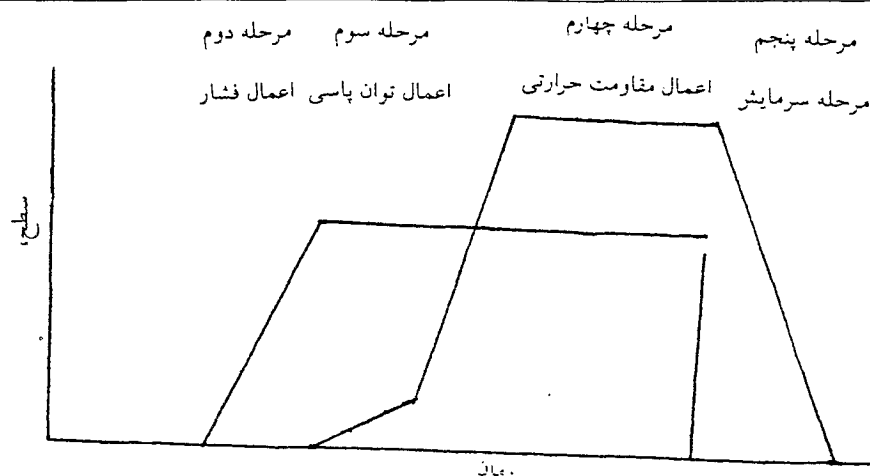


شکل (۲-۲) شماتیکی از ابزارآلات جهت سنتز احتراقی همزمان با افزایش دانسیته که توسط اعمال میدان الکتریکی و همراهی فشار مکانیکی (FAPA) صورت گرفته است.<sup>\*</sup>

جدول (۲-۳) پارامترهای فرآوری سنتز احتراقی  $\text{MoSi}_2$  بوسیله اعمال میدان الکتریکی و همراهی فشار مکانیکی.

پارامتر	مقدار
حد خلاه فشار اعمالی جهت Pulsed discharge	۰/۰۷ torr (۹/۳۳ pa)
ولتاژ جریان	۳۰، ۶۰ MPa
زمان قطع و وصل	۲۰ V
کل زمان اعمالی	۷۵۰ A
گرمایش مقاومتی	۲۰ ms
ولتاژ جریان	۲۰ S
زمان	۷۵ V
سرعت گرمایش	۲۲۰۰ و ۳۰۰۰ A
ماکزیمم دما	۳-۶ min
سرعت خشک شدن	۶۰۰ و ۳۰۰ C/min
	۱۷۰۰ C
	۶۰۰ C/min

\*- اعمال ولتاژ پالسی جهت خروج گازهای محبوس و تمیز کردن سطح پودر فشرده شده



شکل (۹-۲) - نمایش ۵ مرحله FAPA در سنتز احتراقی همزمان با افزایش دانسیته.

## ۲-۳-۲- ویژگیها و خواص روش SHS

## ۱-۲-۳-۲- مطالعات ترمودینامیکی واکنش [۵]

به محض اینکه واکنش شروع می‌شود (Ignition)، دمای فوق العاده زیادی بدست می‌آید، این امر بواسطه طبیعت واکنش فوق العاده گرمaza شکل می‌گیرد. بالاترین دمایی که محصول در این سیستم می‌گیرد را دمای آدیباتیک،  $T_{ad}$  می‌گویند. چنانچه آنتالپی سیستم یک تابع ثابت باشد، حرارت آزاد شده در واکنش عبارتست از:

$$\Delta H' = \Delta H_{f,298} + \int_{298}^{T_{ad}} \Delta_{cp}(\text{محصول}) dT \quad (2-2)$$

که  $\Delta H_{f,298}$  آنتالپی استاندارد تشکیل محصول در 298K،  $\Delta_{cp}$  تغییرات ظرفیت گرمایی برای تشکیل محصول.

برای یک سیستم ایزوله حرارتی (آدیباتیک)،  $\Delta H' = 0$  و لذا با توجه به (۱) و اگر  $T_{ad} < T_{mp}$  داشت: خواهیم داشت:

$$-\Delta H_{f,298} = \int_{298}^{T_{ad}} \Delta_{cp}(\text{محصول}) dT$$

نمایش این فرمول را در شکل (۱۰-۲) می‌بینیم.

از طرف دیگر اگر  $T_{ad} = T_{mp}$  باشد، خواهیم داشت:

$$-\Delta H_{f,298} = \int_{298}^{T_{ad}} \Delta_{cp}(\text{محصول}) dT + \nu \Delta H_m \quad (3-2)$$

که در این فرمول  $\nu$  جزئی از محصول که در حالت مایع است و  $\Delta H_m$  گرمای ذوب محصول.

بالاخره وقتیکه  $T_{ad} > T_{mp}$  باشد، خواهیم داشت:

$$-\Delta H_{f,29} = \int_{298}^{T_{mp}} \Delta_{cp}(\text{محصول، مایع}) dT + \Delta H_m + \int_{T_{mp}}^{T_{ad}} \Delta_{cp}(\text{محصول، مایع}) dT \quad (4-2)$$

در واکنشهای که از نوع گرمایی ضعیف هستند، شروع واکنش (Ignition) تنها وقتیکه واکنشگرها در دمایی بالا (دمای شروع واکنش)،  $T_{ig}$  باشند اتفاق خواهد افتاد. در این حالت پیش گرم کردن نیز لازم است. علاوه براین، دمای آدیباتیک بطور شدیدی به دمای افزوش،  $T_{ig}$ ، وابسته است. بنابراین دمای آدیباتیک با استفاده از یکی از ۳ معادله زیر قابل محاسبه خواهد بود.

اگر  $T_{ad} < T_{mp}$  باشد آنگاه داریم:

$$-\Delta H_{f,Tig} = \int_{T_{ig}}^{T_{ad}} \Delta_{cp}(\text{محصول}) dT \quad (5-2)$$

اگر  $T_{ad} = T_{mp}$  باشد آنگاه داریم:

$$-\Delta H_{f,Tig} = \int_{T_{ig}}^{T_{mp}} \Delta_{cp}(\text{محصول}) dT + \nu \Delta H_m \quad (6-2)$$

اگر  $T_{ad} > T_{mp}$  باشد آنگاه خواهیم داشت:

$$-\Delta H_{f,Tig} = \int_{T_{ig}}^{T_{mp}} \Delta_{cp}(\text{محصول}) dT + \Delta H_m + \int_{T_{mp}}^{T_{ad}} \Delta_{cp}(\text{محصول، مایع}) dT \quad (7-2)$$

برای بیشتر ترکیبات ارقام ترمودینامیکی لازم را می توان از کتابهای مرجع بدست آورده و با استفاده از معادلات بالا دمای آدیباتیک واکنشها را محاسبه کرد. در حالت کلی، تطابق بین دمای احتراق تجربی،  $T_C$ ، و دمای محاسبه شده،  $T_{ad}$ ، دیده نمی شود. این عدم همخوانی بعلت ساده سازیهای فرضی در ارتباط با مدل تئوری است. مقدار  $T_{ad}$  محاسباتی بکار رفته در معادلات بالا ضرورتاً در حد بالاتری نسبت به دمای احتراق

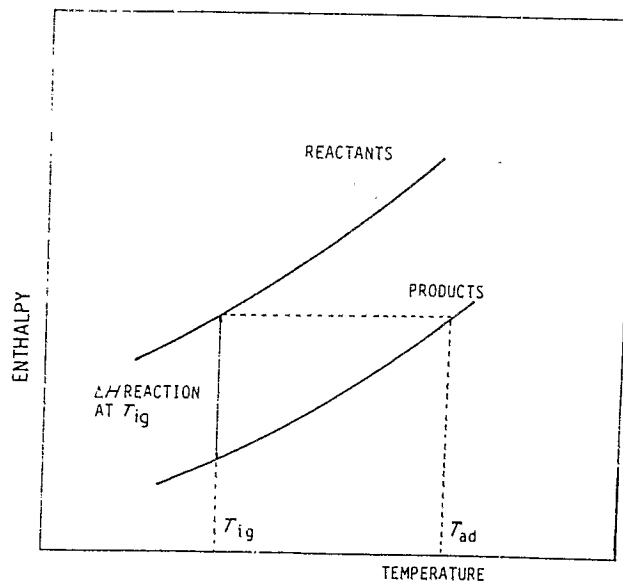
تجربی است با وجود این  $T_{ad}$  ثوری ممکن است در محاسبات نیمه کمی مورد استفاده قرار گیرد. محققی به نام Merzhanov با توجه به مشاهدات خود بیان می کند که در سیستم دوتایی (Mo,Si) توانایی خود انتشاری (پیشروی) نداریم مگر اینکه  $T_{ad} > 1800\text{ K}$  باشد.

$\Delta H_{f,298}/\Delta C_{P,298}$  دریافت، برای ترکیباتی که  $T_{ad} < T_{mp}$  دارند، منحنی

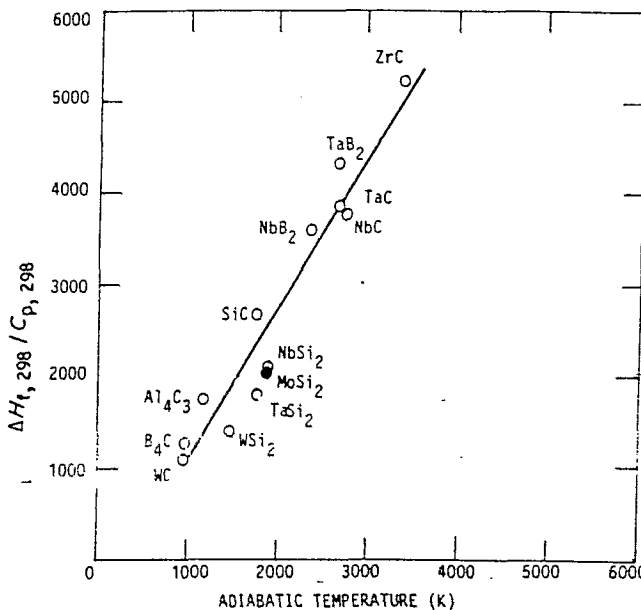
خطی است همانطور که در شکل (۱۰-۲) مشخص است. از این شکل می توان فهمید که :

برای ترکیباتی که  $2000\text{ K} \leq \frac{\Delta H_{f,298}}{\Delta C_{P,298}}$  باشد، مد خودانتشاری (مثلًا "با  $T_{ad}=1800\text{ K}$ ) بدست نمی آید،

مگر اینکه از منابع حرارتی بیرونی استفاده کنیم. این امر با پیش گرم کردن نمونه ها یا بوسیله قراردادن اطراف آن از مخلوط رآکتاباتی با گرمایشی شدید، که به اجاق شیمیایی (Chemical Oven) معروف است صورت می پذیرد.



شکل (۱۰-۲) - نمایش محاسبه دمای آدیباتیک ( $T_{ad}$ ) به کمک دیاگرام.



شکل (۱۱-۲) - نسبت گرمای تشکیل محصول به ظرفیت گرمایی آن در ۲۹۸K در برابر دمای آدیاپاتیک

(برای موادی که  $T_{ad} < T_{mp}$ )

### ۲-۲-۳-۲- سرعت انتشار موج احتراق [۵]

با تشکیل محصول در طی واکنش احتراقی، دو فاکتور، یعنی سرعت امواج انتشار (V) و دمای احتراق ( $T_C$ ) نیز می‌بایست تعیین شود. این فاکتورها هم به صورت تئوری (با استفاده از معادلات ریاضی) و هم از روش‌های تجربی قابل محاسبه هستند. توجه به مبانی ریاضی سرعت انتشار از سال ۱۹۵۰ به بعد گسترش یافت. در شکل (۱۲-۲) شماتیکی از پروفیل دمایی و سرعت انتشار موج را می‌توان دید، بطوریکه پروفیلهای احتراق و دما با یک سرعت حرکت می‌کند. در هر نقطه از نمونه تعادل حرارتی با فرمول زیر بیان می‌شود:

$$C_p \rho \frac{dt}{dt} = K \nabla^2 T + \rho Q W(\eta, T) - q(T - T_0) - \frac{2 \varepsilon \sigma_0}{\tau} (T^4 - T_0^4) \quad (8-2)$$

که  $C_p$  ظرفیت گرمایی ( $Jg^{-1}k^{-1}$ ),  $\rho$  دانسیته نمونه‌ها ( $gcm^{-3}$ ),  $T$  دمای کلوین (K),  $t$  زمان (ثانیه)،  $K$  هدایت حرارتی ( $Jg^{-1}k^{-1}s^{-1}$ ),  $W(\eta, T)$  جهات مختصاتی (m)،  $Q$  گرمای واکنش ( $wcm^{-1}k^{-1}$ ),  $q$  ضریب اتلاف حرارت ( $wcm^{-3}K^{-1}$ ),  $\tau$  شعاع نمونه (cm)،  $\varepsilon$  ضریب نشر،  $\sigma$  ثابت استفان بولتزمن ( $wcm^{-2}k^{-4}$ ),  $T_0$  دمای محیط و

$$V^2_T = \frac{d^2T}{dx^2} + \frac{d^2T}{dy^2} + \frac{d^2T}{dz^2} \quad (9-2)$$

چهار عبارت طرف راست معادله (۸-۲) بیانگر گرمای تولید شده بوسیله هدایت و واکنش شیمیایی و اتلاف حرارت بوسیله کنوکسیون و تابش می‌باشد.تابع  $w(\eta, T)$  می‌تواند به صورت زیر بیان شود:

$$w(\eta, T) = \frac{d\eta}{dT} = V_a \nabla \eta (1-\eta)^n K_0 \exp(-E/RT) \quad (10-2)$$

که  $V_a$  سرعت موج احتراق آدیباتیک،  $E$  انرژی اکتیواسیون،  $R$  ثابت عمومی گازها،  $n$  درجه واکنش و  $K_0$  ثابت پیش از اکسپوتانسیل می‌باشد، و  $\frac{d\eta}{dx} = \nabla \eta$  (در یک جهت).

عموماً، با اولین تقریب، اتلاف حرارت از طرق کنوکسیون و تابش قابل حذف است لذا معادله (۷) به معادله زیر تبدیل می‌شود.

$$C_p \rho \frac{dT}{dt} = K \nabla^2 T + \rho Q (1-\eta)^n K_0 \exp(-E/RT) \quad (11-2)$$

طبق شکل (۱۲-۲) عرض جبهه انتشار واکنش در محل منطقه واکنش،  $I_R$  و منطقه پیش گرمایش به عرض

$I_p$  می‌باشد. عرضهای این دو منطقه بوسیله عبارت

$$I_R = \frac{I_p R T_{ad}}{E} \quad (12-2)$$

با هم رابطه دارند.  $T_{ad}$  دمای آدیباتیک (مقدار تئوری دمای احتراق) است.. برای واکنشهای با انرژی اکتیواسیون بالا، عرض منطقه واکنشی در مقایسه با عرض منطقه حرارتی باریک است بطوریکه

$$\frac{E}{R T_{ad}} >> 1 \quad I_R << I_p \quad (13-2)$$

بر طبق این شرایط، و نادیده گرفتن فلوی حرارتی بین رآکtant و محصول، باستفاده از شرایط مرزی، یک بیان روش از سرعت آدیباتیک انتشار  $V_a$  از احتراق در حالت تعادلی استنتاج می‌شود:

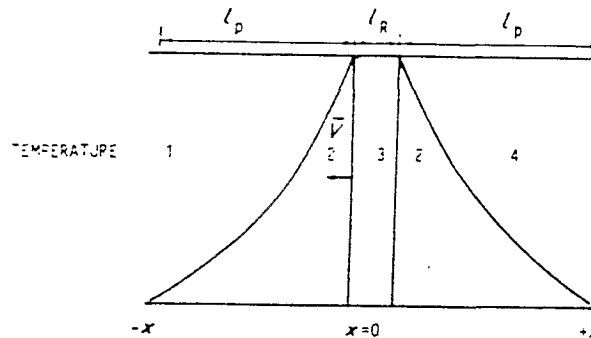
$$V_a^2 = f(n) \frac{a c_p (T_{ad})^2}{Q E} K_0 \exp(-E/RT_{ad}) \quad (14-2)$$

که  $f$  (ضریب) دیفرزیون حرارتی،  $(n)$  یک تابع ثابت پیچیده که مقدار آن وابسته است به درجه کتیکی  $n$  البته به این نکته باید توجه داشت که چند معادله اخیر بر پایه احتراق آدیباتیک هموزن است ولی اگر اتلاف حرارت در معادله (۸-۲) ناچیر نباشد یعنی  $q \neq 0$ ، احتراق غیر آدیباتیک خواهیم داشت. محاسبات تحلیلی برای این حالت منجر به محاسبه نسبت سرعت غیر آدیباتیک هموزن،  $V$  به  $V_a$  شده است.

$$\frac{V}{V_a} = \frac{1}{a_0[a_0^2 - h/\Delta]} \quad (15-2)$$

که  $h$  پارامتر اتلاف حرارت (متناوب با ضریب اتلاف حرارت  $q$ ) و  $a_0$  ثابتی است

وابسته به  $h$  و پارامتر ذوب  $M$  (این پارامتر در رنج  $0 < M < 1$  است. بطوریکه  $M=0$  معروف عدم وجود مذاب و با حرکت  $M$  به سمت ۱ افزایش فاز مذاب را داریم)،  $V_a$  سرعت احتراق آدیبااتیک.



شکل (۱۲-۲) - نشان دهنده سرعت انتشار و پروفیل دمایی در طول واکنش سنتزی احتراقی

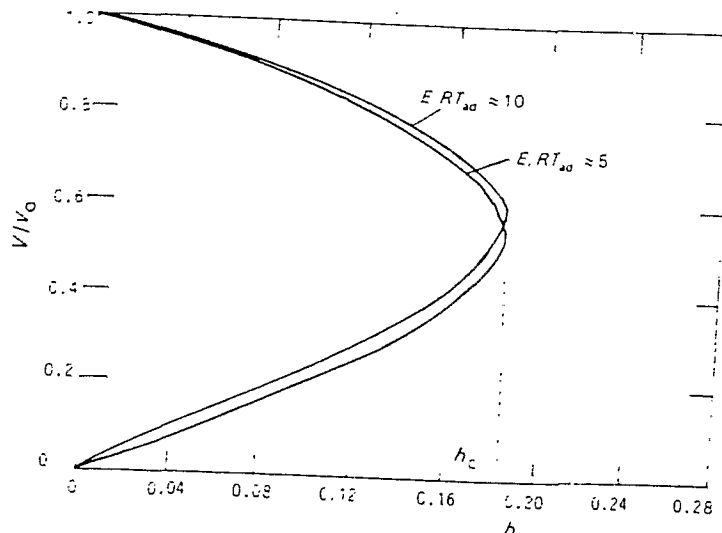
۴ - محصول

۳ - منطقه واکنشی

۲ - پروفیل دمایی

۱ - رآکtantها

در شکل (۱۳-۲) ارتباط بین  $\frac{V}{V_a}$  و پارامتر اتلاف حرارت در  $T_{ad} < T_m$  دیده می شود. مشخص است که



شکل (۱۳-۲) - ارتباط بین نسبت سرعت غیر آدیبااتیک به سرعت آدیبااتیک ( $V/V_a$ )

و پارامتر اتلاف حرارت،  $(T_{ad} < T_{mp}) h$

اگر  $h_c > h$  باشد معادله (۱۵-۲) قابل حل نیست. حد توقف احتراق تعادلی است بطوریکه در پائینتر از  $h_c$  هیچ احتراق پایداری رخ نمی دهد، البته در زیر این حد احتراق غیرتعادلی می تواند وجود داشته باشد. طبق شکل (۱۳-۲) تنها در بالای منحنی جائیکه  $V_a = V$ ، احتراق آدیاباتیک داریم. بالاخره اینکه سرعت تعادلی غیرآدیاباتیک احتراق با افزایش اتلاف حرارت کاهش می یابد. (شاخص بالای منحنی) و بالعکس سرعت غیرتعادلی غیرآدیاباتیک احتراق با افزایش اتلاف حرارت افزایش می یابد (شاخص پائین منحنی).

### ۲-۳-۲-۳- شیوه های (مدهای) احتراق و افزایش [۳]

از آنجائیکه فرایند تولید حرارت (در طی واکنش شیمیایی) و اتلاف آن روی جبهه احتراق و سرعت انتشار موثر است، لذا هر تغییری روی این فرایند می تواند بر سرعت جبهه احتراق تاثیر گذار باشد. تغییر در فرایند تولید حرارت و اتلاف حرارت به طور تجربی می تواند از دو طرق مختلف پی گیری شود، مثلاً "افزایش یک کندکننده (diluent)" یا استفاده از پودر راکتانت با اندازه بزرگ. وقتیکه چنین تغییراتی به سرعت موج احتراق تحمیل می شود، احتراق از یک مدعادلی به مدهای غیرتعادلی کشیده می شود.

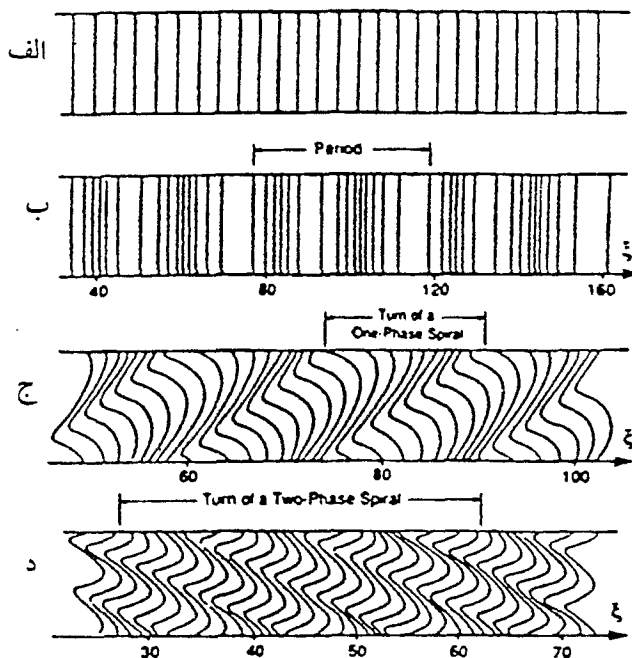
طبق مطالعات بعدی در این سیستم های غیرتعادلی مشخص شد که جابجاگی موج با زمان ثابت نیست، و انتشار موج به دو فرم عمومی صورت می گیرد: حرکت دوره ای (تناوبی) و حرکت اسپینی.

در مدل تناوبی حرکت امواج بصورت زنجیره های خطی با انتقال متناوب تند و کند می باشد، و در مدل اسپینی، پیشروی واکنش به شکل حرکت ماریچی که از یک انتهای نمونه به انتهای دیگر آن می رسد، روئیت می شود.

مشاهده شده که با حرکت تناوبی موج، در طول احتراق محصول ساختاری لایه ای شکل به خود می گیرد. چنین محصولی اغلب قابل تقسیم به چند دیسک می باشد. در مدعادل اسپینی مشاهدات اولیه تنها واکنش سطحی به صورت مقطعي و موضعی را گزارش داده، بطوریکه بدنه نمونه بصورت واکنش نکرده باقی

\* diluent یا کندکننده: ترکیباتی که به مخلوط اولیه اضافه می شوند و تا دما و سرعت واکنش و تغییر حجم محصول را کنترل کنند. معمولاً "برای جلوگیری از تغییر خواص محصول از ترکیب محصول ستری به عنوان diluent استفاده می کنند. مثلاً" در مورد تهیه مولیبدن دی سیلیساید به مخلوط اولیه  $MoSi_2$  اضافه می شود.

می‌ماند. (این مسئله خاصه در مورد نمونه فلزی پرس شده برای نیتریدها در حضور نیتروژن گازی مشاهده شده). شکل (۱۴-۲) شماتیکی از نمایش انتشار موج احتراق را برای حالت تعادلی و حالت‌های غیر تعادلی که در بالا بحث شد را در بر دارد. [۱۰].



شکل (۱۴-۲)- نمایش شماتیکی از مدل‌های انتشاری مختلف احتراق: (الف) حالت تعادلی، (ب) تناوبی، (ج) و (د)

اسپینی.

حالت غیر تعادلی موج احتراق ، که منجر به تغییر حالت از مد پایدار به ناپایدار می‌شود، می‌تواند در نهایت منجر به نابودی پروسه احتراق شود. از آنجائیکه حالت غیر تعادلی می‌تواند ناشی از تولید ناکافی حرارت باشد، می‌شود گفت واکنش ضعیف اگزوترمیک مهمترین دلیل برای این امر است. در این حالت از نظر تجربی اگر شروع واکنش رو به جلو غیر ممکن نباشد، مشکل است. مثالهایی از این واکنشها عبارتند از تشکیل B<sub>4</sub>C,SiC برای افزایش چنین واکنشهایی دو راه کلی وجود دارد. روش اول - بدليل اینکه دمای آدیباتیک تابعی است از دمای اولیه واکنشگرها، پیش گرمايش مخلوط واکنشگرها باعث ایجاد دمای آدیباتیک بالاتر و جبهه احتراق تعادلی می شود.

با تغییراتی روی این پروسه به تکنیک مشترکی بعنوان مد انفجار حرارتی، گرمایش سریع یا (Thermal explosion) می‌رسیم، که در آن مخلوط راکتاتها در یک کوره گرم شده (معمولًاً) با یک سرعت ثابت گرمایش تا اینکه واکنش احتراق خودبخودی شروع شود. در مورد سترز  $\text{MoSi}_2$  سرعت گرمایش  $1450^{\circ}\text{C}$  تا  $20^{\circ}\text{C}/\text{min}$  انتخاب می‌شود، حداقل دمای اعمالی حدود  $90^{\circ}\text{C}/\text{min}$  از این تکنیک علاوه بر  $\text{MoSi}_2$  بطور آزمایشی برای سترز آلومینا یدنیکل و مس نیز استفاده شده.

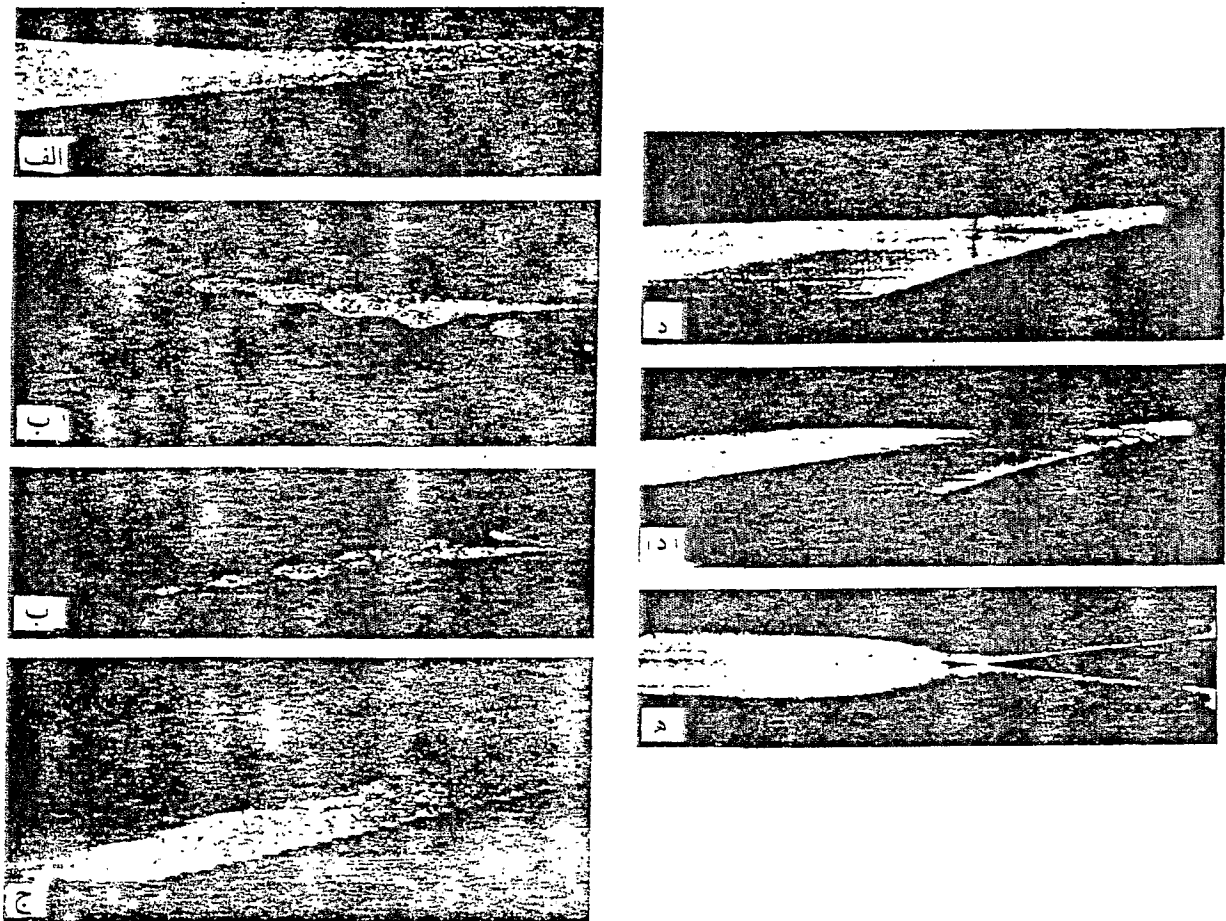
روش دوم - به متدهای کوره شیمیایی یا (Oven Chemical) معروف است و برای مخلوطهای با واکنش اگزوترمیک ضعیف کاربرد دارد.

در این حالت مخلوط با واکنش اگزوترمیک ضعیف در مخلوط با واکنش اگزوترمیک شدید جای می‌گیرد. وقتی مخلوط احاطه کننده شروع به واکنش کند، گرمای زیادی تولید می‌کند، که در نتیجه مخلوط درونی نیز وادر به واکنش می‌شود. نظری این متدهای توان در مورد سترز  $\text{B}_4\text{C}$  از پودرهای  $\text{B}$  و  $\text{C}$  مشاهده کرد، بطوریکه مخلوط  $\text{B}$  و  $\text{C}$  درون مخلوط  $\text{Ti}$  و  $\text{B}_2$  (که  $\text{TiB}_2$  را بدست می‌دهد) قرار می‌گیرد. ترکیبات دیگری چون  $\text{WC}$  و  $\text{Mo}_3\text{Si}$ ،  $\text{Al}_4\text{C}_3$  نیز از این روش قابل سترز هستند.

علاوه بر دو مدل غیر تعادلی (Thermal Explosion) و (Oven Chemical) مدل‌های احتراقی دیگری نیز در سیستمهای خاص وجود دارد. برای مثال مدل احتراقی تکرار شوند (Repeated Combustion) که هنگام احتراق هافنیم ( $\text{Hf}$ ) در اتمسفر نیتروژن - آرگن دیده می‌شود، در این مرحله از  $\text{S}_4$  که موج ابتدایی منتقل شد موج دیگری بطور ناگهانی ولی با سرعت کمتر ظاهر می‌شود.

نوع دیگر احتراق مدل تداخل جبهه (Collision of front) است که در سیستمهای نیتریدی دیده می‌شود.

در این حالت در نمونه‌های پرس شده و تحت اتمسفر نیتروژن افروزش یافته دو موج احتراقی دیده می‌شود این دو موج به سمت هم حرکت کرده و با هم تداخل می‌کنند. شکل (۱۵-۲) تصاویر مدهای احتراقی که در بالا اشاره شد را نشان می‌دهد.



شکل (۲-۱۵)- تصاویر ثبت شده از مدل‌های مختلف انتشار احتراق: (الف) احتراق تعادلی ، (ب) احتراق اسپینی ، (ج) احتراق تناوبی، (د) احتراق تکرار شونده و (ه) احتراق تداخلی.

#### ۲-۳-۲-۴- مکانیزم واکنش‌های احتراقی [۲]

با رسیدن دمای مخلوط رأکتانتها به دمایی که واکنش احتراقی فعال می‌شود، واکنش‌های بسیار سریع گرمایشی شود، که بدون نیاز به اعمال انرژی از منبع خارجی واکنش ادامه پیدا می‌کند و تمامی نمونه را فرا می‌گیرد.

و سعی واکنش احتراقی، با پروفیل دمایی که در طول SHS وجود دارد ارتباط دارد، و با عبارت زیر یافته می‌شود:

$$\eta(x) = \frac{C_p \rho v(T-T_0) - K_1 \frac{\partial T}{\partial x}}{(K_2 - K_1) \frac{\partial T}{\partial x} + q \rho v} \quad (16-2)$$

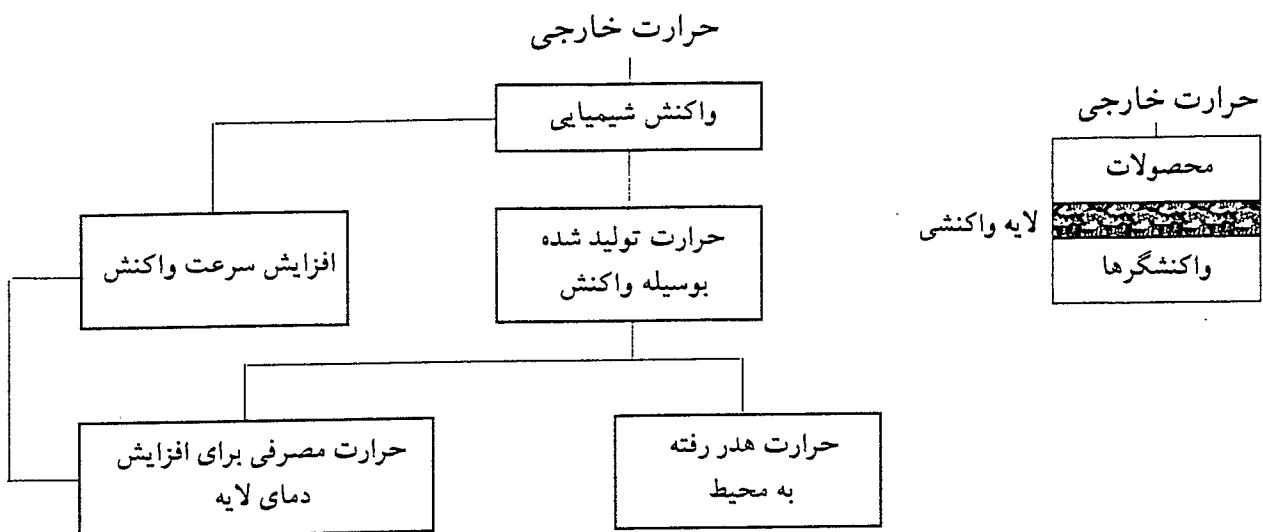
به ترتیب  $C_p$  و  $\rho$  ظرفیت گرمایی و دانسیته محصول،  $V$  سرعت موج احتراق،  $T$  دمای واکنش،  $T_0$  دمای اولیه،  $K_1$  و  $K_2$  هدایت حرارتی واکنشگرها و محصولات،  $q$  گرمای واکنش و  $x$  مختصات طولی انتشار موج احتراق.

حداکثر دمائیکه مخلوط  $Mo + 2Si$  می‌تواند در حین واکنش داشته باشد برابر است با ( $1640^{\circ}C$ )  $T_{ad} =$  که البته در عمل تا حوالی ( $1617^{\circ}C$ ) رسیده‌اند. به هر حال در چنین دمایی  $Si (m.p_{Si}) = (1410^{\circ}C)$  به صورت مذاب در آمده و می‌توان گفت مکانیزم دیفوزیون جامد-مایع غالب است در این حالت اتمهای  $Si$  مایع در  $Mo$  جامد نفوذ می‌کند [۸].

البته در این راستا مسائلی بخصوص در مذابهای حرارتی چون، اندازه ذرات مخلوط و سرعت گرمایش تأثیرگذار هستند. به عبارتی اگر اندازه ذرات خیلی ریز و سرعت گرمایش پائین باشد واکنش دیفوزیونی حالت جامد و اگر اندازه ذرات نسبتاً بزرگ و سرعت گرمایش زیاد باشد، واکنش دیفوزیونی حالت مایع را داریم. برای توضیح این پدیده می‌توان گفت:

وقتی اندازه ذرات ریز و سرعت گرمایش پائین است، ظاهراً قبل از اینکه  $Si$  ذوب شود ترکیب واسطه‌ای  $Mo_5Si_3$  تشکیل می‌شود. در صورتیکه ذرات بزرگ و سرعت گرمایش بالا موجب کاهش درصد تشکیل فازهای واسطه قبل از ذوب  $Si$  و از آنجا دیفوزیون مایع  $Si$  در جامد  $Mo$  و بالاخره تشکیل پیشتر  $MoSi_2$  را نسبت به حالت قبل را خواهیم داشت.

انرژی اکتیواسیون واکنش فوق که در اغلب منابع  $4KJ/mol / 139$  ذکر شده به مراتب کوچکتر از انرژی اکتیواسیون دیفوزیون  $Si$  در  $Mo$  یا در  $MoSi_2$  است. چراکه انرژی اکتیواسیون دیفوزیون  $Si$  در  $Mo$  برابر با  $9KJ/mol / 183$  و انرژی اکتیواسیون  $Si$  در طی دیفوزیون واکنشی  $8KJ/mol / 240$  عنوان شده [۴] برای تکمیل این بحث اشکال (۱۶-۲ تا ۱۸) درج می‌شود.

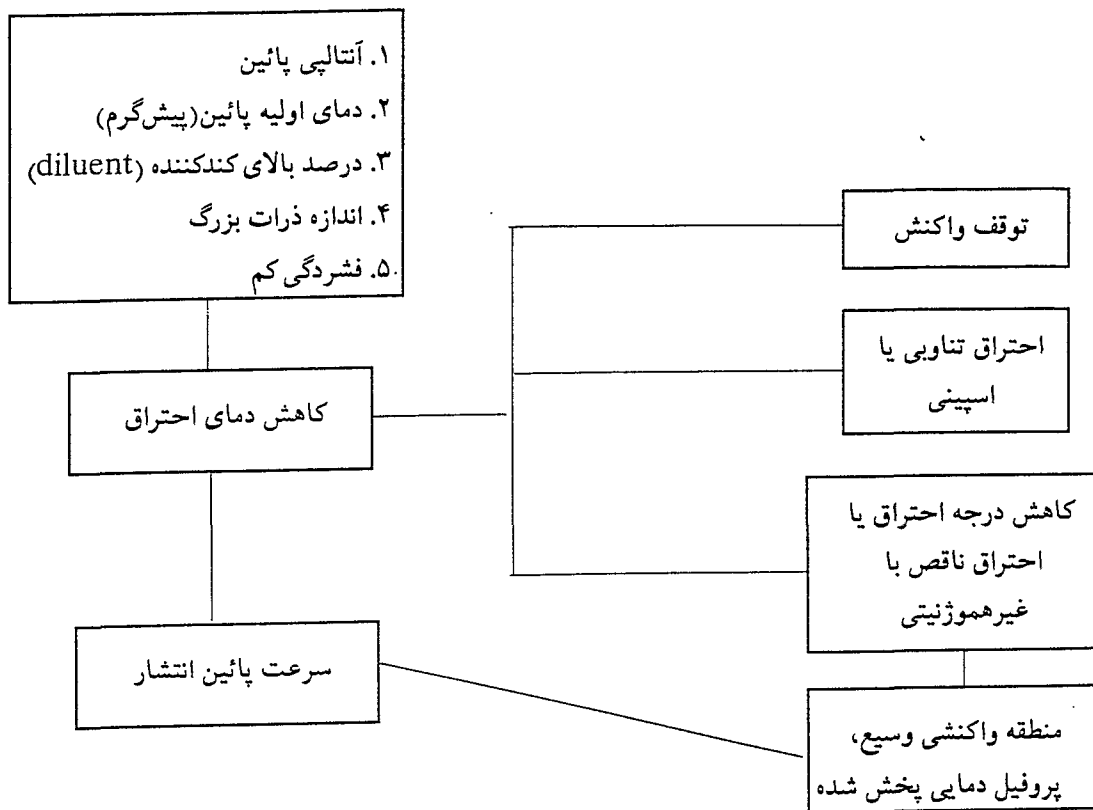


شکل (۲-۱۶)- شماتیکی از مکانیزم انتشار خودپیشو و با زمینه مثبت (سرعت گرمایش به قدر کافی بالا است) [۸].

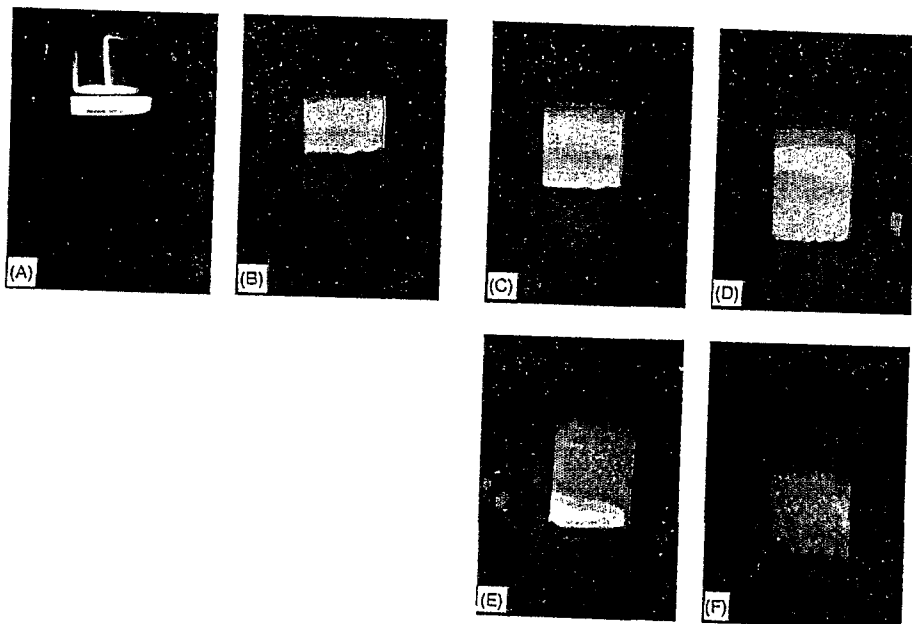
جدول (۲-۴) - تاثیر اندازه ذرات پودرهای Si و Mo بر شروع و انتشار خودبخودی مخلوط  $Mo + 2Si$  [۶]

متوجه اندازه ذرات ( $\mu m$ )		مشاهدات تجربی بر انتشار موج احتراق
Mo	Si	
۵/۷	۱۲/۶	موج احتراق بطور خودبخودی ادامه می‌یابد
	۴۳/۵	موج احتراق به اندازه $2-4 \text{ mm}^3$ منتشر شده سپس خاموش می‌شود
	۷۹/۱ *	واکنش به سختی شروع می‌شود، موج احتراق به سرعت بعد از افزایش خاموش می‌شود
۱۳/۳	۱۲/۶	موج احتراق بطور خودبخودی ادامه می‌یابد
	۴۳/۵ *	موج احتراق به اندازه $2-4 \text{ mm}^3$ منتشر شده سپس خاموش می‌شود
	۷۹/۱ *	واکنش به سختی شروع می‌شود، موج احتراق به سرعت بعد از افزایش خاموش می‌شود
۱۸/۶	۱۲/۶ *	موج احتراق بطور خودبخودی ادامه می‌یابد
	۴۳/۵	خاموش شدن درست بعد از حرکت موج
	۷۹/۱ *	خاموش شدن درست بعد از حرکت موج

\* با ادامه اعمال حرارت تابشی توسط سیم پیچ افزایش نمونه پرس شده، طول انتشار افزایش نمی‌یابد.



شکل (۲)-۱۷- تأثیر پارامترهای مختلف روی واکنشهای جامد - مایع [۸].



شکل (۱۸-۲) - تصویر انتشار موج در نمونه در حال سنتز با مد تعادلی [۳]

## فصل سوم

### فعالیتهای تجربی

#### ۱-۳ - مقدمه

نظریه که سنتز  $\text{MoSi}_2$  به روش SHS نیاز به ایجاد شرایط خاصی داشت لذا در ابتدا می‌بایست راکتور احتراقی با ویژگیهای لازم آماده می‌شد، با عبور از این مرحله بخش اصلی اجرای پروژه آغاز شد. در این فصل، گزیندهای از این فعالیتها ارائه می‌شود.

#### ۲-۳ - طراحی و آماده‌سازی راکتور احتراق

جهت عملیات سنتز، راکتور احتراقی با قابلیت‌های زیر می‌بایست طراحی و آماده می‌شد :

الف - کنترل اتمسفر (در دو حالت خلاء و خنثی)

ب - پیش گرمایش نمونه

ج - افزایش

د - ثبت دمای افزایش و احتراق و از آنجا محاسبه سرعت احتراق

ه - روئیت نمونه در حال سنتز و توانایی تصویربرداری از آن

با توجه به امکانات پژوهشگاه و فرصت موجود راکتوری با تجهیزات زیر آماده شد.

۱-۲-۳- سیستم کنترل اتمسفر

الف - سیستم خلاء شامل :

۱- پمپ خلاء با مشخصات :

Rotary Vacuum Pump

: مدل E<sub>2</sub>M<sub>5</sub>

با قدرت خلاء  $2/5 \times 10^{-4}$  mbar

۲- گیج خلاء با مشخصات :

Active Pirani Gauge

: مدل D02171000

با محدوده حساسیت  $(5 \times 10^{-3} - 10)$  mbar

۳- صفحه نمایشگر میزان خلاء با مشخصات :

Active Gauge Controller

AGC-Single Disp NO. RS232, 3Head D386-55-000 مدل

پمپ، گیج و صفحه نمایشگر خلاء ساخت شرکت انگلیسی

Edwards High vacuum International

۴- لوله‌ها، شیرها و اتصالات مخصوص خلاء که ارتباط بین محفظه احتراق و سیستم خلاء را برقرار می‌ساختند.

ب - سیستم گاز آرگن، شامل :

۱- کپسول گاز آرگن ۵۰ لیتری

۲- شیر فشارشکن با مارک :

با خروجی حداقل 2mbar

۳- گیج فشار با مارک :

با حساسیت در محدوده (100kpa, 200kpa) فشار.

شیر فشارشکن و گیج فشار محصول کشور آمریکا

۴- لوله‌ها و شیرهای اتصال دهنده محفظه به سیلندر گاز آرگن سیستم کترل اتمسفر می‌بایست در حالت خلاء تا فشار حداقل  $10^{-2} \text{ torr}$  و در حالت خنثی تا فشار حدود ۱ bar را فراهم سازد.

#### ۲-۲-۳- سیستم پیش‌گرمایش (Preheating)

شامل بخش‌های:

- ۱- جریان الکتریکی تک فاز، ۲۲۰V.
- ۲- ترانسفورماتور کاهنده با خروجی ۵۰A و ۲۰V.
- ۳- Variac با خروجی حداکثر ۱۰A، مدل 3594 Osk ساخت کشور ژاپن.
- ۴- سیم پیچ حلقوی تنگستن.
- ۵- ترمینالها و سیم‌های رابط.

#### ۳-۲-۳- سیستم افروزش (Ignition)

شامل بخش‌های:

- ۱- جریان الکتریکی تک فاز ۲۲۰V.
- ۲- ترانسفورماتور کاهنده با خروجی ۲۰۰A و ۶V.
- ۳- Variac با خروجی حداکثر ۴A مدل TDGC ساخت کشور چین.
- ۴- فیلامان تنگستن.
- ۵- ترمینالها و سیم‌های رابط با توانایی حرکت به سمت بالا و پائین جهت تنظیم فاصله فیلامان با سطح بالای نمونه.

### ۴-۲-۳- سیستم ثبت دما و سرعت احتراق

شامل بخش‌های:

- ۱- ترموموکوپل‌های  $Pt/Pt-Rd13\%$  به ضخامت  $0.3mm$
- ۲- Recorder جهت ثبت نمودار دما - زمان، مجهز به دو قلم  $\frac{mm}{min}$  با قابلیت‌های: - سرعت حرکت کاغذ در محدوده  $(0-500)^\circ C$  - با حساسیت  $0.5mV - 100^\circ C$
- ۳- میلیولتمتر دیجیتالی جهت کالیبره کردن Recorder با مارک Fluke و مدل 8010A
- ۴- Meter ترموموکوپل جهت انتخاب دقیق دمای پیشگرمايش با مدل 204 CRL و با حساسیت  $(0-1399)^\circ C$ .
- ۵- ترمینال مخصوص با ۴ اتصال که توانایی نصب ترموموکوپل و ارتباط آنها با Recorder (خارج از محفظه احتراق) را دارا بود. در انتهای این مبحث تصویر کلی از راکتور احتراق ارائه می‌شود.

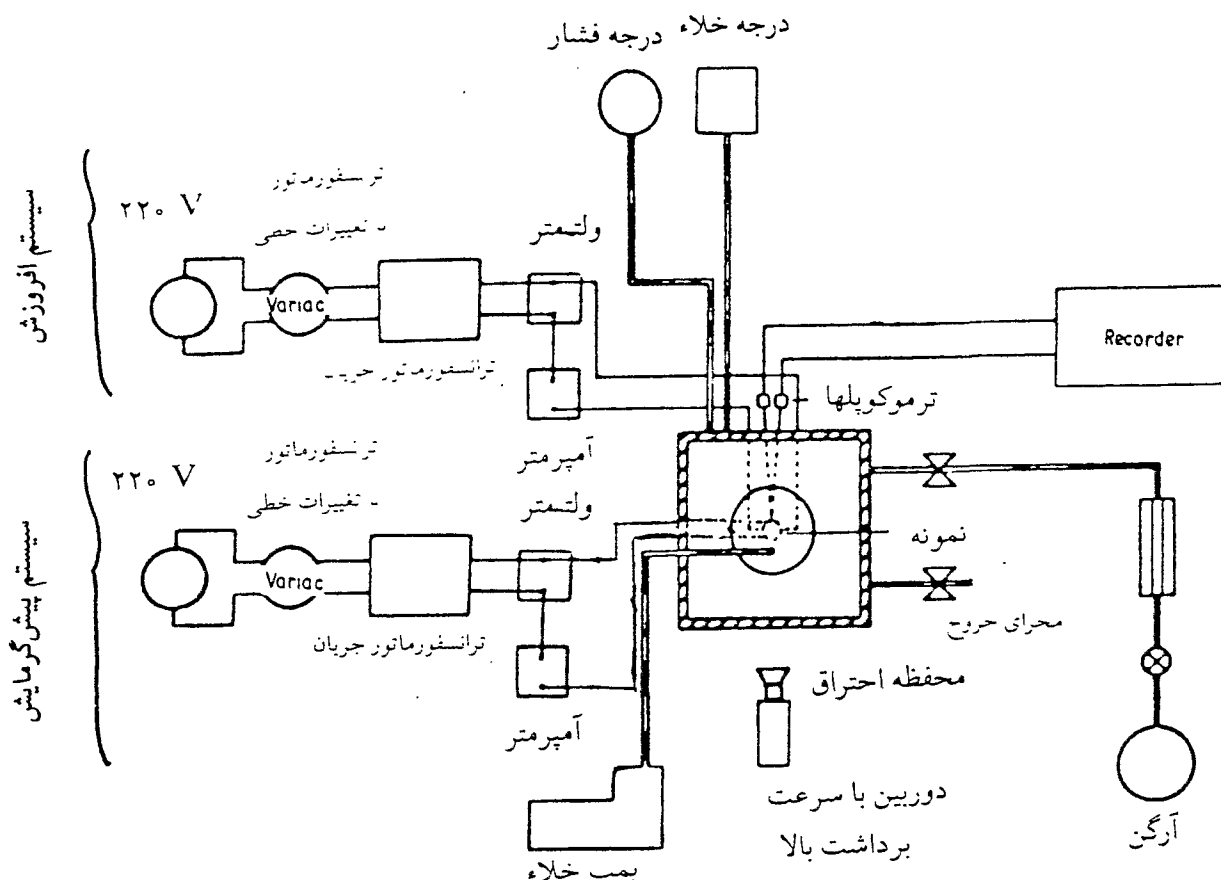
### ۵-۲-۳- محفظه احتراق

- جدارهای شیشه جهت روئیت نمونه در هنگام سنجش
  - ترمینالهای سیم پیچ افزونش که از سقف (آلومینیمی) محفظه وارد می‌شوند.
  - ترمینالهای سیم پیچ پیشگرمايش و ترموموکوپلها که از کف (برنجی) محفظه داخل می‌شوند
- ابزارآلات جانبی نیز شامل:

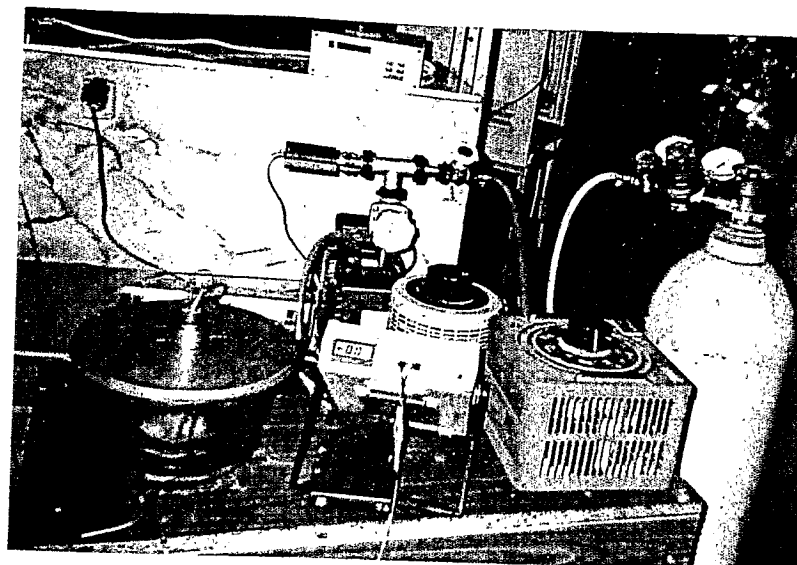
- پمپ، گیج Meter خلاء، اتصالات، شیرها و لوله‌های ارتباطی.
- Meter Recorder ترموموکوپل، میلیولتمتر و سیم‌های ارتباطی مخصوص آن.
- کپسول گاز آرگن و گیج فشار، اتصالات، شیرها و لوله‌های ارتباطی.

شکل (۱-۳) شمای کلی راکتور احتراق و شکل (۲-۳) تصویر راکتور آماده شده برای این پروژه را به

نمایش می‌گذارند.



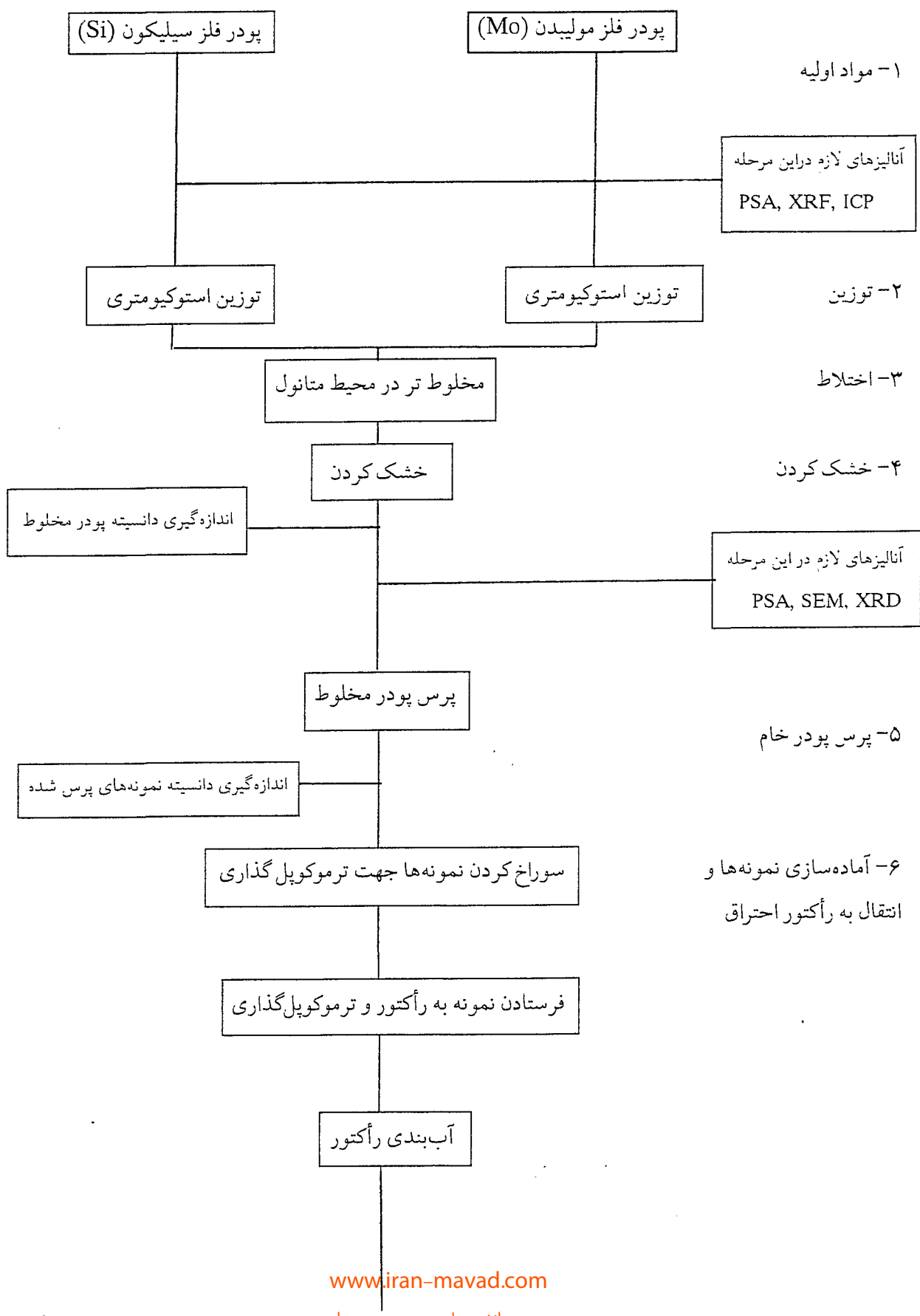
شکل (۱-۳) - نمای کلی از راکتور احتراق

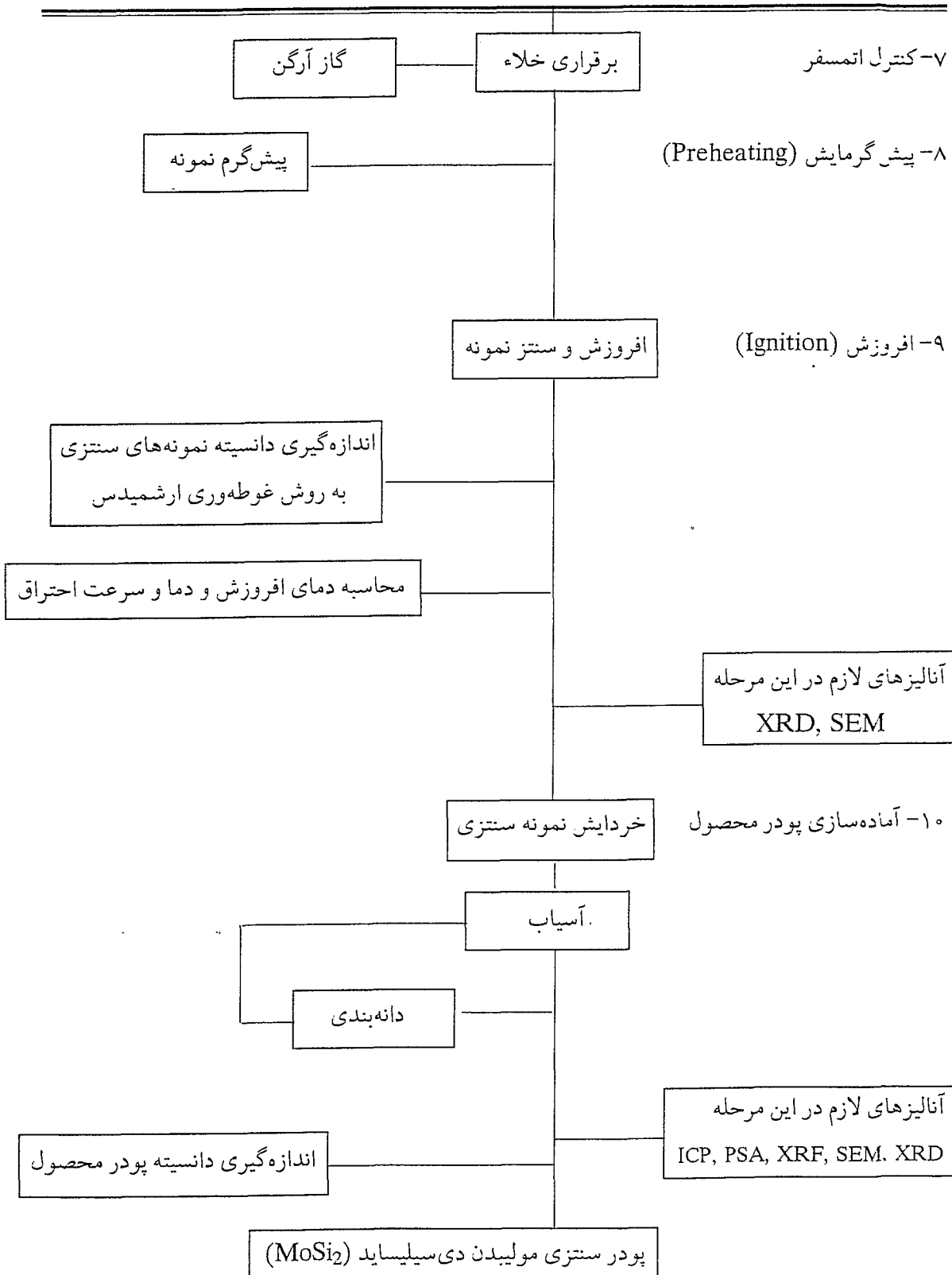


شکل (۲-۳) - تصویر راکتور مورد استفاده در این پروژه

## ۳-۳- شرح فرآیند

عملیات انجام شده به صورت فلوچارت زیر (شکل ۳-۳) قابل آرایش است.





شکل (۳-۳) - فلوچارت عملیات سنتز

## ۱-۳-۳ - مواد اولیه مصرفی

الف - پودر فلز مولیبدن با خلوص ۹۹/۷٪ تهیه شده از شرکت شیمیایی Riedel آلمان در بسته های ۱۰۰ گرمی.

ب - پودر فلز سیلیکون با خلوص <۹۹٪ تهیه شده از شرکت شیمیایی Merck آلمان در بسته های ۲۵۰ گرمی.

این پودرهای تحت آنالیز توزیع اندازه ذرات (PSA) قرار گرفتند. در این آنالیز از دستگاه Fritsch Analysettezz Laser Particle Sizer Analyser به مدل ARL 840 Sequential XRF با دستگاه مدل ۳۴۱۰ ICP Applied Research laboratories بود که با دستگاه به مدل ۳۷۱۶ Satorius توزین اس توکیومتری مواد اولیه انجام شد.

## ۲-۳-۳ - توزین استوکیومتری مواد اولیه

با توجه به فرمول شیمیایی  $\text{MoSi}_2$  و جرم اتمی عناصر که عبارتند از:

$$\text{Si} = 28/09$$

درصد وزنی این دو عنصر در ترکیب مولیبدن دی سیلیساید چنین

$$\text{Mo} = 63/07\%$$

$$\text{Si} = 36/93\%$$

بدست آمد.

توزین پودرهای مواد اولیه توسط ترازوی یک کفه ای دیجیتالی به مدل ۳۷۱۶ Satorius ساخت آلمان با دقیقیت ۰/۱ g انجام می شد.

معمولًا "بچهای تهیه شده محدود به مقادیر ۲۵، ۵۰ و ۱۰۰ گرم بود.

**۳-۳-۳- مخلوط کردن**

عملیات اختلاط دو پودر با توجه به اینکه ذرات پودرهای واکنش دهنده بایستی حتی الامکان در کنار هم قرار گیرند تا واکنش کاملی حاصل شود، از اهمیت قابل توجهی برخوردار بود.

مخلوط کردن دو پودر در محیط آلی (متانول) توسط همزن مغناطیسی (magnetic stirrer) مجهز به هیتر به مدت ۲ ساعت انجام می شد.

همزن مورد استفاده ساخت شرکت Jencos Scientific با توان ۴۵۰ وات.

**۴-۳-۳- خشک کردن**

بعد از اختلاط کامل دو پودر در محیط آلی، می بایست حلال آبی دوغاب حاصله تبخیر شده و پودر خشک بدست می آمد. ولیکن بدلیل اختلاف اندازه و دانسیته ذرات دو پودر (پودر مولیبدن دارای دانسیته حدوداً  $10/22\text{g/cm}^3$  و پودر سیلیکون با دانسیته  $2/33\text{g/cm}^3$ ) اگر دوغاب به حال خود رها می شد تا خشک شود جدایش بین ذرات پودرها اتفاق می افتد. لذا برای جلوگیری از این امر دوغاب در حال اختلاط را توسط هیتر همزن گرم کرده تا متانول تبخیر شود.

سپس برای تبخیر کامل حلال، مخلوط به مدت ۲ ساعت در خشک کن خلاء و در نهایت در هوا خنک می شد.

از خشک کن خلاء (Vacuum Oven) با مارک Gallenham و ساخت انگلیس استفاده می شد. گرانولهای سست بوجود آمده در هاون عقیق کاملاً نرم می شد و پودری یکنواخت بدست می آمد. در این مرحله طبق دستورالعمل (1991) ASTM D2320-87 دستورالعمل پیکنومتر دانسیته پودر مخلوط محاسبه می شد.

سپس پودر مخلوط با آنالیزهای XRD, SEM, PSA بررسی می شد. از میکروسکوپ الکترونی SEM با مدل Stereo Scan 360-Leica Cambridge و دستگاه XRD با مدل Philips PW 3710 Cuka 40KV ولتاژ شتاب دهنده 40KV با شدت میدان 30mA باشد.

استفاده می شد.

### ۳-۵-۱- پرس پودر مخلوط

در حدود ۵gtr از پودر توزین شده و در قالب فولادی با مشخصات زیر ریخته می شد.

- قطر داخلی قالب  $12/2 \text{ mm}$

- قطر خارجی قالب  $40 \text{ mm}$

- ارتفاع قالب  $45/4 \text{ mm}$

قالب توسط پرس هیدرولیک تک محور با مشخصات زیر تحت فشار قرار می گرفت. پرس مورد استفاده با

مارک **CARLZEISS JEN** با توانایی اعمال  $40 \text{ ton}$  نیرو ساخت آلمان شرقی سابق بود.

جهت توزیع یکنواخت فشار در طول نمونه های (استوانه ای شکل) پرس شده، قالب در ماکریم فشار اعمالی به مدت ۲ دقیقه نگهداشته می شد. نمونه های بدست آمده استوانه هایی به قطر  $12/3 \text{ mm}$  و بسته به فشار اعمالی ارتفاعی حدود  $13-16 \text{ mm}$  را دارا بودند.

فشار پرس اعمالی بین  $45-90 \text{ MPa}$  متغیر بود.

در این مرحله دانسیته خام بدنه (نمونه ها) محاسبه می شد. برای این منظور ابتدا نمونه ها توسط ترازوی دیجیتال توزین شده و سپس ابعاد نمونه ها توسط کولیس بدست می آمد.

$$d_g = \frac{W}{(\pi D^2/4) \cdot H} \quad (1-3)$$

دانسیته نمونه ها از فرمول زیر قابل محاسبه بود.

که در آن  $W$  وزن،  $D$  قطر و  $H$  ارتفاع نمونه پرس شده می باشد.

### ۳-۶-۱- آماده سازی نمونه ها جهت فرستادن به رأکتور احتراق

این بخش شامل ایجاد شیار بر سطح بالای نمونه و سوراخ کردن بدنه نمونه ها (دو سوراخ با فاصله از هم) مشخص از هم جهت ترموکوپل گذاری، قراردادن نمونه ها در محفظه احتراق روی پایه (از جنس  $\text{MoSi}_2$ ) و بالاخره قراردادن نوک اتصال ترموکوپلهای در محلهای تعییه شده بود. سپس سیستم بسته و آب بندی می شد.

مرکز اطلاعات مارک سمنی بر  
تمیز مارک

**۷-۳-۳-کنترل اتمسفر**

**الف - برقراری خلاء:** با روشن شدن پمپ خلاء و بازکردن شیرارتباطی آن با محفظه عملیات خلاء آغاز شده و تارسیدن به فشار حداقل  $10^{-2}$  torr ادامه پیدا می‌کرد.

در صورتیکه محیط آرگن انتخاب می‌شد مرحله زیر نیز باید اضافه می‌شد.

**ب - برقراری اتمسفر خنثی (آرگن):** ابتدا با اعمال گاز آرگن در حالیکه سیستم تحت خلاء بود محفظه شستشو داده می‌شد و سپس دریچه خلاء را بسته و محفظه از گاز آرگن تا حدود ۱ bar پر می‌شد.

**۸-۳-۳-پیش گرمایش (Preheating)**

توسط سیم پیچ تنگستن حلقوی که حول نمونه پیچیده شده بود نمونه پیش گرم می‌شد. بدین صورت که ولتاژ Variac متصل به این سیم پیچ بر حسب دمای لازم که از روی meter ترموموکوپل خوانده می‌شد قابل تنظیم بود.

**۹-۳-۳-افروزش (Ignition) و سنتز نمونه**

فیلامان تنگستنی مخصوصی که از بالا به فاصله ۱-۲mm سطح بالایی نمونه قرار می‌گرفت عهده‌دار این امر بود. با عبور جریان الکتریکی از این فیلامان و تشعشع حرارت به سطح نمونه انرژی لازم جهت واکنش لاقل به یک نقطه از نمونه می‌رسید، و واکنش احتراقی شروع می‌شد. تنها در مدت چند ثانیه موج احتراق واکنش، کل نمونه را فراگرفته و محصول بدست می‌آمد.

تارسیدن دمای نمونه به دمای اطاق صبر کرده و بالاخره محفظه باز می‌شد. در این مرحله دانسیته نمونه‌ها اندازه‌گیری می‌شد با توجه به اینکه تقریباً تمامی نمونه‌ها تغییر فرم پیدا کرده بودند. لذا برای اندازه‌گیری دانسیته می‌بایست از روش محاسبه چگالی غوطه‌وری ارشمیدس طبق دستورالعمل ASTM C20-87(1997) استفاده می‌شد.

با توجه به منحنیهایی که رکوردر (Recorder) ارائه می‌داد دمای افروزش و دما و سرعت احتراق واکنش

برای هر نمونه قابل محاسبه بود.

محور عمودی این منحنیها درصد ولتاژ ترمومالکتریکی گسیل شده از ترموموکوپلهای نسبت مقیاس انتخابی ولتاژ (mv) از روی Recorder و محور افقی نشانگر زمان عبور موج احتراق از ترموموکوپلهای بود. مسئله بعدی کالیبره کردن محورها بر حسب دما بود. میلی ولت ارائه شده در محور عمودی توسط جداول مخصوصی (مثلاً LPTS 1968) به درجه سانتیگراد تبدیل می شد. محاسبه دما و زمان افروزش نمونه‌ها وابسته به تعیین مکان نقطه تغییر شیب منحنی افروزش است، (شکل (۲۱-۴)) لذا برای محاسبه ماکریم دمای احتراق کافی بود دمایی که قله پیک هر منحنی نشان می داد ثبت می شد. سرعت احتراق نیز از اختلاف زمانی بین دو پیک منحنی‌های احتراق و فاصله‌ای که دو ترموموکوپل با هم روی نمونه داشتند محاسبه می شد (بر حسب mm/s).

آنالیزهای انجام شده در این مرحله روی محصول شامل XRD و SEM بود.

### ۳-۳-۱۰- آماده سازی پودر محصول

این مرحله شامل خردایش و آسیاب نمونه‌ها و دانه‌بندی پودر محصول می شد. با توجه به اینکه نمونه‌ها کاملاً متخلخل (حتی بعضی نمونه‌ها تا ۷۰٪ تخلخل داشتند) و ترد بودند لذا عملیات خردایش و آسیاب با سرعت و نتیجه مطلوب پیگیری می شد.

سپس دانسیته پودر محصول توسط پیکنومتر اندازه‌گیری می شد. آنالیزهای انجام شده روی پودر بدست ICP, PSA, XRF, SEM, XRD آمده شامل :

بود.

## فصل چهارم

### بحث و نتایج

۱-۴ - مقدمه

عوامل موثر بر خواص محصول را می‌توان به ۳ بخش عمده تقسیم کرد.

۲-۴ - پارامترهای پیش از احتراق

۲-۲-۴ - آماده سازی پودر مخلوط

۲-۳-۴ - پرس پودر مخلوط

۴-۲-۴ - پیش گرمایش (Preheating)

۳-۴ - پارامترهای در حین احتراق

۳-۲-۴ - افروزش (Ignition)

۳-۳-۴ - مکانیزم واکنش

۳-۱-۴ - خردایش، آسیاب و دانه‌بندی

۴-۴ - پارامترهای پس از احتراق

در ادامه فصل خواص و ویژگیهایی از فرآیند ستز و محصول که مورد مطالعه قرار گرفت به ترتیب زیر بیان

می شود.

۴-۵- محاسبه پارامترهای شبکه، حجم سلول واحد، دانسیته تئوریک و دانسیته پودر

۴-۶- خلوص

۴-۷- محاسبه انرژی اکتیواسیون ( $E$ ) واکنش

۴-۸- شکل نهایی محصول سنتزی

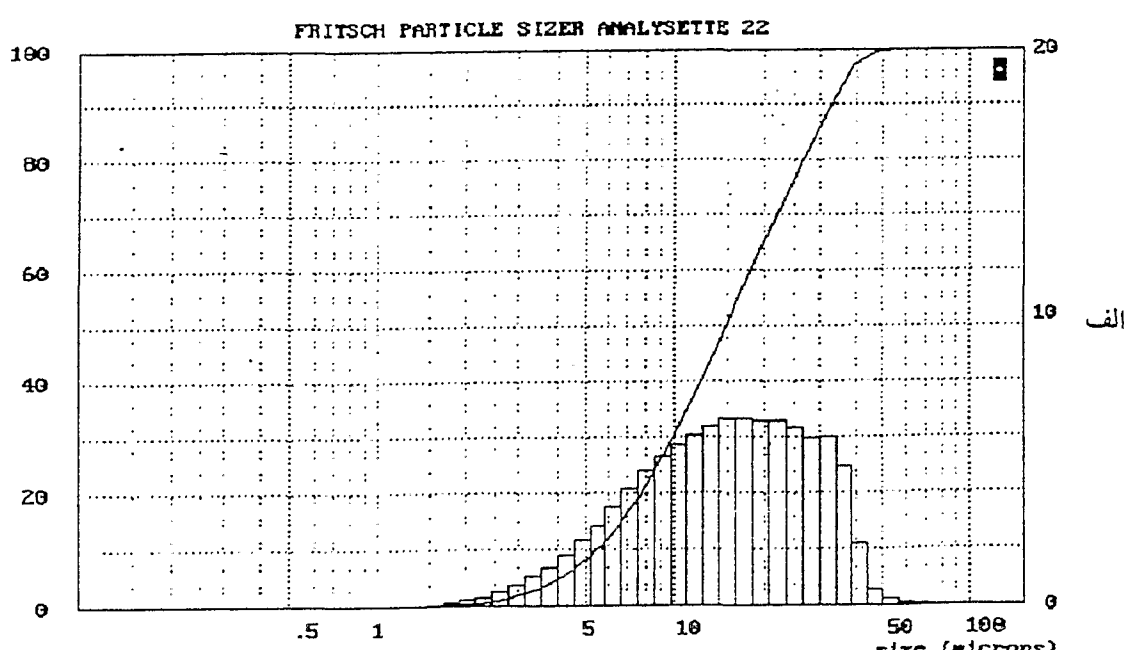
۴-۲- بحث و بررسی پارامترهای پیش از احتراق

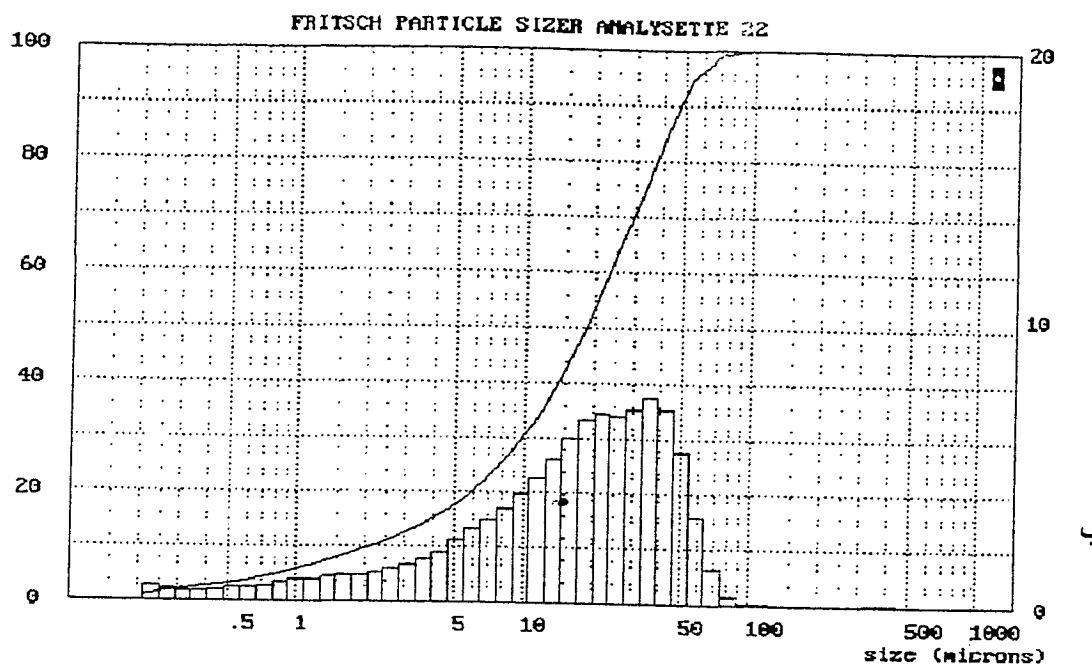
۴-۱-۲- بررسی مواد اولیه

۴-۱-۱- توزیع اندازه ذرات - همانطور که در منابع اشاره شده (جدول (۴-۲)) در محدوده خاصی از اندازه ذرات واکنش بسادگی شروع شده و بطور خودبخودی انتشار می یابد، برای اطمینان از این مساله مواد اولیه تحت آنالیز PSA قرار گرفتند.

نتایج حاصل از این آنالیز در شکل (۴-۲) الف و ب درج شده.

با مقایسه این منحنیها و جدول (۴-۲) متوسط اندازه ذرات پودرهای مواد اولیه ( $\text{Si}_3\text{Mo}$ ) در محدوده ای بودند که از نظر شروع و انتشار واکنش مشکلی نداشتند.



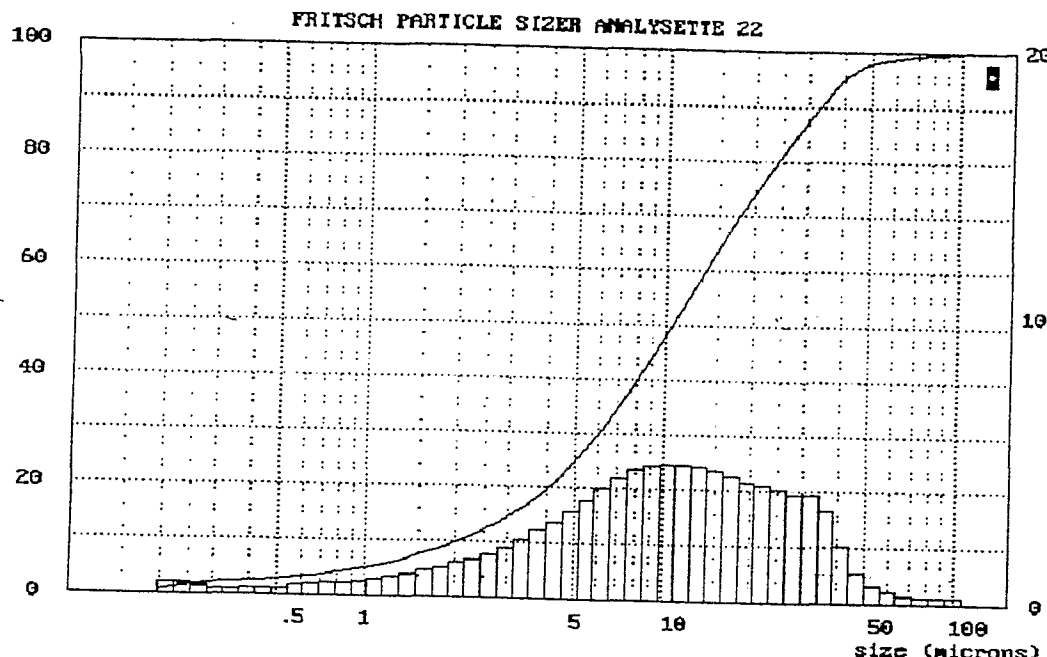


شکل (۱-۴) الف و ب - بترتیب توزیع اندازه ذرات پودر فلز Mo و Si

۴-۲-۱-۲-۴ - آنالیز شیمیایی برای اطمینان از درصد عناصر اصلی مواد اولیه (Major) آنالیز XRF پیش‌بینی شد. سپس با آنالیز ICP عناصر فرعی و Trace تعیین شدند که در جدول (۷-۴) نتایج حاصله مندرج است.

#### (Mo+2Si)-پودر مخلوط

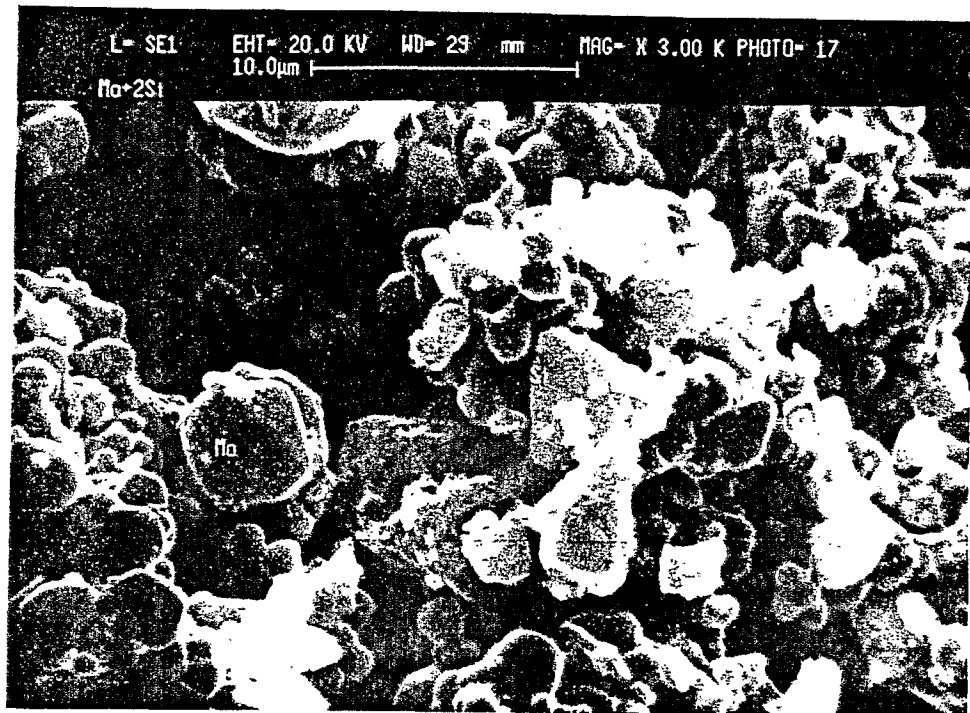
۴-۲-۱-۲-۴ - توزیع اندازه ذرات - نظر به اینکه این پودر می‌باشد پرس می‌شد، لذا توزیع یکنواخت اندازه ذرات (نرمال بودن منحنی) با اهمیت بود. شکل (۲-۴) نتایج آنالیز PSA پودر مخلوط را نشان می‌دهد.



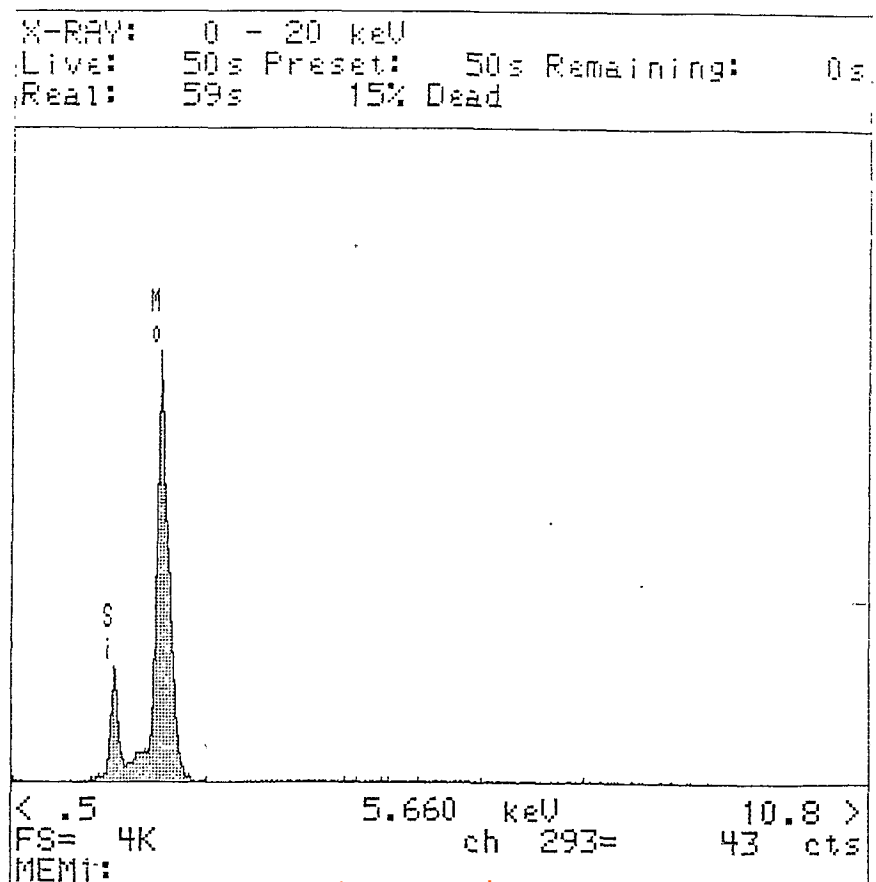
شکل (۴-۲) - توزیع اندازه ذرات پودر مخلوط  $(Mo+2Si)$

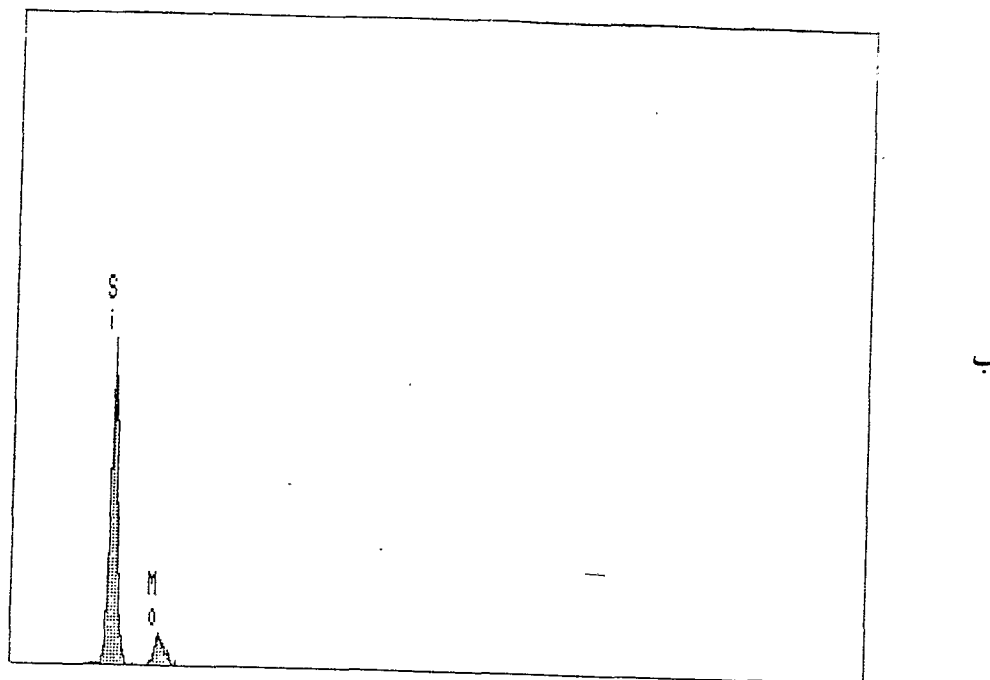
۴-۲-۲-۲-۲- آنالیز ریز ساختاری - با مشاهده ریز ساختار پودر مخلوط به نحوه اختلاط دو پودر غیر هم‌جنگ، چگونگی قرار گرفتن ذرات دو پودر نسبت به هم، شکل ظاهری ذرات دو پودر و بالاخره اندازه ذرات اجزاء پودر می‌توان پی برد.

شکل (۳-۴) - تصویر میکروگراف تهیه شده توسط SEM از پودر مخلوط را نشان می‌دهد. همانطور که در این شکل دیده می‌شود و آنالیز EDS چنین مدعایی را ثابت می‌کند (شکل (۴-۴)) مورفولوژی ذرات Mo کروی و نسبت به Si ریزدانه‌تر است. ذرات Si نیز به صورت دانه‌های گوشیدار و چند وجهی نمود کرده‌اند.



شکل (۳-۴) تصویر SEM تهیه شده از پودر مخلوط



شکل (۴-۴) - الف - آنالیز EDS دانه با علامت  $Mg$ ب - آنالیز EDS دانه یا علامت  $Si$ 

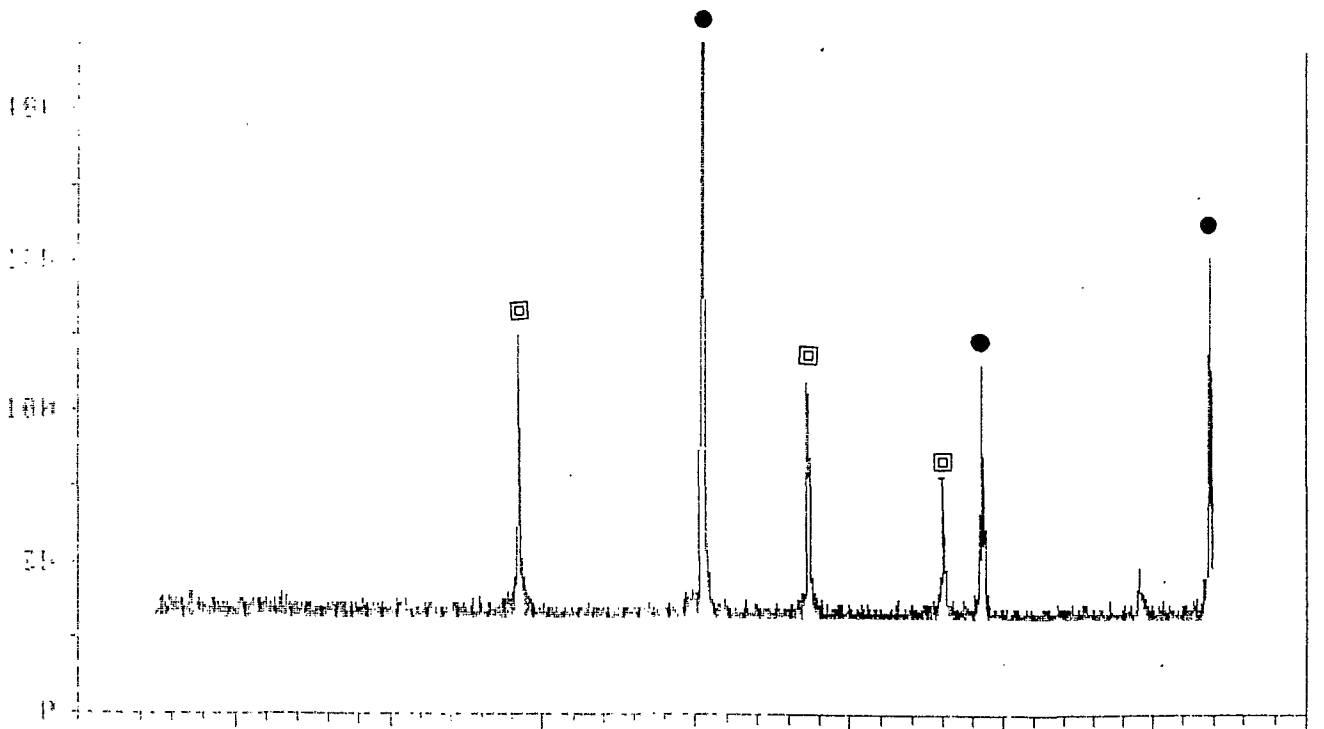
۴-۲-۳-۲-۳- اندازه‌گیری دانسیته پودر مخلوط - توسط پیکنومتر دانسیته پودر مخلوط محاسبه شد و رقم  $4/52 \text{ gr/cm}^3$  که قابل مقایسه با رقم دانسیته تنوریک پودر مخلوط ( $4/54 \text{ gr/cm}^3$ ) می‌باشد بدست آمد.

#### ۴-۲-۳- بررسی پرس پودر مخلوط

- طبق مطالعات و آزمایشات انجام شده فشردگی پودر مخلوط برای سهولت شروع و انتشار واکنش لازم است. برای اثبات این مدعای ابتدا مخلوط به صورت پودری شکل تحت سنتز قرار گرفت. و لیکن مشاهده شد که شروع واکنش بسیار زمانبر است و بعلاوه موج احتراق سریعاً "بعد از شروع متوقف می‌شود. در نتیجه لایه‌های تحتانی و جانبی پودر سنتز نمی‌شوند. علت این مساله را می‌توان در عدم نزدیکی و اتصال کافی ذرات

واکنشگر در مخلوط و اتلاف حرارت به محیط و جانمودهای جستجو کرد. نمونه‌ها در رنج فشاری  $45-450\text{ MPa}$  پرس شدند. انتخاب فشار کمتر از  $45\text{ MPa}$  نمونه‌های با استحکام بسیار کم و مشکل‌ساز برای مرحله ترموکوپل‌گذاری و اعمال فشار بالاتر از  $450\text{ MPa}$  نیز علاوه بر مشکلات تکنیکی پرس و قالب منجر به نمونه‌های سنتزی با دانسیته بالا می‌شد که خردایش و آسیاب این نمونه‌ها بسادگی صورت نمی‌گرفت. البته آزمایشات اولیه با فشارهای بالاتر، حتی تا  $900\text{ MPa}$  انجام شد، منتهی چون در فشارهای بالا ( $>450\text{ MPa}$ ) پارامترهای مورد اندازه‌گیری تغییرات غیر عادی از خود نشان نمی‌دادند به همان محدوده فشاری اشاره شده برای مرحله اصلی پروژه بسته شد.

۱-۳-۲-۴- آنالیز فازی نمونه خام - بررسی فازی نمونه خام توسط الگوی پراش اشعه X (XRD) انجام و نتیجه این آنالیز در شکل (۵-۴) به تصویر کشیده شده است. مطابق این شکل در محدوده  $2\theta = 6^{\circ} \text{--} 80^{\circ}$  اعلام شده پیک دیده می‌شود که ۳ پیک مربوط به Mo و ۳ پیک دیگر مربوط به Si است. جدول (۴-۱) موقعیت دقیق ( $2\theta$ )، فاصله صفحات ( $d$ ) و شدت پیکها را به نمایش می‌گذارد.



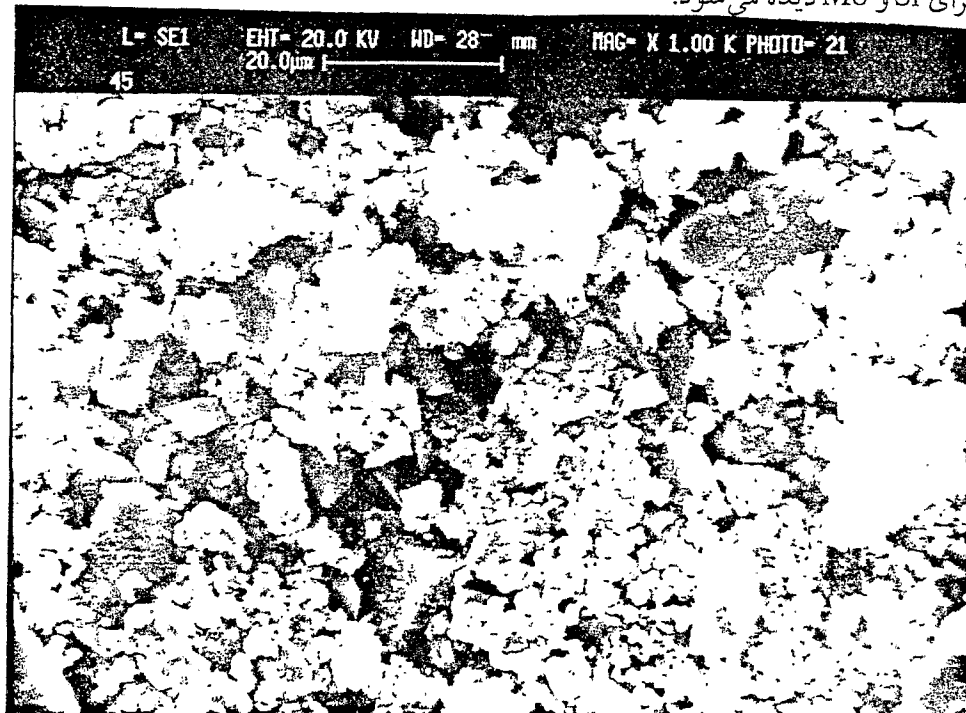
شکل (۵-۴) - الگوی پراش اشعه X از نمونه خام

جدول (۱-۴) - اطلاعات عددی حاصل از شکل (۵-۴)

فاز	I/I <sub>0</sub>	d	2θ	شماره پیکها
Si	۴۰	۳/۱۳۷	۲۸/۴۳	۱
Mo	۱۰۰	۲/۲۲۴	۴۰/۵۳	۲
Si	۳۴	۱/۹۲۰	۴۷/۳۰	۳
Si	۲۱	۱/۶۳۳	۵۶/۲۹	۴
Mo	۳۷	۱/۵۷۲	۵۸/۶۸	۵
Mo	۵۱	۱/۲۸۳	۷۳/۷۹	۶

۴-۲-۳-۲-۳- ریز ساختار نمونه خام شکل (۶-۴) ریز ساختار نمونه پرس شده را نشان می دهد. در این شکل

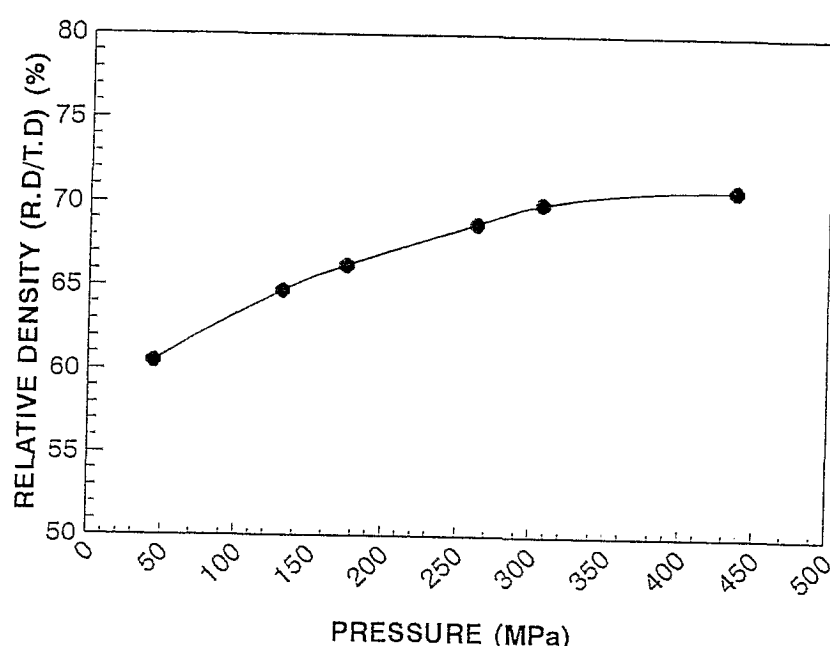
ذرات مجازی Si و Mo دیده می شود.



شکل (۶-۴) - تصویر SEM از نمونه خام پرس شده (با دانسیته نسبی (R.D.) = ۰.۷۱)

۴-۲-۳-۳- تاثیر فشار پرس بر دانسیته نمونه خام - در محدوده  $45-450 \text{ MPa}$  تقریباً "بطور خطی با افزایش

فشار پرس دانسیته (نسبی) نمونه خام افزایش پیدا می کند (شکل ۷-۴)



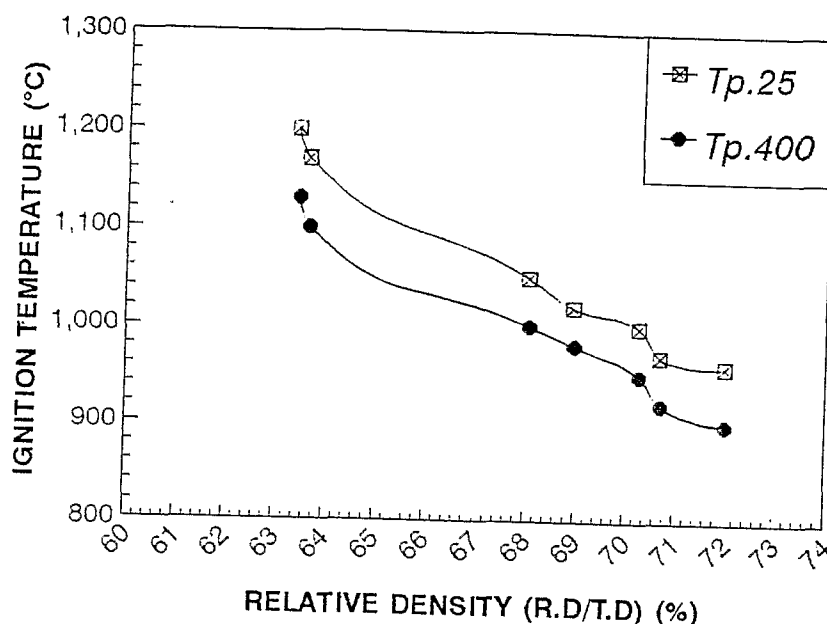
شکل (۷-۴) - تاثیر فشار پرس بر دانسیته نمونه های خام

۴-۲-۳-۴- تاثیر فشار پرس بر دمای افروزش (Ignition) - مطابق شکل (۸-۴) با افزایش فشار پرس

(دانسیته نسبی نمونه خام) دمای افروزش نمونه کاهش می باید. علت این امر را می توان اینطور بیان کرد که

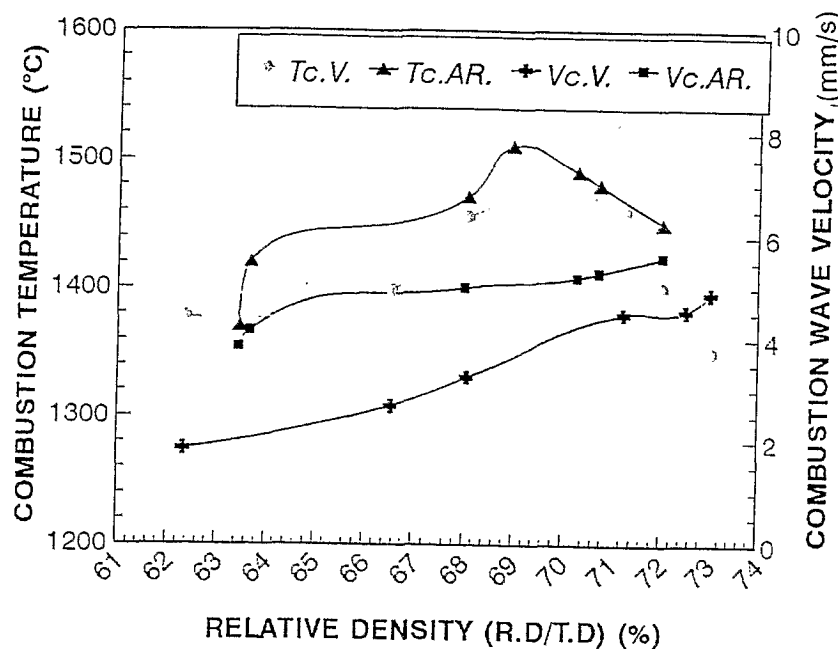
افزایش فشار پرس مساوی با نزدیکی و اتصال بیشتر بین دانه ها است، در نتیجه با سهولت بیشتر و در دمای

پائین تر نمونه محترق می شود.

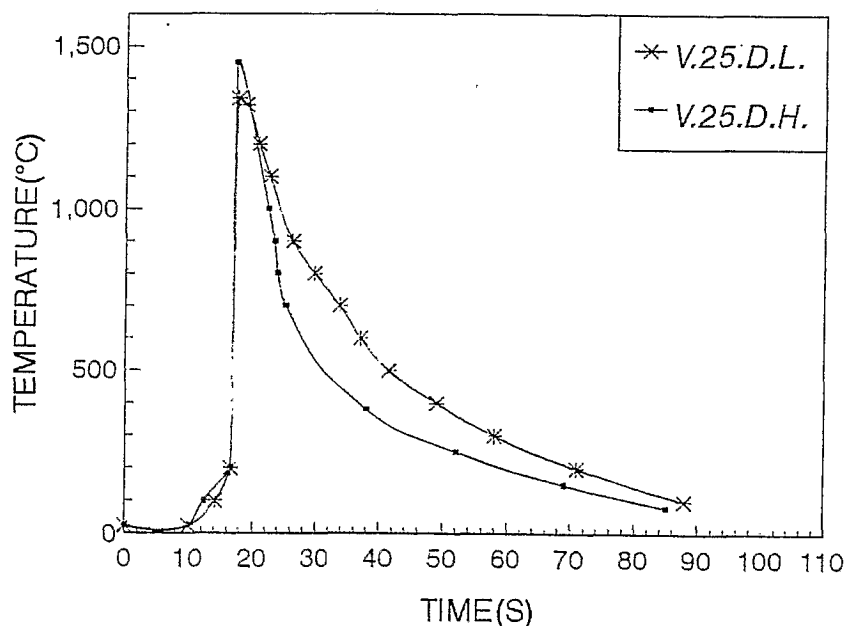


شکل (۸-۴) - تاثیر فشار پرس ( دانسیته نسبی خام نمونه ) بر دمای افروزش (Ignition) (با دماهای پیش گرمایش مختلف

۴-۳-۵-۵- تاثیر فشار پرس بر دمای احتراق - با افزایش فشار پرس ( دانسیته خام نمونه ) دمای احتراق نمونه‌ها افزایش پیدا می‌کند و لیکن بعد از طی یک ماکریسم، افزایش فشار پرس موجب کاهش دمای احتراق نمونه‌ها خواهد شد. شکل (۹-۴) معرف این واقعیت است. کاهش دمای احتراق در فشارهای پائین (پرس) را می‌توان به دلیل عدم تماس ذرات واکنش دهنده، و افت مجدد آن در فشارهای بالا را به سبب ازدیاد هدایت حرارتی و جریان گرمایی در صفحه واکنش و نهایتاً اتلاف حرارت از منطقه واکنش داشت. برای جمع‌بندی مباحث آخر منحنی‌های احتراق برای دو نمونه با فشارهای پرس مختلف ارائه می‌شود (شکل (۱۰-۴)).



شکل (۹-۴) - تاثیر فشار پرس ( دانسیته خام نمونه ) بر دما و سرعت احتراق در اتمسفر آرگن و خلاء



شکل (۱۰-۴) - تاثیر فشار پرس بر منحنی احتراق نمونه ها

= نمونه با فشار پرس  $45 \text{ MPa}$  سنتزی در خلاء

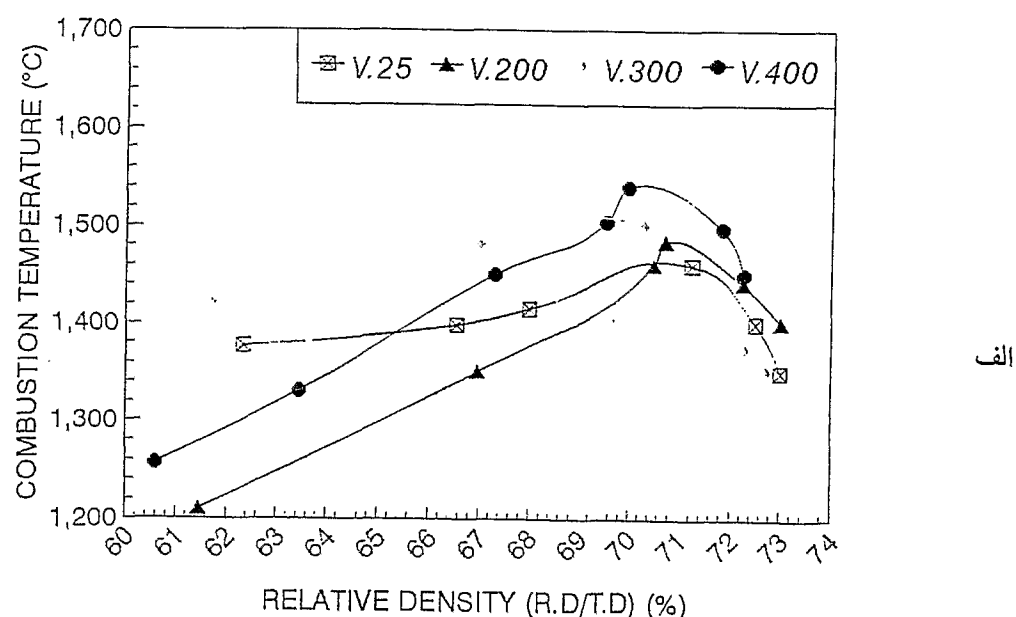
= نمونه با فشار پرس  $450 \text{ MPa}$  سنتزی در خلاء

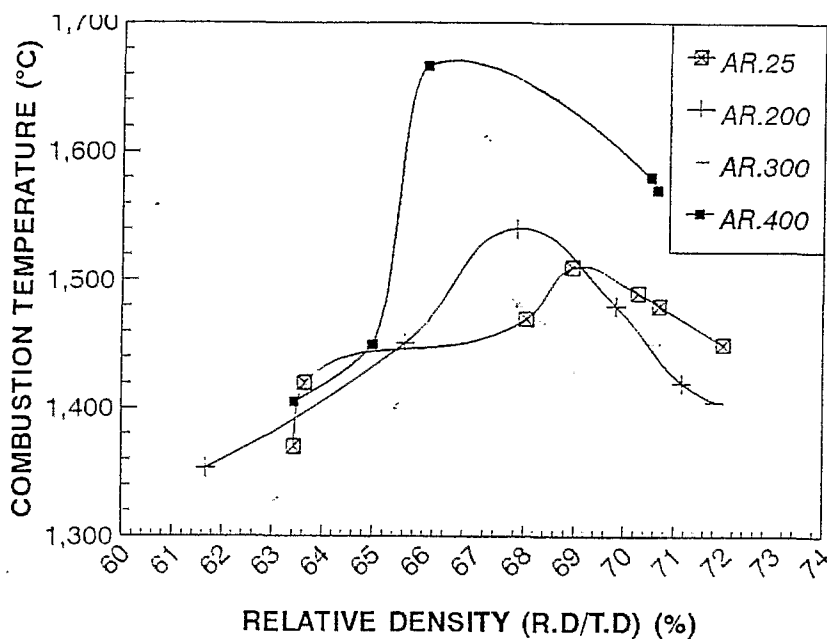
همچنین شکل (۱۱-۴) الف و ب تأثیر تغییرات فشار پرس بر دمای احتراق به ترتیب برای اتمسفرهای خلاء و آرگن با دمای پیشگرمایش مختلف نمونه‌ها را به نمایش می‌گذارد.

در این منحنی‌ها علاوه بر سیر صعودی و نزولی دمای احتراق با افزایش دانسیته نسبی (فشار پرس) نمونه‌ها و افزایش دمای احتراق با افزایش دمای پیشگرمایش، همچنین دیده می‌شود که با افزایش دمای پیشگرمایش نقطه ماکزیمم دمایی در دانسیته‌های پائین‌تری شکل می‌گیرد. چنین مساله‌ای بخصوص در اتمسفر آرگن مشهودتر است.

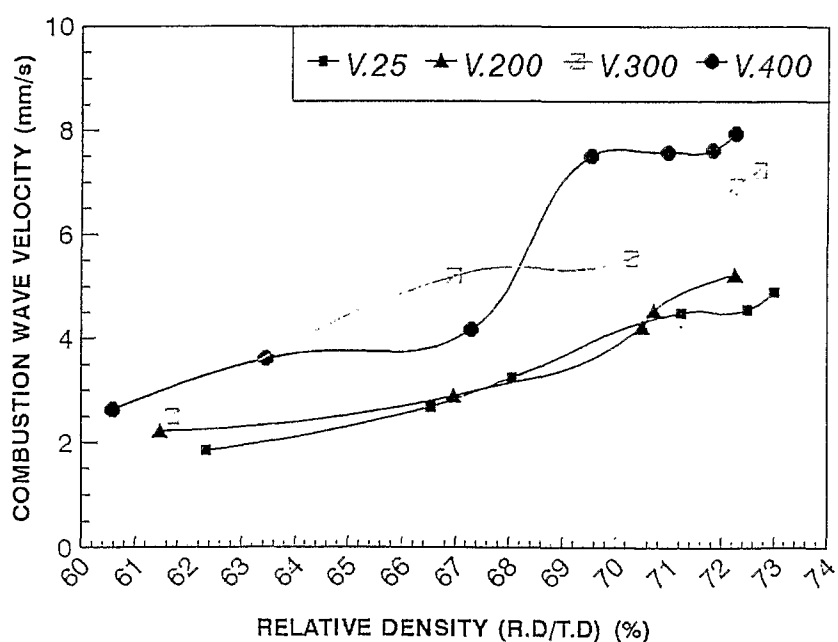
۴-۳-۲-۶- تأثیر فشار پرس بر سرعت احتراق - سرعت احتراق با افزایش فشار پرس بطور پیوسته زیاد می‌شود. شکل (۱۲-۴) بخوبی چنین امری را نشان می‌دهد.

شکل (۱۲-۴) الف و ب - تأثیر تغییرات فشار پرس بر سرعت احتراق به ترتیب برای اتمسفرهای خلاء و آرگن با دمای پیشگرمایش مختلف نمونه‌ها را به نمایش می‌گذارد. در این منحنی‌ها علاوه بر سیر صعودی سرعت احتراق با افزایش دانسیته نسبی خام نمونه‌ها (فشار پرس) افزایش سرعت احتراق با افزایش دمای پیشگرمایش نمونه‌ها نیز دیده می‌شود.

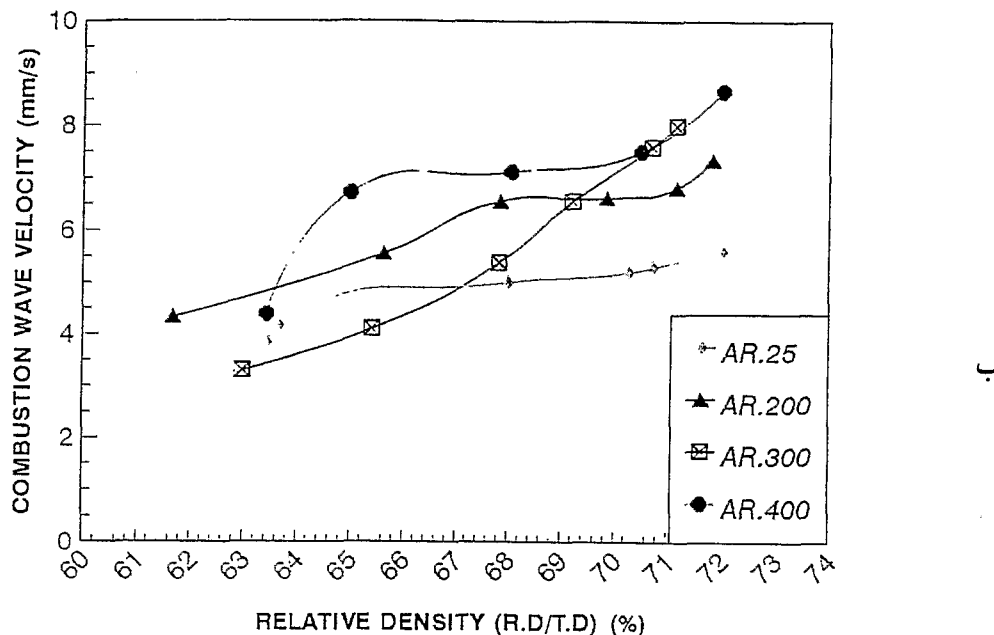




شکل (۱۱-۴) الف و ب - تاثیر افزایش دانسیته نسبی خام نمونه ها (فشار پرس) بر دمای احتراق به ترتیب در اتمسفر خلاء و آرگن و با دمای پیش گرمایش مختلف



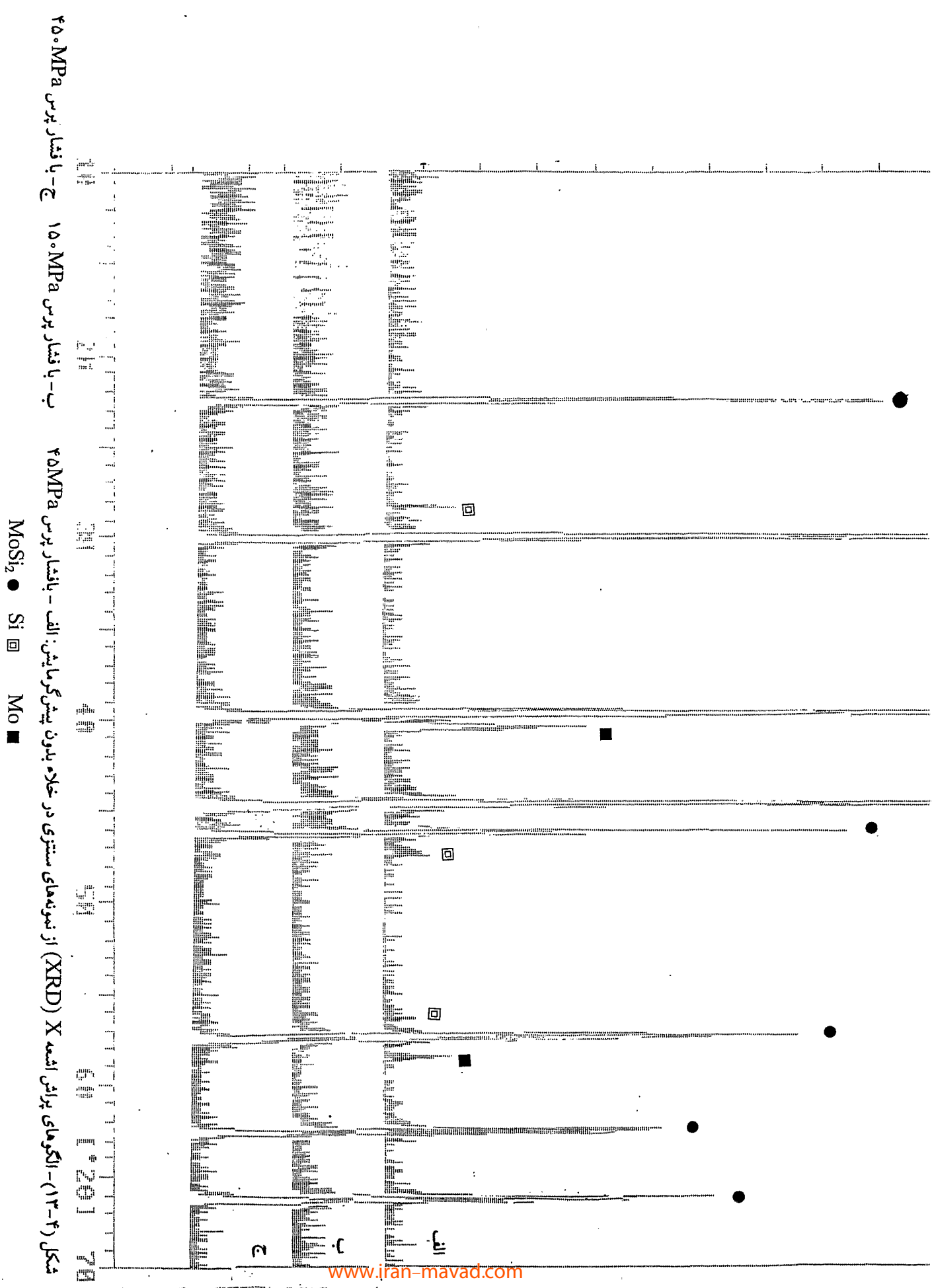
الف

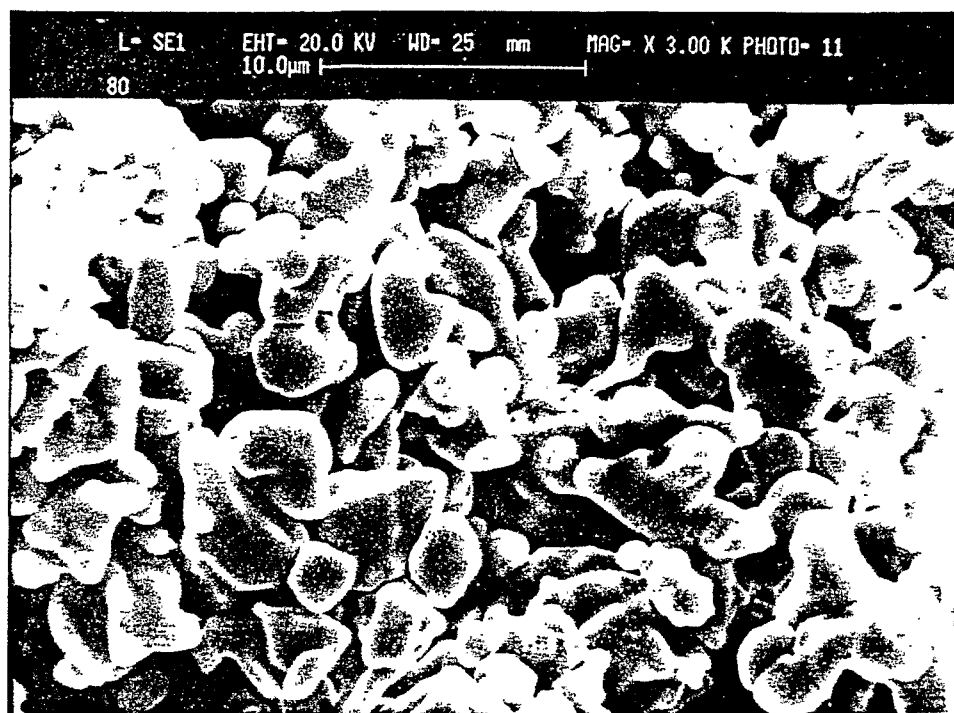


شکل (۱۲-۴) الف و ب - تاثیر افزایش دانسیته نسبی خام نمونه‌ها بر سرعت احتراق بترتیب در اتمسفر خلاء و آرگن بادمای پیش‌گرمایش مختلف

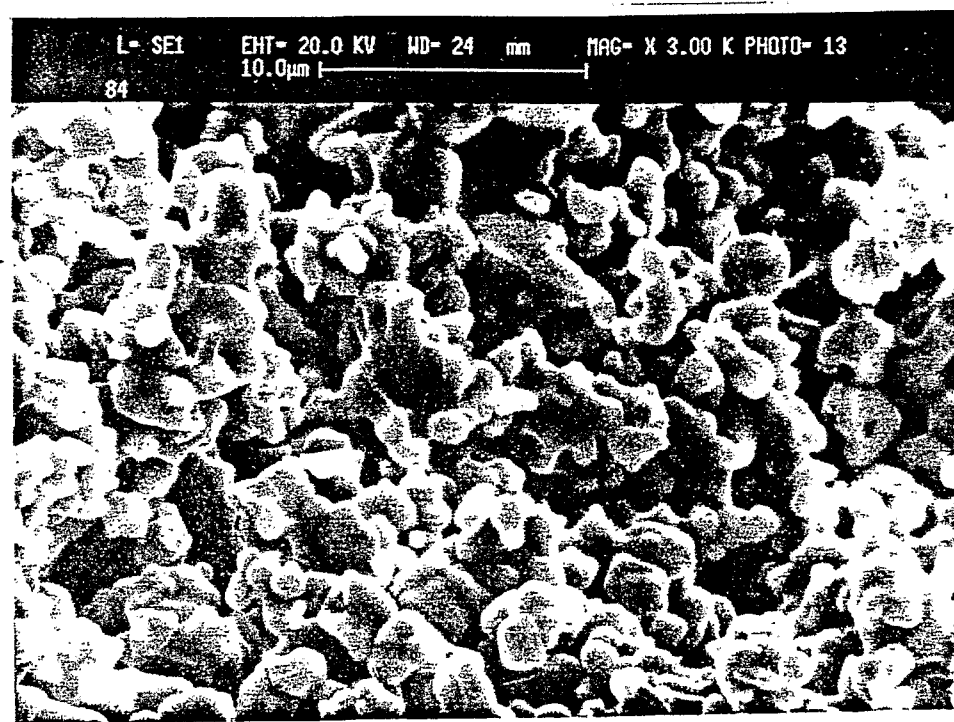
(۱۳-۴) - تاثیر فشار پرس بر فاز محصلو - طبق الگوهای بدست آمده از آنالیز (XRD) (شکل (۱۳-۴)) نمونه‌هاییکه با فشار پایین ( $45\text{ MPa}$ ) پرس شده‌اند. کاملاً "سترز نشده و ذرات واکنش نکرده Mo و Si" اگرچه بسیار کم ولی قابل تشخیص هستند.

دلیل این مساله را می‌توان در فاصله زیاد موجود بین ذرات واکنش دهنده و در نتیجه اتصال ناقص بین آنها و بالاخره سترز ناقص نمونه‌ها دانست. با توجه به نتایج حاصل از آنالیز XRD، برای رسیدن به سترز کامل فشار پرس می‌بایست حداقل  $150\text{ MPa}$  و بالاتر باشد.





الف



ب

شکل (۱۴-۴) الف و ب - تصویر SEM تهیه شده از نمونه های سنتزی در خلاء بترتیب با فشار پرس ۴۵ MPa و ۴۵۰ MPa

۴-۲-۳-۸- تاثیر فشار پرس بر ریز ساختار محصول - با افزایش فشار پرس (دانسیته خام) نمونه ها، تغییرات

زیر روی ریز ساختار محصول بوجود می آید:

- کاهش تخلخل نمونه ستزی

- نزدیکی دانه ها به هم و در نتیجه اتصال بیشتر بین آنها

- مورفولوژی یکنواخت

مقایسه شکل (۱۴-۴) الف و ب این تغییرات را نشان می دهد.

و آخرین نکته اینکه اگر افزایش فشار پرس همراه با هواگیری مناسب و توزیع یکنواخت فشار در طول نمونه همراه نباشد، نمونه بعد از ستز با افزایش حجم و تغییر فرم زیادی دیده می شود.

برای توضیح این پدیده ابتدا می بایست علل تغییر حجم (افزایش حجم) نمونه های ستزی نسبت به حالت خام بیان شود. افزایش حجم نمونه های ستزی در ارتباط مستقیم با تخلخل در این نمونه هاست.

تخلخلهایی نهایی در محصول نهایتاً به سه عامل نسبت داده می شود:

الف - تخلخلهای اولیه که در نمونه خام موجود است و به محصول منتقل می شود. (با افزایش فشار پرس این تخلخلها کاهش می بیند)

ب - تخلخلهای ناشی از تغییر حجم محصول نسبت به واکنشگرهای اولیه. بطوریکه مولیبدن دی سیلیساید ( $\text{MoSi}_2$ ) نسبت به واکنشگرهای ابتدایی ( $\text{Si}_x\text{Mo}$ ) تا ۴۰٪ کاهش حجم دارد [۱۶] و این انقباض حجمی موضعی و غیریکنواخت با خود افزایش تخلخل را به همراه خواهد داشت.

ج - تخلخلهای ناشی از خروج گازهای محبوس از نمونه در طی ستز - افزایش فشار پرس در صورتیکه با هواگیری مناسب همراه نباشد موجب افزایش گازهای حبس شده و در نهایت افزایش تخلخلهای نهایی در محصول می شود.

۴-۲-۴- بررسی پیش گرمایش (Preheating)

طبق دیاگرام فاز  $\text{Mo-Si}$  (شکل (۱-۲)) سه فاز  $\text{Mo}_3\text{Si}_2$ ,  $\text{Mo}_3\text{Si}_3$  و  $\text{Mo}_5\text{Si}_3$  دیده می شود. دمای

آدیاباتیک احتراق این ۳ فاز در جدول (۲-۴) مندرج است.

جدول (۲-۴) - دمای آدیاباتیک فازهای سیستم Mo-Si [۴]

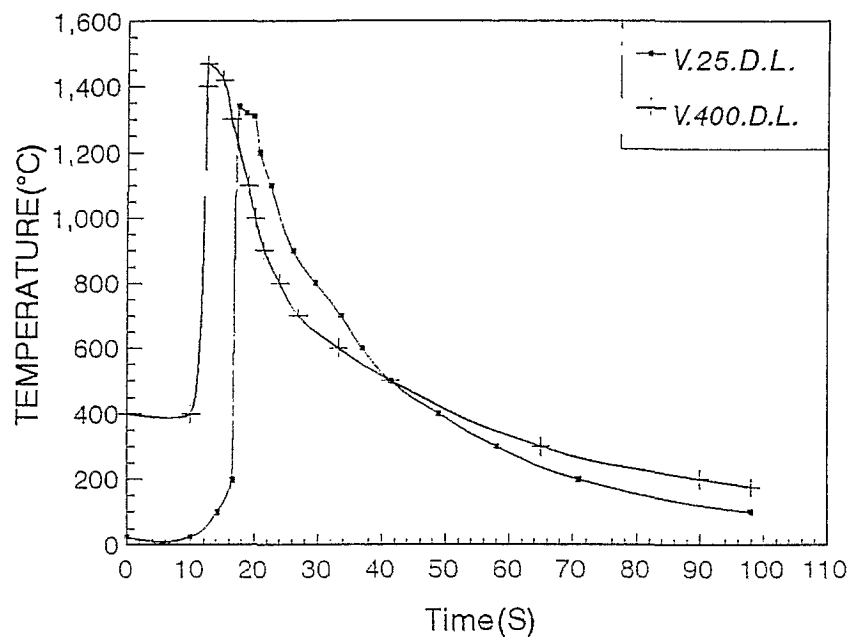
فاز	Tad [°C(K)]
Mo <sub>3</sub> Si	۱۱۵۰(۱۴۲۳)
Mo <sub>5</sub> Si <sub>3</sub>	۱۴۵۲(۱۷۲۵)
MoSi <sub>2</sub>	۱۶۴۰(۱۹۱۳)

از طرف دیگر همانطور که در فصل دوم (مروری بر منابع مطالعاتی) ذکر شد ترکیبات با دمای احتراق کمتر از (۱۸۰ °K) ۱۵۲۷°C بدون استفاده از انرژی خارجی افزایش نمی‌یابند. یکی از راههای فراهم شدن این انرژی، پیش‌گرمایش (Preheating) است. با توجه به این فرض از سه فاز موجود در سیستم Mo-Si تنها فاز مولیبدن دی سیلیساید (MoSi<sub>2</sub>) بدون پیش‌گرمایش قابل ستrez است و دو فاز دیگر برای ستrez نیاز به پیش‌گرم دارند. گفته می‌شود نمونه خام با ترکیب 3Mo+Si (برای دستیابی به Mo<sub>3</sub>Si) نیاز به پیش‌گرم تا ۵۰۰°C دارد و نمونه خام با ترکیب 5Mo+3Si (برای دستیابی به Mo<sub>5</sub>Si<sub>3</sub>) نیاز به پیش‌گرمایش تا ۳۰۰-۴۰۰°C دارد که در این حالت نیز موج احتراق سریعاً متوقف می‌شود.

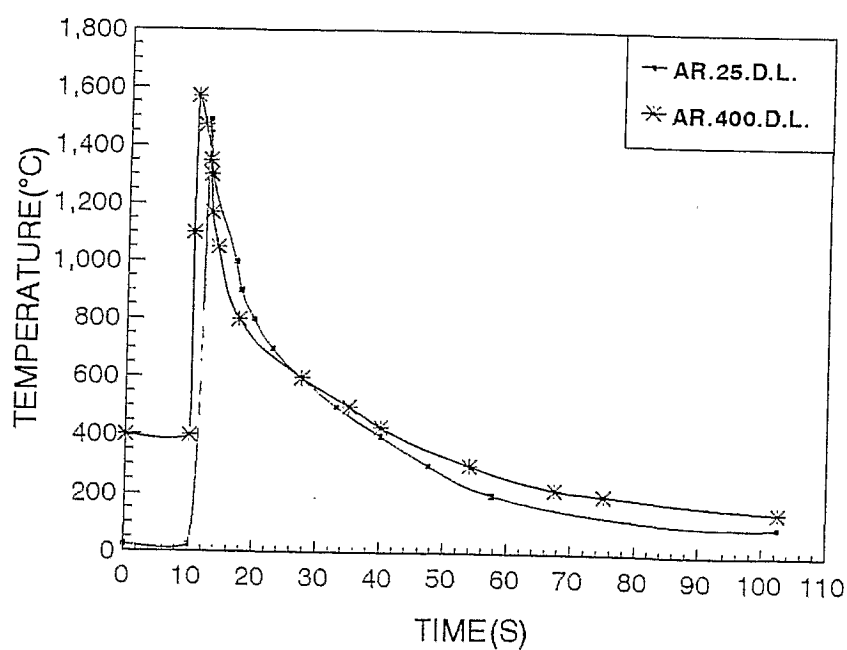
با توجه به این مقدمه، اگر چه ستrez فاز MoSi<sub>2</sub> نیازی به پیش‌گرمایش ندارد و لیکن با توجه به سوق واکنش به سمت تعادلی این پارامتر مورد بررسی قرار گرفت.

۱-۴-۲-۴- تاثیر پیش‌گرمایش بر منحنیهای احتراق - شکل (۱۵-۴) الف و ب معرف تاثیر پیش‌گرمایش روی منحنیهای احتراق نمونه‌ها بترتیب در خلاء و آرگن است. همانطور که این منحنیها نشان می‌دهند (در هر دو حالت الف و ب)

- نمونه‌هاییکه پیش‌گرمایش شده‌اند در مدت زمان کمتری افزایش یافته و به دمای احتراق می‌رسند.
- نمونه‌های پیش‌گرمایش شده دارای دمای احتراق بالاتری هستند.



الف



ب.

شکل (۱۵-۴) الف و ب - تأثیر پیشگرمایش نمونه‌ها بر منحنیهای احتراق سنتزی بتربیت در اتمسفر خلاء و آرگن

۴-۲-۴-۲- تاثیر پیش‌گرمایش بر دمای افروزش نمونه‌ها - طبق شکل (۸-۴) با افزایش دمای پیش‌گرمایش

نمونه‌ها، کاهش دمای افروزش دیده می‌شود.

دلیل این پدیده را می‌توان به کاهش انرژی اکتیواسیون برای واکنش عنوان کرد بطوریکه با انرژی کمتری

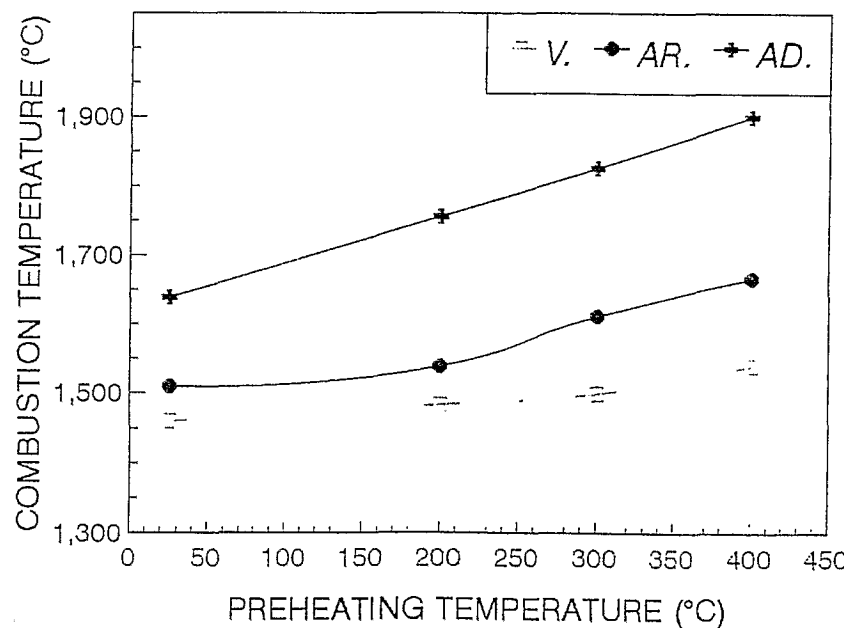
(دمای افروزش پائین‌تر) به مرحله افروزش (Ignition) رسیده و محترق می‌شود.

۴-۲-۴-۳- تاثیر پیش‌گرمایش بر دمای احتراق نمونه‌ها - مطابق شکل (۱۶-۴) افزایش دمای پیش‌گرمایش

نمونه‌ها باعث افزایش دمای احتراق می‌شود. تغییر اتمسفر (از خلاء به ختنی) در این مورد تاثیری نخواهد

داشت. همچنین روند رشد خطی دمای (آدیاباتیک) احتراق با پیش‌گرمایش نمونه‌ها بصورت محاسباتی نیز در

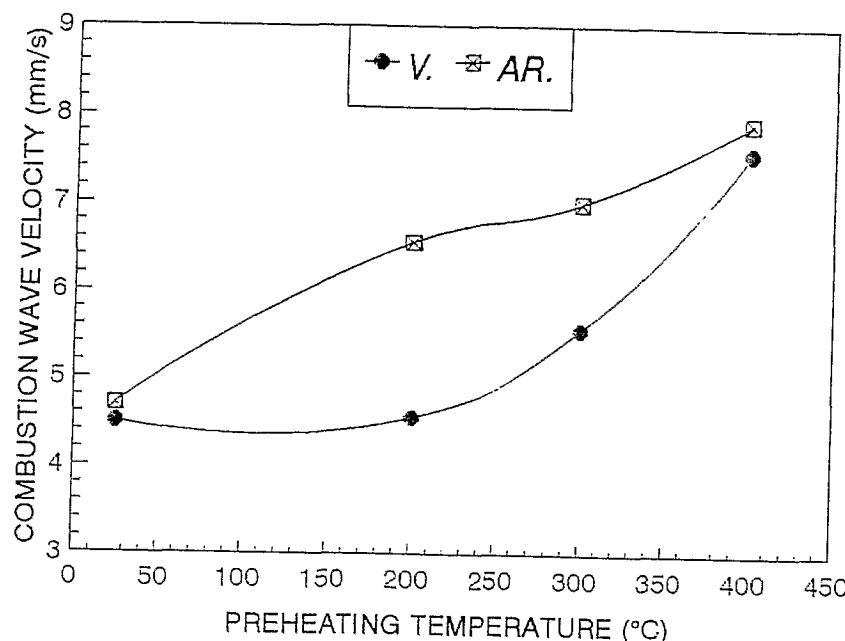
این شکل دیده می‌شود.



شکل (۱۶-۴) - وابستگی دمای احتراق به دمای پیش‌گرمایش نمونه‌ها در سه حالت

الف - محاسباتی (آدیاباتیک) [۴]، ب - اتمسفر آرگن و ج - اتمسفر خلاء

۴-۲-۴-۴- تاثیر پیش گرمایش نمونه ها بر سرعت موج احتراق - با افزایش دمای پیش گرمایش نمونه ها سرعت موج احتراق در آنها نیز افزایش پیدا می کند (شکل (۱۷-۴))



شکل (۱۷-۴) - ارتباط بین سرعت موج احتراق و دمای پیش گرمایش نمونه ها در اتمسفر خلاء آرگن

۴-۲-۴-۵- تاثیر پیش گرمایش نمونه ها بر فاز محصول با توجه به الگوهای پراش اشعه X (XRD) از نمونه های تهیه شده در شرایط یکسان (با فشار پرس یکسان) و در دو حالت بدون پیش گرمایش ( $T_p = 25^\circ\text{C}$ ) و با پیش گرمایش ( $T_p = 40^\circ\text{C}$ ) مشاهده می شود. با اعمال پیش گرمایش پیک اضافی بوجود نمی آید. شکل

۱۸-۴

(110)

(101)

(103)



(002)

(112)

(200)

(202) (211)



شکل (۴-۱۸) الف و ب الگوی پراش اشعه X (XRD) از نمودهای ستری با فشار پرس یکسان در دو حالت، با پیشگرایی و بدون پیشگرایی

۴-۲-۶- تاثیر پیش گرمایش نمونه‌ها بر ریز ساختار محصول - در نمونه پیش گرم شده نسبت به نمونه بدون پیش گرمایش رشد دانه‌ها، اتصال بیشتر و زیسترینگ بین دانه‌ای، کاهش تخلخل و تقریباً "حذف دانه‌های گوشیدار دیده می‌شود. شکل (۱۹-۴) الف و ب چنین تغییراتی را نشان می‌دهد.

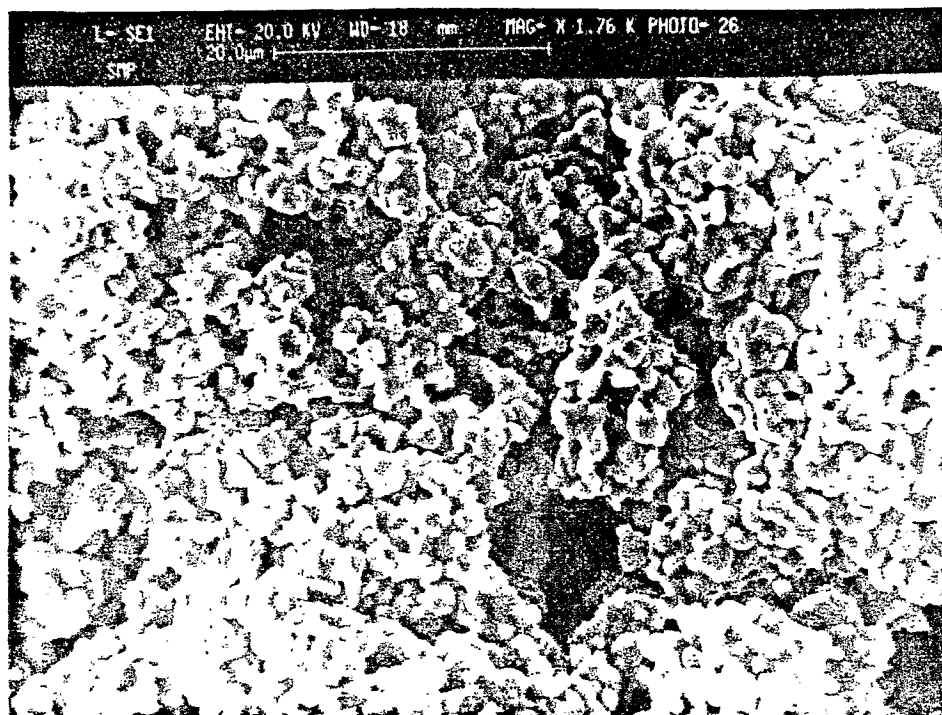
مساله دیگر دمای پیش گرم است . نمونه‌ای که از دمای پیش گرمایش بالاتری برخوردار بوده دارای دانه‌های بزرگتر و اتصالات بیشتر بین دانه‌ای خواهد بود.(جدول (۳-۴))

جدول (۴-۳)- تاثیر پیش گرمایش بر اندازه دانه نمونه‌ها

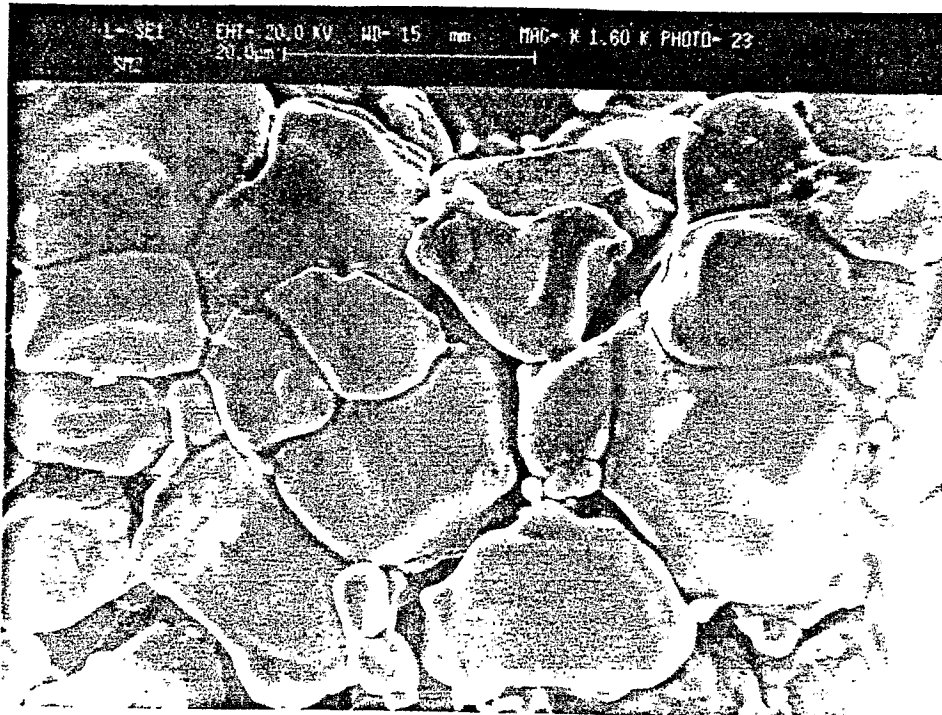
دما پیش گرمایش (°C)	متوسط قطر دانه ( $\mu\text{m}$ )
۲۵	۵
۴۰۰	۱۰
۵۰۰	۲۰

برای پاسخ به علت این تغییرات در ریز ساختار محصول ناشی از پیش گرمایش باید توجه کنیم که همانطور که گفته شد افزایش دمای اولیه نمونه سنتزی (دمای پیش گرم) باعث افزایش دمای احتراق می‌شود. در اینی حالت محصول بوجود آمده دچار انحلال و رسوب مجدد در مرز دانه‌ها شده و سبب رشد دانه‌ها، حذف تخلخلها ، افزایش دانسیته و اتصال بین دانه‌ای خواهد شد.

با ادامه عملیات پیش گرمایش در دماهای بالا به مد انفجار حرارتی (Thermal Explosion) می‌رسیم (ر.ک. فصل دوم). در اینحالت کل نمونه به سرعت به دمای بالا رسیده و بدون اعمال حرارت اضافی بعنوان افزایش، سنتز می‌شود. نمونه حاصله استحکام و دانسیته بیشتری نسبت به نمونه بدون پیش گرمایش دارد. برای جمع‌بندی این بحث باید گفت اگر هدف تولید قطعه باشد، پیش گرمایش نمونه و یا استفاده از مد انفجار حرارتی مناسبتر است. ولی برای تهیه پودر محصول روش سنتز با حداقل پیش گرمایش بدليل ریزدانه بودن ، تخلخل بالاتر و اتصال کمتر بین ذرات نمونه سنتزی انتخاب بهتری است، بطوریکه با این اوصاف نمونه‌ها بسادگی خرد و آسیاب می‌شوند.



الف

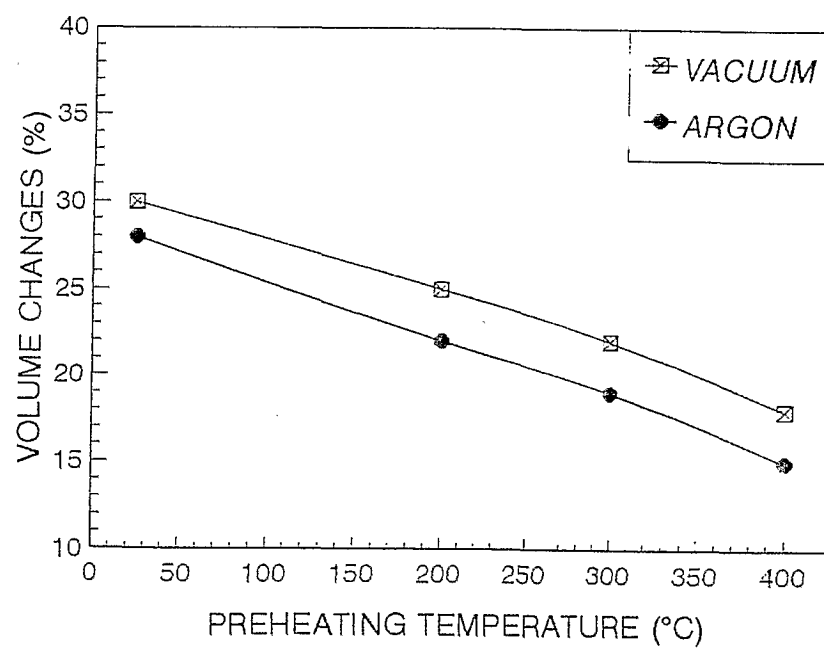


ب

شکل (۱۹-۴) الف و ب - تصویر SEM از نمونه‌های پرس شده با فشار ۱۵۰ MPa و سنتزی در خلاء برتریب بدون پیش‌گرمایش ( $T_p=25^\circ$ ) و با پیش‌گرم ( $T_p=500^\circ$ )

## ۷-۴-۲-۴- تاثیر پیش‌گرمایش نمونه‌ها بر تغییر حجم نمونه سنتزی

همانطور که در بخش‌های قبلی ذکر شد یکی از دلایل افزایش تخلخل (افزایش حجم) محصول بدلیل خروج گازهای محبوس از نمونه در حال سنتز است، با پیش‌گرمایش می‌توان در خروج این گازها قبل از سنتز نمونه سرعت بخشدید و از تغییر حجم نمونه در حین سنتز تا جای ممکن جلوگیری کرد. شکل (۲۰-۴) تاثیر افزایش دما پیش‌گرمایش تغییر حجم نمونه سنتزی را در دو اتمسفر خلاء و خنثی نشان می‌دهد. همانطور که در این شکل دیده می‌شود، افزایش دما پیش‌گرمایش نمونه‌ها منجر به تغییر حجم (افزایش حجم) کمتری می‌شود.



شکل (۲۰-۴)- تاثیر افزایش دما پیش‌گرمایش نمونه‌ها بر افزایش حجم محصول سنتزی در اتمسفر آرگن و خلاء

## ۳-۴- بحث و بررسی پارامترهای موثر در هنگام احتراق

## ۱-۳-۴- بررسی اتمسفر

۱-۱-۳-۴- تأثیر اتمسفر بر منحنی‌های احتراق - شکل (۲۱-۴) معرف منحنی احتراق نمونه‌ها در دو اتمسفر خلاء و آرگن است. مطابق این شکل در اتمسفر آرگن

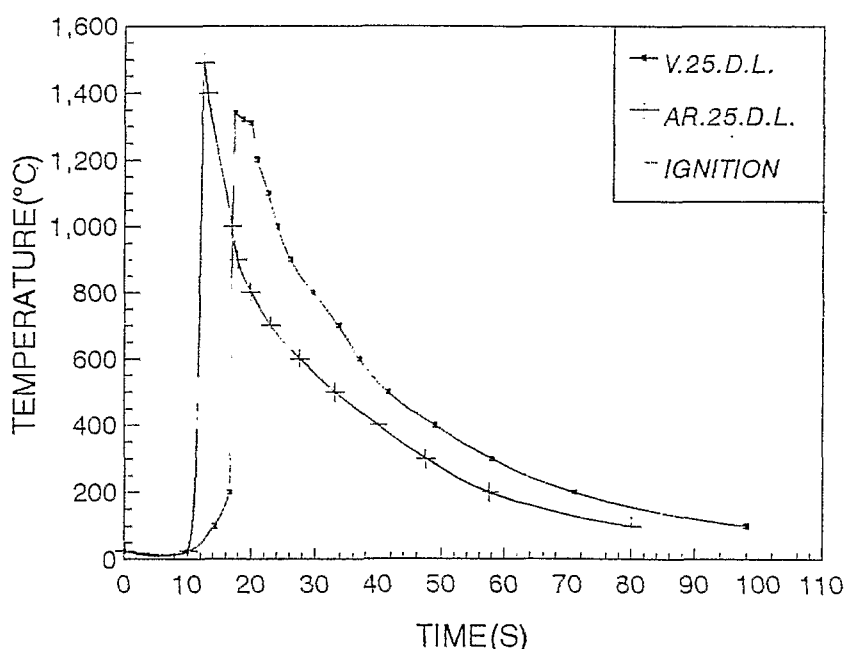
- نمونه سریعتر افروزش می‌یابد (حدود ۸S زودتر)

- به دمای احتراق بالاتری (حدود  $200^{\circ}\text{C}$ ) بالاتر می‌رسد.

- مدت زمان کمتری در دمای ماقزیم باقی می‌ماند.

- و در مدت زمان کمتری به دمای محیط می‌رسد (۱۸S) زودتر.

علت اختلاف بین منحنی احتراق در محیط آرگن و خلاء را می‌توان در هدایت حرارتی بالای آرگن دانست.



شکل (۲۱-۴) - منحنی‌های احتراق در دو اتمسفر خلا و آرگن و منحنی افروزش نمونه‌ها در این شرایط

۱-۳-۲- تأثیر اتمسفر بر دمای احتراق - طبق شکل (۹-۴) و (۱۶-۴) دمای احتراق نمونه‌های سنتزی در محیط آرگن بالاتر از محیط خلاء است.

۱-۳-۳- تأثیر اتمسفر بر سرعت احتراق - طبق شکل (۹-۴) و (۱۷-۴) سرعت احتراق نمونه‌های

ستزی در محیط آرگن بالاتر از محیط خلاء است. دلیل این امر نیز به هدایت حرارتی بالای آرگن باز می‌گردد که به کمک انتقال حرارت تشعشعی و هدایت اسکلت جامد نمونه آمده است.

**۴-۱-۳-۴- تاثیر اتمسفر بر فاز محصول - شکل (۲۲-۴) معرف الگوی پراش اشعه X (XRD) نمونه‌ها در دو اتمسفر خلاء و آرگن می‌باشد.**

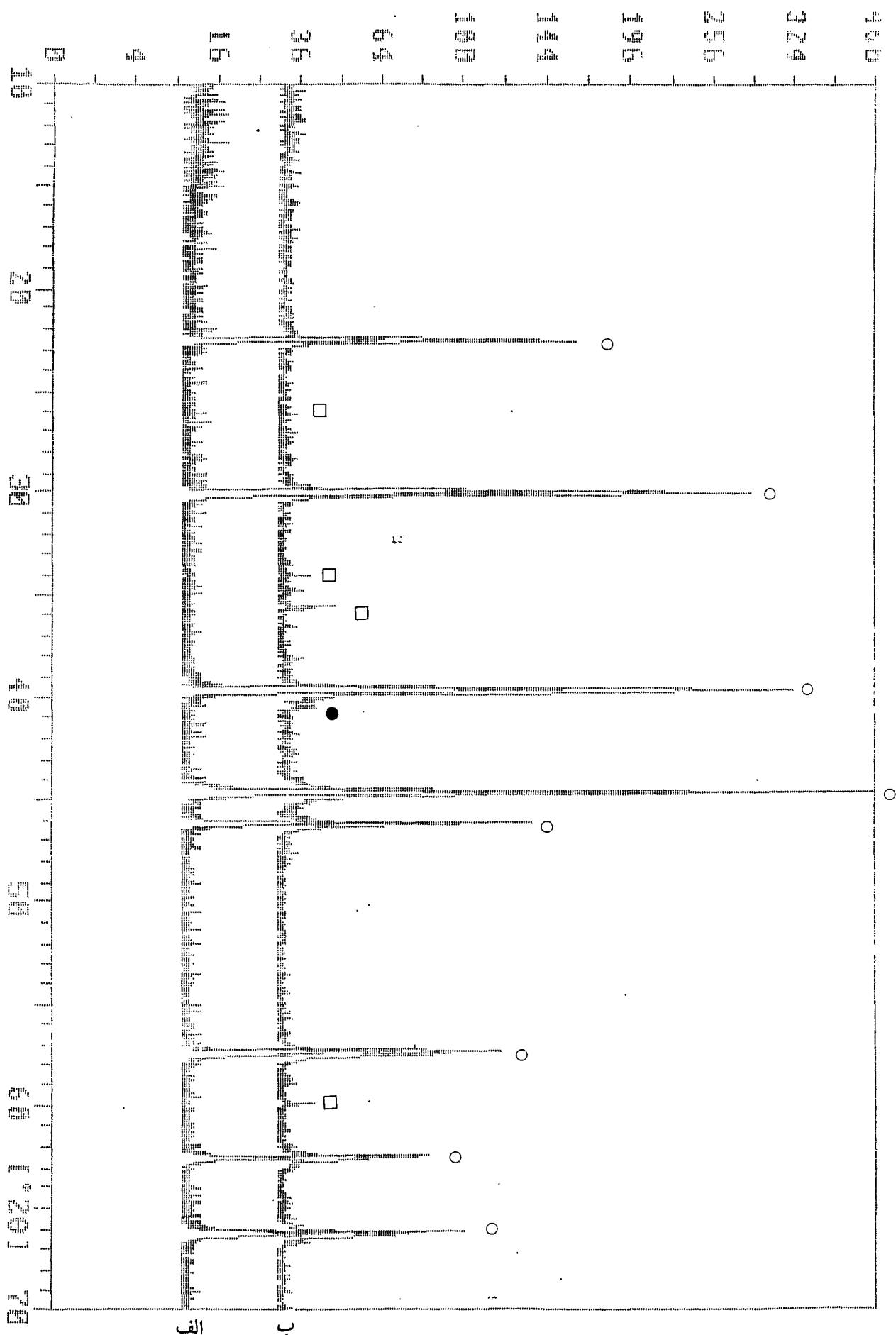
با توجه به این شکل می‌توان گفت نمونه‌های سنتزی در اتمسفر خلاء کاملاً "ستز شده‌اند و در الگوی پراش پیکی که نشانگر ذرات واکنش نکرده، فازهای واسطه ... دیده نمی‌شود. ولیکن در نمونه سنتزی در اتمسفر آرگن الگوهای اشعه X "بعضاً" به مقدار خیلی محدود ذرات واکنش نکرده Mo و فاز ثانویه اکسید مولیبدن  $Mo_3O_6$  را نشان می‌دهد دلیل این مساله را می‌توان در ناخالصی آرگن جستجو کرد.

علاوه بر این میزان خلاء نیز اهمیت دارد بطوریکه با خلاء نامناسب احتمال وجود فازهای غیر از  $MoSi_2$  زیاد می‌شود. (شکل (۲۳-۴ الف و ب))

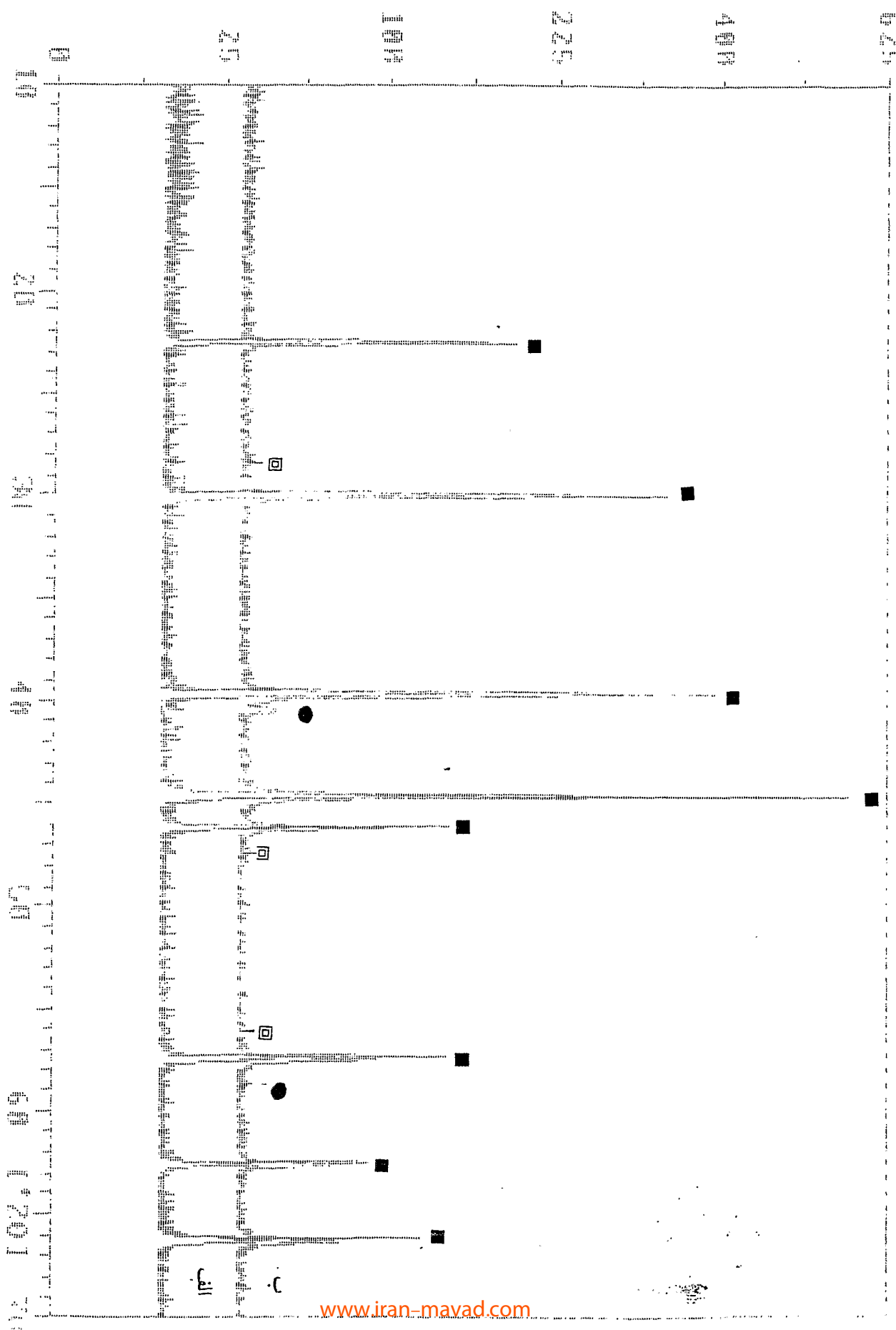
**۴-۱-۳-۵- تاثیر اتمسفر بر ریز ساختار محصول - شکل (۲۴-۴) الف و ب ریز ساختار محصول به ترتیب سنتزی در اتمسفر خلاء و آرگن را نشان می‌دهد.**

با مقایسه این دو شکل به وجود ذراتی ناهمگون با زمینه در مرز دانه‌های نمونه مربوط به آرگن می‌توان پی‌برد. این ذرات در حقیقت فازهای ناخواسته می‌باشند.

**۴-۱-۳-۶- تاثیر اتمسفر بر تغییر حجم محصول - شکل (۲۰-۴) نشان می‌دهد نمونه‌های سنتزی در اتمسفر آرگن نسبت به خلاء تغییر حجم (افزایش حجم) کمتری دارند. برای توضیح این پدیده می‌توان گفت چون در حالیکه محفظه تحت اتمسفر آرگن قرار دارد نمونه تحت فشار هیدرواستاتیک ناشی از آرگن است ، خروج گازهای محبوس در هنگام احتراق بسادگی صورت نمی‌گیرد. ولی در محیط خلاء گازهای آزاد شده باکشش خلاء از نمونه خارج شده و لذا در این حالت نمونه سنتزی افزایش حجم بیشتری خواهد داشت.**



شکل (۴-۲۶) اکتیو-اینگویان از نمودهای XRD و آرگن

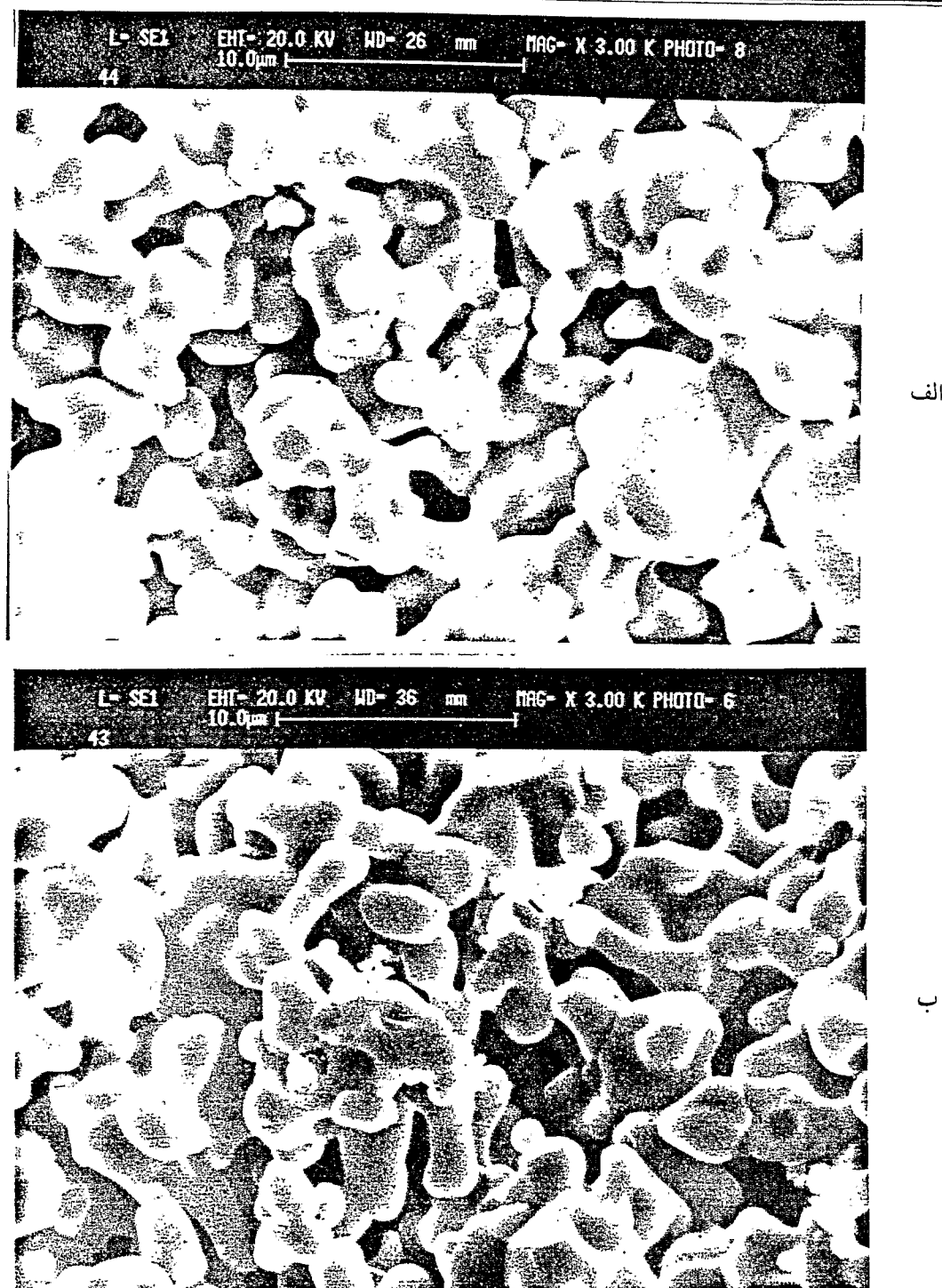


شکل (۴-۲۳) الف و ب- خلاه مناسب (۵۰×۱۰<sup>-۲</sup>torr)، ب- خلاه نیمه درستوری، میزان خلاه (۴-۲۳)<sup>۱۰</sup> torr، میزان دامنه (۱۰-۵۰) torr)

MoS<sub>2</sub>

Si

Mo



شکل (۲۴-۴) الف و ب - تصویر SEM از نمونه‌های سنتزی برتریب در اتمسفر خلاء و آرگن با دمای پیش‌گرمایش

$T_p = 400^\circ C$  و پرس شده در فشار  $450 \text{ MPa}$

## (Ignition) ۴-۳-۲- بررسی افروزش نمونه

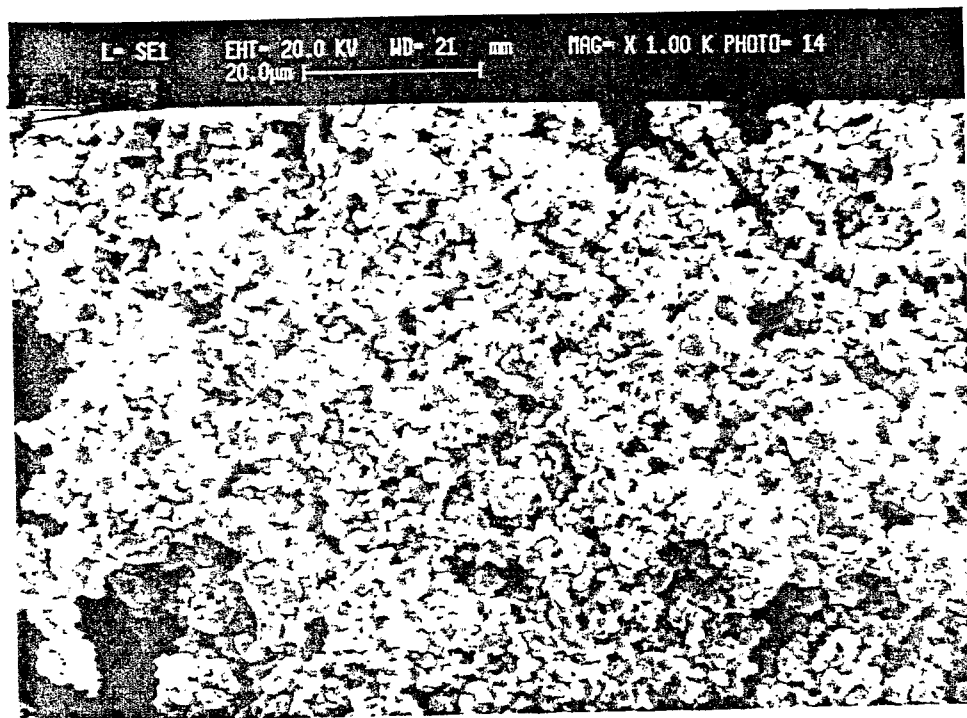
وظیفه ثبت منحنی افروزش نمونه بر عهده ترموکوپلی است که بر شیار تعییه شده بر سطح نمونه جای می‌گیرد. با مشاهده منحنی افروزش (Ignition) در شکل (۲۱-۴) شاهد دو منطقه اصلی خواهیم بود. منطقه اول ناشی از تشعشع حرارتی فیلامان تنگستنی بر سطح بالایی نمونه و ترموکوپل می‌باشد. دمای نمونه بصورت نمایی افزایش پیدا می‌کند تا جاییکه واکنش در نمونه شروع می‌شود. در این حالت منطقه دوم منحنی به صورت خطی و با شیب زیاد تا به دمای ماکریم احتراق بر سر شروع می‌شود. در این منطقه دمای نمونه بطور ناگهانی بالا می‌رود.

دمای افروزش نمونه تحت تاثیر:

فشار پرس و دمای پیش‌گرمایش نمونه است.

شکل (۸-۴) بیانگر این مساله است بطوریکه با افزایش فشار پرس و افزایش دمای پیش‌گرمایش نمونه دمای افروزش کاهش می‌یابد.

۴-۳-۳- بررسی مکانیزم پیشرفت واکنش - همانطورکه قبلاً ذکر شد، مکانیزم غالب پیشرفت و گسترش واکنش در مورد سنتز  $\text{MoSi}_2$  به روش SHS نفوذ مذاب سیلیکون به ذرات جامد مولیبدن و انجام واکنش بین آنهاست. با این فرض دانه‌های  $\text{MoSi}_2$  تشکیل یافته می‌باشد با پایه اولیه (ذرات مولیبدن) شباهت داشته باشد. شکل (۲۵-۴) الف و ب معرف این واقعیت است.

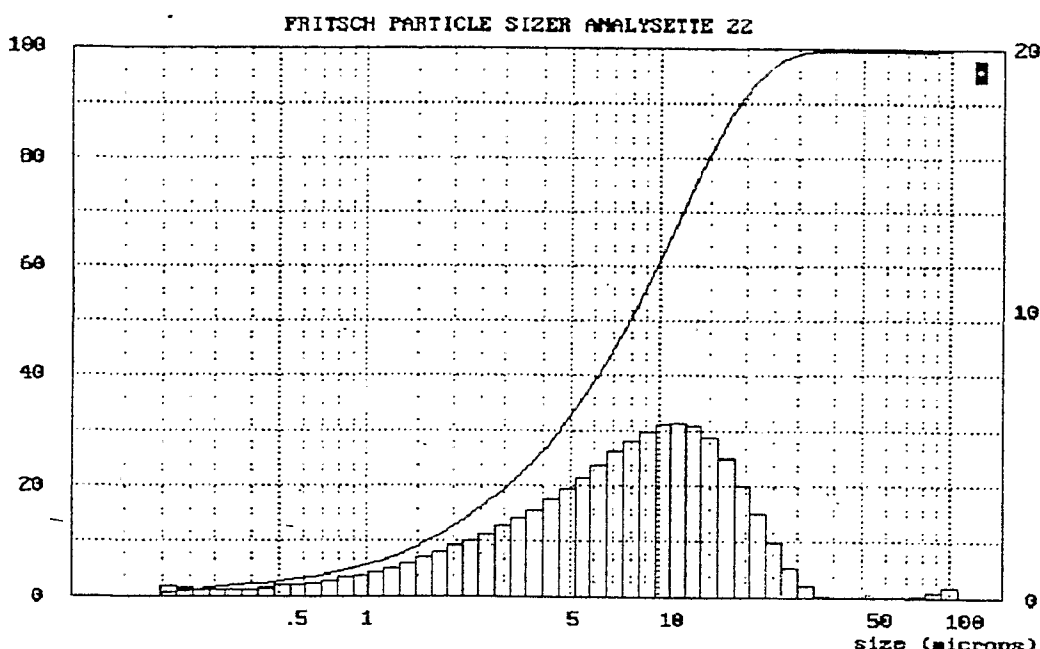


شکل (۲۵-۴) - الف و ب - به ترتیب تصاویر SEM از نمونه خام و نمونه سترزی

#### ۴-۴-۴- بررسی پارامترهای پس از احتراق

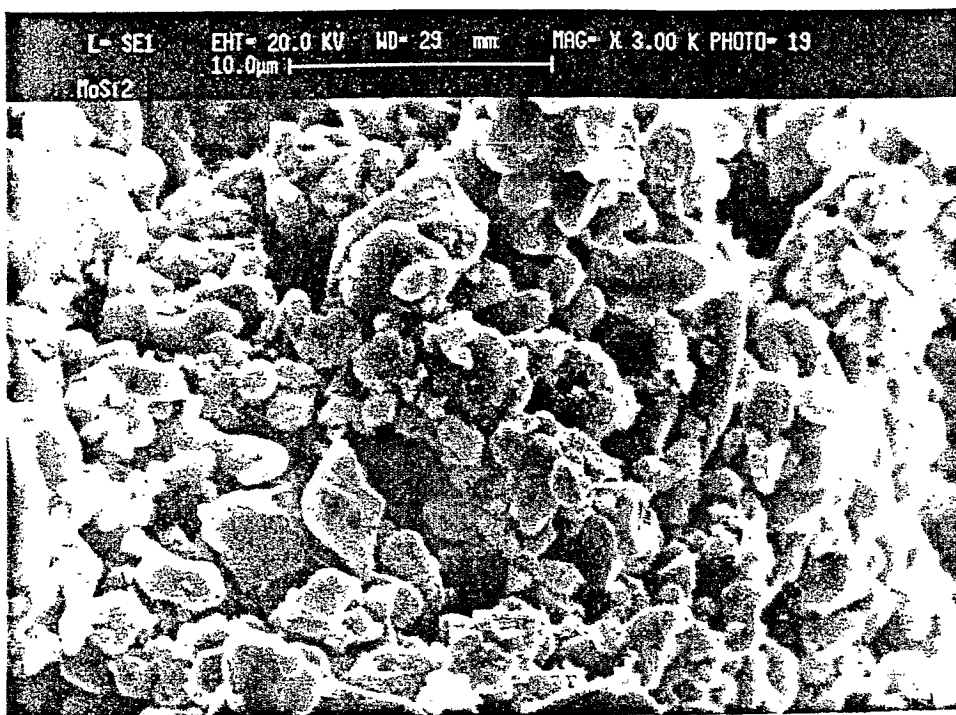
##### ۱-۴-۴- بررسی عملیات خردایش، آسیاب و دانه‌بندی

همانطور که پیشتر گفته شد محصول سنتزی متخلخل (درصد کل تخلخل تا ۷۰٪ هم می‌رسد) و ترد بود. ایندو خاصیت سبب خردایش و آسیاب آسانتر محصول می‌شد، بطوریکه با خردایش و سایش دستی (در هاون عقیق) و صرف مدت کوتاهی پودری یکنواخت و ریز‌دانه‌تر از پودر مخلوط اولیه، (با متوسط اندازه ذرات  $7\text{ }\mu\text{m}$ ) توزیع اندازه ذرات پودر محصول را نشان می‌دهد.



شکل (۲۶-۴) - توزیع اندازه ذرات پودر محصول

همچنین شکل (۲۷-۴) تصویر SEM از پودر محصول را به نمایش می‌گذارد.



شکل (۲۷-۴) - تصویر SEM تهیه شده از پودر محصول

۴-۵-۴- بررسی پارامترهای شبکه، حجم سلول واحد اولیه و دانسیته  $\text{MoSi}_2$

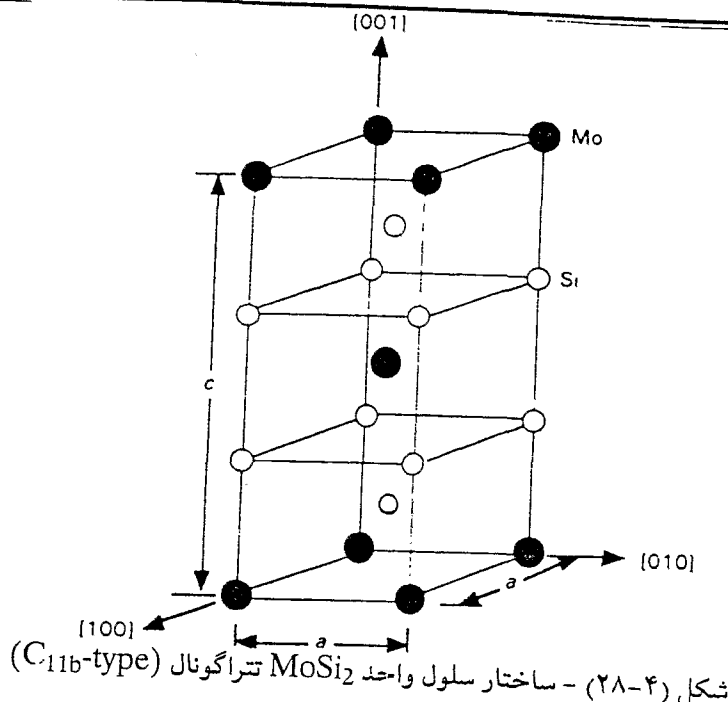
۴-۵-۱- بررسی ویژگیهای فوق در مورد  $\text{MoSi}_2$  استاندارد

فاز تعادلی  $\text{MoSi}_2$  در شبکه تراگونال ( $\text{C}_{11\bar{b}}$ -type) متبلور می‌شود. شکل (۲۸-۴) سلول واحد  $\text{MoSi}_2$  را نشان می‌دهد. [۲]

مطابق الگوهای استاندارد پراش اشعه X (JCPDS) از فاز تراگونال مولیبدن دی سیلیساید [۱۳]

پارامترهای شبکه این فاز برابر است با  $a = ۲۰.۴۷ \text{ \AA}$  و  $C = ۷۸۴۴۹ \text{ \AA}^3$ .

بنابراین حجم سلول واحد  $\text{MoSi}_2$  برابر است با  $۰.۵۶ \times ۱۰^{-۲۳} \text{ cm}^3$  و چون سلول واحد از دو اتم مولیبدن و چهار اتم سیلیکون تشکیل شده پس دانسیته سلول واحد  $۲۷ \text{ gr/cm}^3$  بدست می‌آید.



۴-۵-۲- محاسبه پارامترهای شبکه حجم سلول واحد و دانسیته  $\text{MoSi}_2$  محصول:

دو نمونه با شرایط سنتز زیر انتخاب شدند:

اتمسفر: آرگن

اتمسفر: خلاء

فشار پرس: ۳۵۰ MPa

نمونه ۲

فشار پرس: ۳۵۰ MPa

نمونه ۱

دما پیش گرم:  $400^{\circ}\text{C}$

دما پیش گرم:  $400^{\circ}\text{C}$

جدول (۴-۴) حاوی اطلاعات آنالیز XRD این نمونه‌ها و شکل (۲۹-۴) الگوهای XRD این نمونه‌ها را نشان می‌دهد و رابطه بین پارامترهای شبکه ( $a, c$ )، اندیس میلر صفحات کریستالی ( $l$ ) و فاصله صفحات

(d) در مورد شبکه تراگونال مطابق عبارت زیر:

$$\frac{1}{d^2} = \frac{h^2 + k^2}{a^2} + \frac{l^2}{c^2} \quad (1-4)$$

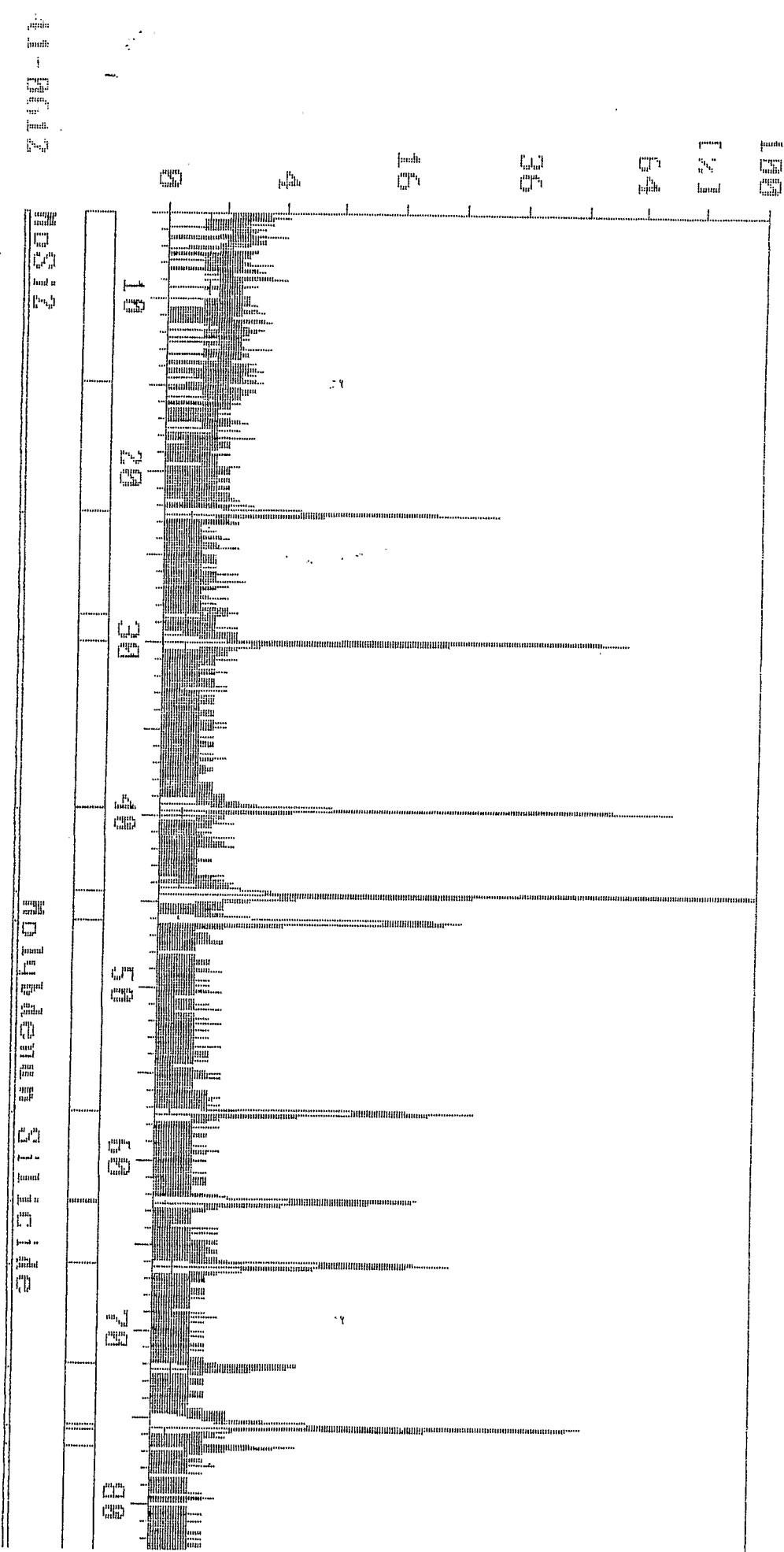
جهت محاسبه پارامترهای فوق استفاده شد. (جدول (۵-۴))

سپس توسط پیکنومتر دانسیته پودر دو نمونه ۱ و ۲ بدست آمد که در جدول (۵-۵) مندرج است این

جدول نزدیکی ارقام بدست آمده برای محصول و نمونه استاندارد را نشان می‌دهد.

جدول (۴-۴) - اطلاعات عددی حاصله از آنالیز XRD روی نمونه ۱ و ۲

زاویه (°2θ)	اندیس میلیر صفحات (h k l)	فاصله صفحات کریستالی برای نمونه اول (A°)	فاصله صفحات کریستالی برای نمونه دوم (A°)
۲۲/	۲ ۰ ۲	۳/۹۲۸۵	۳/۹۲۵۱
۳۰/	۱ ۰ ۱	۲/۹۶۷۹	۲/۹۶۹۴
۳۹/	۱ ۱ ۰	۲/۲۶۷۱	۲/۲۶۷۷
۴۴/	۱ ۰ ۳	۲/۰۲۷۲	۲/۰۲۷۶
۴۶/	۱ ۱ ۲	۱/۹۶۲۹	۱/۹۶۳۵
۵۷/	۲ ۰ ۰	۱/۶۰۳۲	۱/۶۰۳۲
۶۲/	۲ ۰ ۲	۱/۴۸۳۶	۱/۴۸۴۱
۶۶/	۲ ۱ ۱	۱/۴۰۹۷	۱/۴۱۰۰
۷۲/	۰ ۰ ۶	۱/۳۰۸۲	۱/۳۰۸۶



شکل (۴-۲)- الگوی XRD نمونه‌های (۱-۲)

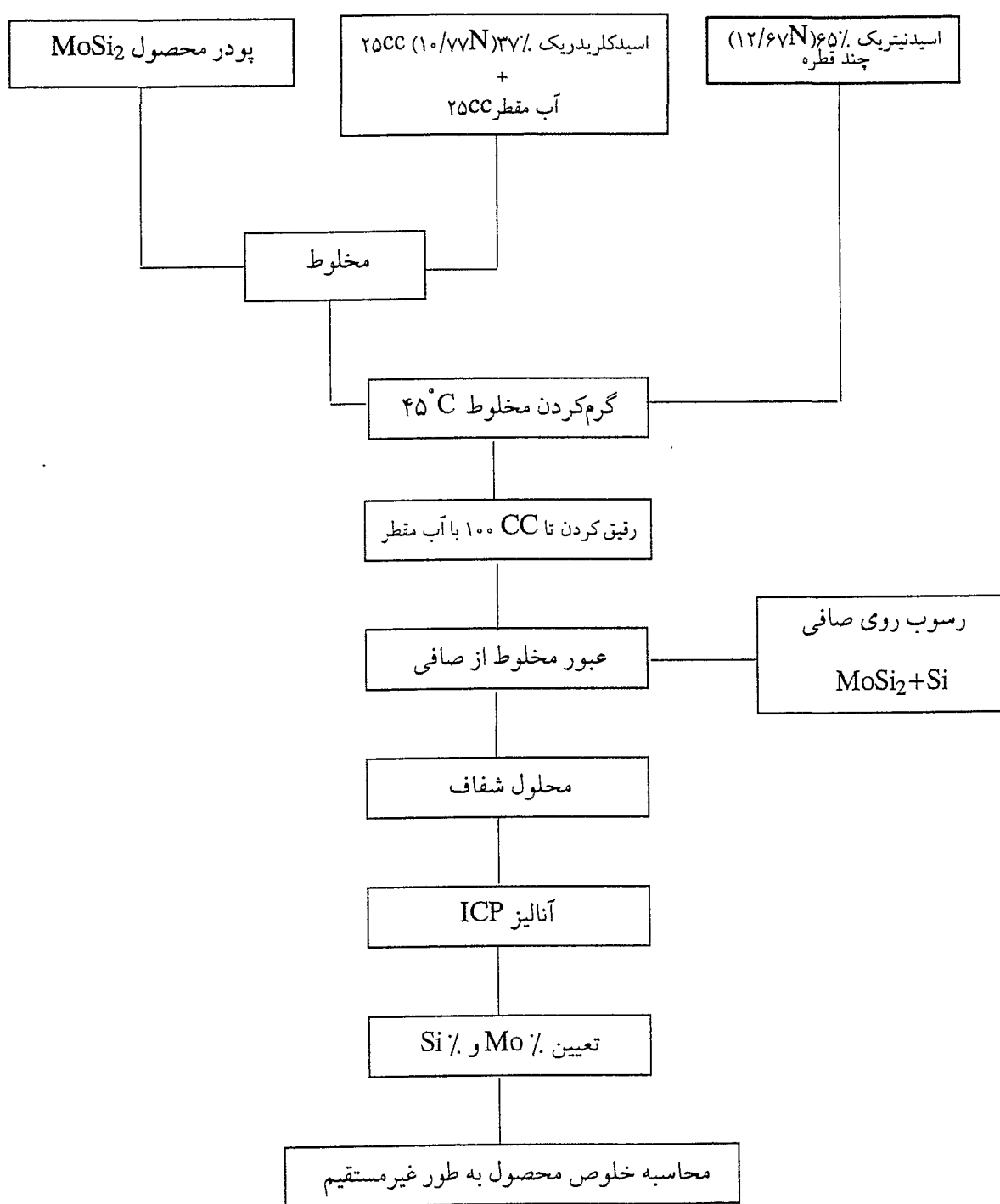
جدول (۴-۵)- مقایسه بین ارقام بدست آمده برای پارامترهای شبکه دانسیته سلول واحد  $\text{MoSi}_2$  در نمونه‌های

#### استاندارد و محصول

	نمونه استاندارد	نمونه ۱	نمونه ۲
$a(\text{\AA})$	۳/۲۰۴۷	۳/۲۰۶۳	۳/۲۰۶۷
$C(\text{\AA})$	۷/۸۴۴۹	۷/۸۵۳	۷/۸۶۰۶
$V(\text{Cm}^3)$	$8/0.056 \times 10^{-23}$	$8/0.0733 \times 10^{-23}$	$8/0.089 \times 10^{-23}$
$d(\text{gr/cm}^3)$	۶/۲۷	دانسیته پودر	دانسیته پودر
		۶/۲۶	۶/۲۳
		۶/۲۵	۶/۲۲

#### ۴-۶- اندازه‌گیری درصد مواد اولیه واکنش نکرده در محصول

چون آنالیز XRD فازهای زیر ۵٪ را بسادگی نشان نمی‌دهد، بنابر این جهت تعیین ذرات واکنش نکرده در محصول با دقت بیشتر، هنگامیکه آنالیز XRD پیک‌های ناخالصی را بوضوح نشان نمی‌داد روش خاص زیر تدارک دیده شد. (شکل (۴-۳۰)) مبنای این روش عدم حلایت  $\text{MoSi}_2$  و  $\text{Si}$  و حلایت  $\text{Mo}$  و دیگر ترکیبات سیستم  $\text{Mo-Si}$  در محیط اسیدی  $\text{HCl}$  و  $\text{HNO}_3$  بود. بطوریکه اگر  $\text{Mo}$  واکنش نکرده در محصول می‌بود در محیط اسیدی حل می‌شد و با صاف کردن از رسوب  $\text{MoSi}_2$  و  $\text{Si}$  جدا شده و برای تعیین درصد  $\text{Mo}$  واکنش نکرده، محلول عبوری از صافی تحت آنالیز ICP قرار می‌گرفت. با تعیین درصد  $\text{Mo}$  در محصول و نسبت استوکیومتری  $\text{Si}$  و  $\text{Mo}$  درصد  $\text{Si}$  واکنش نکرده نیز محاسبه می‌شد. و بالاخره بطور غیر مستقیم درصد مواد واکنش یافته بدست می‌آمد.



شکل (۴-۳۰) فلوچارت محاسبه درصد مواد واکنش نکرده در محصول

نتایج حاصل از آنالیز نمونه‌های ۱ و ۲ در جدول (۴-۶) مشخص شده.

جدول (۶-۴)- محاسبه درصد مواد واکنش نکرده (درصد مواد واکنش کرده بطور غیرمستقیم) از نمونه های ۱ و ۲

شماره نمونه	وزن مولیبدن موجود در محلول (mgr)	وزن اولین نمونه (mgr)	درصد مجموع مواد واکنش نکرده (Mo,Si)	مواد واکنش یافته
۱	۰/۲۷۵	۵۰۰	۰/۰۹	۹۹/۹۱٪
۲	۳/۷۶۴	۵۰۰	۱/۲	۹۸/۸٪

یکی از مزایای روش SHS حذف یکسری از ناخالصیهای است جدول (۷-۴) مقایسه ای بین عناصر فرعی و Trace از مواد اولیه و محصول ستتری را در برخواهد داشت. همانطور که از این جدول بر می آید در محصول ستتری بسیاری از عناصر ناخالصی یا حذف شده اند و یا از مقدار آنها کاسته شده. بنابراین انتظار می رود محصول ستتر شده از خلوص بالاتری برخوردار باشد.

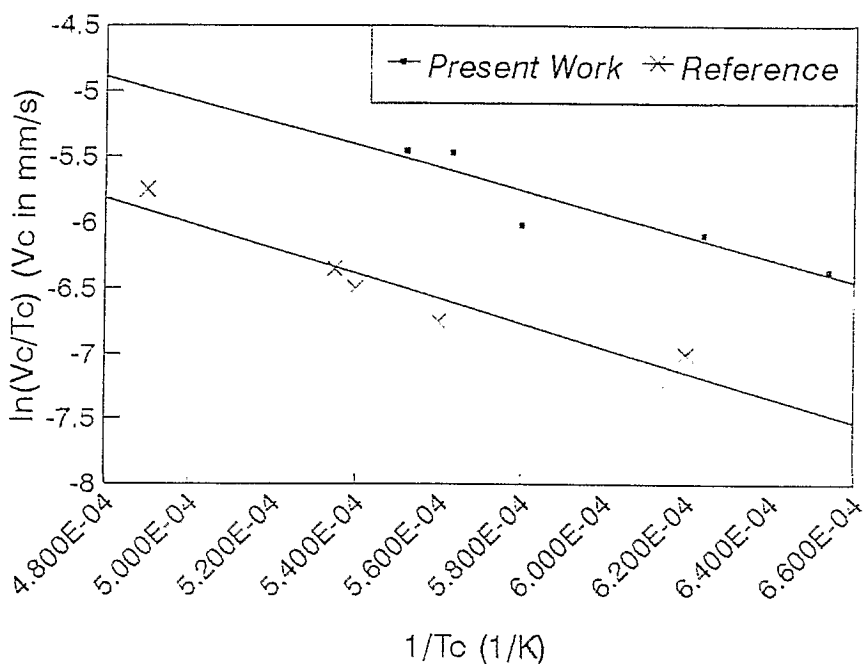
جدول (۴-۷) - مقایسه آنالیز شیمیایی (در عناصر فرعی و Trace) مواد اولیه و محصول

عنصر	درصد وزنی		
	Mo	Si	MoSi <sub>2</sub> محصول
V	-	۰/۰۱۷	۰/۰۱
Cr	-	۰/۰۱۵	-
Mn	۰/۰۱	-	-
Fe	-	۰/۰۳۹	۰/۰۳۹
Co	۰/۰۷۳	-	۰/۰۶۱
Ni	۰/۰۹۱	-	۰/۰۳۸
Zn	۰/۱۰	-	-
As	۰/۰۳۴	-	-
Rh	۰/۰۲۱	-	-
Pd	۰/۰۴۵	-	۰/۰۲۲
Ag	۰/۰۲۹	-	۰/۲۹
Cd	۰/۰۲۲	-	۰/۰۱۲
In	۰/۰۲۳	-	-
Sn	۰/۰۱۶	-	-
Co	۰/۰۱۱	-	-
Sm	۰/۰۳۷	-	-
Gd	۰/۰۱۴	-	۰/۰۱۴
Tb	۰/۰۲۲	-	۰/۰۲۲
Hf	۰/۰۱۱	-	۰/۰۱۱
Ta	۰/۳۹	-	۰/۱
W	۰/۳۱	-	۰/۲۰
Tl	۰/۳۱	-	۰/۰۱۰
Pb	۰/۰۲	-	-
Bi	۰/۱۶	-	-
U	۰/۰۱۲	-	-

\* مقدار کمتر از ۱۰۰ ppm

#### ۴-۷- محاسبه انرژی اکتیواسیون (E) واکنش

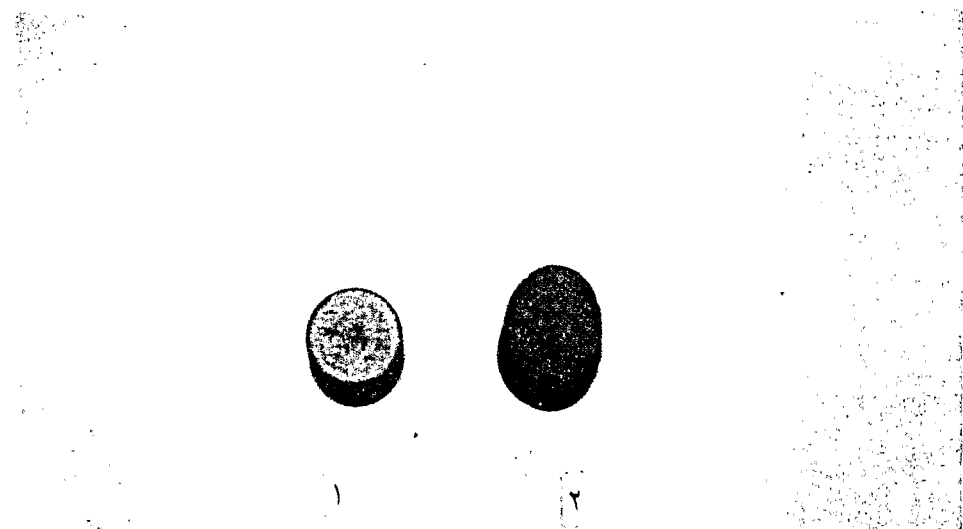
با توجه به معادله سرعت موج احتراق (معادله (۱۴-۲)) و رسم دیاگرام  $\ln(V_c/T_c)$  بر حسب  $1/T_c$  (شکل (۳۱-۴)) می‌توان E واکنش را محاسبه کرد. مقدار بدست آمده در این تحقیق  $E = ۱۴۴/۰.۳\text{KJ/mol}$  (شکل (۳۱-۴)) می‌توان E واکنش را محاسبه کرد. مقدار بدست آمده در این تحقیق  $E = ۱۴۴/۰.۳\text{KJ/mol}$  است که با مقدار ارائه شده انرژی اکتیواسیون در مراجع [۴]  $139/4\text{KJ/mol}$  نزدیکی دارد.



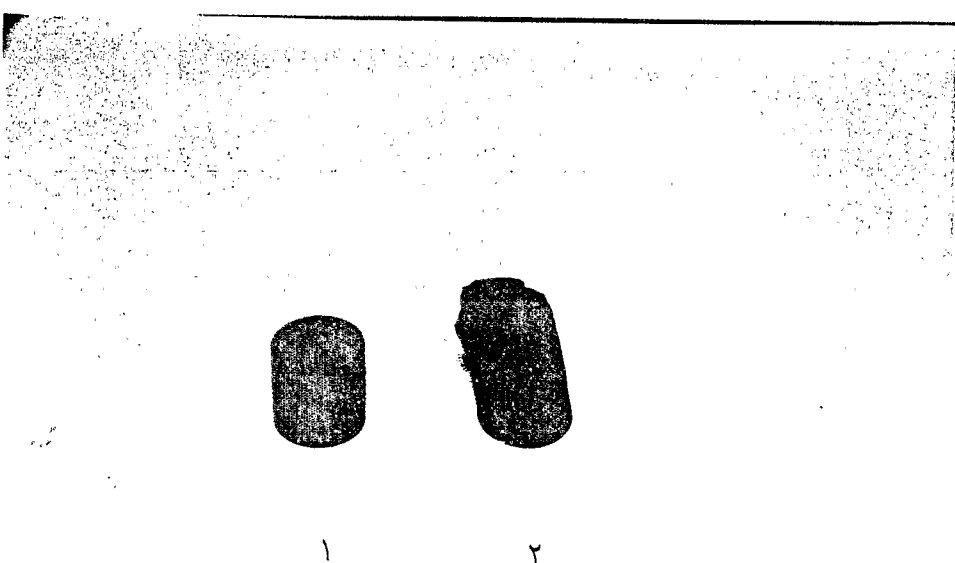
شکل (۳۱-۴) - وابستگی دمای احتراق به سرعت موج در ستتر  $\text{MoSi}_2$

#### ۴-۸- بررسی شکل نهایی محصول

همانطور که قبلاً اشاره شد نمونه ستتری همواره با تغییر حجم حدود  $۳۰-۲۰\%$  (تقریباً  $۲۰\%$  در طول و  $۵\%$  در قطر) همراه است نمونه‌های ستتری به علت خروج گازهای محبوس دچار افزایش حجم می‌شوند علاوه بر این چون سطح مقطع دایره‌ای نمونه‌های خام فشرده تبدیل به بیضی می‌شود. (شکل (۳۲-۴)) بنابر این انتظار می‌رود نمونه‌های ستتری دچار انحناء و خمیدگی نیز بشوند. چنین مساله‌ای در شکل (۳۳-۴) بوضوح مشخص است.



شکل (۳۲-۴) - مقایسه سطح مقطع نمونه خام پرس شده (۱) و نمونه سنتزی (۲)



شکل (۳۳-۴) - مقایسه شکل ظاهری نمونه خام پرس شده (۱) و نمونه سنتزی (۲)

## فصل پنجم

### نتیجه‌گیری

با توجه به قابلیتهای بالای روش SHS (انرژی محرکه پائین، سرعت بالای واکنش، خلوص بالای محصول سنتزی و ...) و انطباق خواص ترمودینامیکی و کیمیکی مواد واکنش دهنده (Mo و Si) با شرایط SHS، سنتز احترافی (SHS) به عنوان شیوه‌ای مناسب جهت تهیه  $\text{MoSi}_2$  انتخاب شد. بهینه‌سازی سنتز  $\text{MoSi}_2$  به روش SHS نیازمند بررسی پارامترهای موثر بر این واکنش است.

از جمله این پارامترها که در این پژوهه نیز مدنظر قرار گرفتند می‌توان به :

فشار پرس واردہ بر پودر مخلوط جهت تهیه نمونه‌های مورد نیاز برای سنتز، پیش گرمایش نمونه‌ها قبل از افزایش و اتمسفر محفظه احتراق اشاره کرد.

تغییر پارامترهای مذکور خواص محصول سنتزی را تحت تاثیر قرار می‌دهند بطوریکه :

۱- استفاده از پودر مخلوط بدون اعمال فشار ( بصورت پودری شکل ) مشکل افزایش توافق موج احتراق بلاfacile بعد از انتشار را به همراه خواهد داشت. در این حالت تنها لایه‌های سطحی از پودر که تحت تشعشع مستقیم حرارت قرار گرفته‌اند سنتز شده و لایه‌های زیرین به صورت واکنش نکرده باقی می‌مانند.

۲- فشار پرس پودر مخلوط بین  $45-450 \text{ MPa}$  انتخاب شد. در این محدوده بدون نیاز به بایندر نمونه‌های سالم و بی‌عیب بدست می‌آمد.

۳- افزایش فشار پرس (در محدوده اعلام شده) موجب :

● کاهش زمان و دمای افزایش

● افزایش دمای احتراق در ابتدا و سپس کاهش آن

● افزایش سرعت احتراق

● کاهش زمان رسیدن دمای نمونه به محیط (Cooling)

● حذف پیکهای ناشی از ذرات واکنش نکرده، فازهای ثانویه و واسطه

● یکنواختی ریزساختار

● کاهش تخلخلهای نهایی محصول

● افزایش اتصال و زیترینگ موضعی بین دانه‌ها

می‌شود.

۴- اعمال پیش‌گرمایش (Preheating) و افزایش دمای پیش‌گرمایش بر نمونه‌ها، قبل از سنتز موجب:

● کاهش دما و زمان افزایش

● افزایش دمای احتراق

● افزایش سرعت احتراق

● افزایش زمان خنک شدن (Cooling)

● واکنش احتراقی تعادلی

● کاهش تغییرشکل و تغییر حجم بعد از سنتز

● رشد چشمگیر دانه‌ها و گردش دانه‌ها

● افزایش اتصال و زیترینگ بین دانه‌ای و کاهش تخلخل نهایی محصول

می‌شود.

۵- سنتز نمونه‌ها در محیط خلاء ( $t_{\text{ORT}} < 5 \times 10^{-2}$ ) موجب:

● انطباق الگوهای XRD نمونه‌های سنتزی با الگوی استاندارد  $\text{MoSi}_2$  (تتراگونال) و عدم روئیت

پیکهای اضافی

● ریزساختار یکنواخت

● خلوص بالای محصول (۹۹/۹٪)

می‌شود.

وجود شرایط بالا حاکی از سنتز  $\text{MoSi}_2$  تک فاز (با ساختار تراگونال) در خلاء (مناسب) بود.

۶- سنتز نمونه‌ها در محیط آرگن موجب:

● افزایش دمای احتراق نسبت به نمونه‌های سنتزی در خلاء

● کاهش زمان باقی‌ماندن در دمای ماکریم نسبت به نمونه‌های سنتزی در خلاء

● افزایش سرعت احتراق نسبت به نمونه‌های سنتزی در خلاء

● کاهش زمان خنک شدن (Cooling) نسبت به نمونه‌های مشابه سنتزی در خلاء

می‌شود.

لازم به ذکر است با توجه به شرایط مذکور برای سنتز در محیط آرگن، بنظر می‌رسد نمونه‌ها می‌بایست بطور یکنواخت و کامل سنتز می‌شدند و لیکن چون گاز آرگن مورد استفاده از درصد ناخالصی اکسیژن قابل توجهی برخوردار بود لذا نمونه‌های سنتزی در این محیط دارای کیفیت مطلوبی نبودند.

برای تهیه پودر  $\text{MoSi}_2$  با خلوص بالا و ریزدانه به روش SHS پارامترهای فوق به شکل زیر می‌بایست انتخاب شوند:

● فشار پرس اعمالی بر پودر مخلوط می‌بایست بین حداقل فشار پرس لازم (عدم مشاهده ذرات واکنش نکرده و فازهای ثانویه و واسطه) و حداکثر فشار پرس (رسیدن به ماکریم دمای احتراق و در عین حال جلوگیری از اتصال و افزایش زیترینگ موضعی بین دانه‌ها) بینه شود.

فشار پرس بین  $150\text{--}250 \text{ MPa}$  شرایط بالا را فراهم می‌سازد.

در اینجا هدف از پیش‌گرمایش نمونه‌ها تنها فراهم آوردن شرایط تعادلی برای واکنش احتراقی است لذا انتخاب حداقل دمای پیش‌گرمایش ممکن برای جلوگیری از عدم رشد و زیترینگ موضعی بین دانه‌ها

ضروری است.

دماهی پیش‌گرمايش  $20^{\circ}\text{C}$  از این لحاظ مناسب است.

- اتمسفر محیط احتراق می‌بایست شرایط سنتز تک فاز محصول (و عدم اکسیداسیون و فازهای ناخواسته) را فراهم سازد.

اتمسفر خلاء ( $> 10^{-2}\text{torr}$ ) جوابگوی این نیاز می‌باشد.

## فصل ششم

### پیشنهادات

- ۱- بررسی مراحل قطعه‌سازی (شکل‌دهی، پخت و زینترینگ) پودر MoSi<sub>2</sub> بعنوان مقدمه‌ای بر ساخت المانهای حرارتی MoSi<sub>2</sub> (سوپر کنثال Super Kanthal)
- ۲- بررسی روش‌های مناسب جهت ساخت قطعات چگال در حین سنتز. طبق مطالعاتی که در این پژوهه انجام شد، تغییر شکل محصول اولاً "به خروج گازهای محبوس و ثانیاً به تغییر حجم ذاتی محصول (MoSi<sub>2</sub>) نسبت به مواد اولیه (Si, Mo)" وابسته است. جهت کنترل عوامل بالا راهکارهای زیر پیشنهاد می‌شود.
- ۳-۱- استفاده از مواد افروزنی مناسب جهت انقباض کنترل شده محصول و پرکردن تخلخلها در اثر ایجاد فاز مذاب.
- ۳-۲- استفاده از کندکننده (diluent) MoSi<sub>2</sub> پودر "مثلاً" جهت انقباض کنترل شده و کاهش و کنترل دمای احتراق نمونه سنتزی
- ۳-۳- اعمال فشار در حین سنتز نمونه
- ۳- استفاده از آرگن با خلوص بالا و سنتز نمونه‌ها در این محیط. با توجه به اینکه محیط آرگن شرایطی نزدیک به حالت تئوریک (دمای احتراق بالا، واکنش تعادلی و ...) را فراهم می‌سازد، بنظر می‌رسد محصولی یکنواخت با خلوص فوق العاده بالا بدست آید.

۴- بررسی روش‌های مناسب جهت جایگزینی پودر فلز مولیبدن با اکسید مولیبدن ( $\text{MoO}_3$ ) و در مراحل بعد سولفور مولیبدن (مولیبدنیت  $\text{MoS}_2$ ) در جهت سنتز احترافی  $\text{MoSi}_2$  در اینصورت صرفه اقتصادی قابل توجهی فراهم می‌شود.

۵- بررسی Infiltration فلز مس در محصول متخلخل سنتزی  $\text{MoSi}_2$  و بکارگیری قطعه Infilter شده بعنوان الکترود اسپارک

در این جهت آزمایشات اولیه‌ای که انجام شد مؤید قطعاتی چگال، با هدایت حرارتی و الکتریکی بالا، دیرگداز و مقاوم در برابر اکسیداسیون در دماهای بالا بود. با این اوصاف به نظر می‌رسد قطعات شده  $\text{MoSi}_2$  Infliter چشم‌انداز مناسبی بعنوان الکترود اسپارک داشته باشد.

## مراجع

1. W. Chen, W. Pascheto, A. Pant. R.Rsood, R. T. Holt and R. Berriche, "*Characterization of SHS MoSi<sub>2</sub> and MoSi<sub>2</sub>/SiC/20W Composites*", Ceramic Transaction Vol.56, American Ceramic Society,(1995), P.85-94.
2. Y.L. Jeng, E. J. Larenia, "*Review Processiong of Molybdenum Disilicide* ", Journal of Materials Science, 29(1994) P. 2557-2571.
3. Zuhair A. Munir, "*Synthesis of High-Temperature Materials by Self-Propagting Combustion Methods*," Ceramic Bulletin, 76, No.2, (1988) P. 342-349.
4. S. Zhang, Z. A. Munir, "*Synthesis of Molybdenum Silicides by the Self-Propagating Combustion Method*", Journal of Materials Science, 26(1991) P. 3685-3688.
5. H.C. Yi., J.J. Moore, "*Review Self Propagating High-Temperature (Combustion) Synthesis (SHS) of Powder-Compated Materials, Journal of Materials Science*" , 25 (1990) P. 1159-1168.
6. S. C. Deevi, " *Self-Propagating high-Temperature Synthesis of Molybdenum Disilicide*", *Journal of Materials Science* ", 26(1991) P. 3343-3353.
7. Gi-Wooklee, Hyun-Woolee, Young-Dokim and Young-Seagkim, " *Synthesis and densification of MoSi<sub>2</sub> by Self-Propagating High-Temperature Synthesis*", Ceramic Transaction, Vol.56, American Ceramic Society, (1995) P.5766.
8. J. Subrahmanyam, M. Vijayakumar, " *Review Self-Propagating high -Temperature Synthesis*", Journal of Materials Science, 27(1992) P. 6249-6273.

9. S.C. Deevi, " *Differential Thermal analysis of Exothermic Reaction in the Synthesis of MoSi<sub>2</sub>*", Journal of Materials Science letters, 13(1994) P. 868-871.
10. C. Bartuli, " *Self-Propagating High Temperature Synthesis (SHS) for the Production of Ceramics: Current Technology and Applications*", Ceramic, Acta, 8, No.2 (1996) P. 59-70.
- ۱۱- رحیم یزدانی راد، "تهیه سیلیسایدهای فلزات دیرگداز به روش رشد از محلول مذاب"، پژوهشگاه مواد و انرژی، ۱۳۶۴.
- ۱۲- علی اکبر فراشیانی، مولیدن دی سیلیساید و کاربردهای آن، سمینار Ph.D، پژوهشگاه مواد و انرژی، ۱۳۷۳.
13. Powder Diffraction Files, (International Joint Committee on powder Diffraction Standards (JCPDS), Philadelphia, USA, (1994).
14. A.G. Merzhnove, " *History of and developments in SHS*", Ceramic Trnsaetion Vol 56, American Ceramic Society, 1995, P.3-23.
15. Roy W.Rice and William J. Mcdonough, " *Intrinsic Volume Change of Self - Propagating Synthesis*", Journal of American Ceramic Society, 68, No.5 (1985), P. C-122-C123.
16. I.J.Shon, Z.A.Munir K.Yamazaki, K.Shoda, " *Simulatenous Synthesis and Densification of MoSi<sub>2</sub> by Field - Activated Combustion*" Journal of American Ceramic Society, 79, No.7(1996) P. 1875-80

## *Abstract*

*Molybdenum disilicide ( $MoSi_2$ ) was synthetized from Mo and Si by utilizing a self-propagating exothermic reaction process in vacuum and argon atmospheres. Experiments were conducted using powder compacts of various green densities. In some cases the powder compacts were preheated prior to ignition.*

*Powder compacts were then subjected to ignition which gave rise to the conversion of the whole compacts to  $MoSi_2$  in a few seconds. Combustion temperature and the speed with which the reaction front propagated was found to depend on green density, chamber atmosphere and preheating temperature. Analysis of the synthesis products by XRD indicated the presence of  $MoSi_2$  phase in the products, which by optimizing the reaction parameters mentioned above only tetragonal  $MoSi_2$  phase was detected. Further examinations by XRF and ICP techniques, confirmed that at optimum process conditions, 99.9 wt% of the reaction product was  $MoSi_2$  in the form of a fine powder of the average size about  $7\mu_m$ . The optimum process parameters were obtained as follows:*

- Compaction pressure in the range of 150- 250 Mpa
- Vacuum in the range:  $5 \times 10^{-2} > \text{torr}$
- Preheating temperature about  $200^\circ C$